



CITTA' DI MATERA



REGOLAMENTO URBANISTICO

STUDIO IDRAULICO - IDROLOGICO

TAV. N.	Elaborato:	Scala:	Data:
I.2.1	Risultati delle simulazioni		

Il Tecnico

dott. ing. Giovanni MARTINO
 Studio Tecnico - Via San G. Bosco, 100
 75020 - Marconia (MT)

A termini di legge è vietata la riproduzione totale e parziale e l'uso non autorizzato del presente elaborato

00	Ottobre 2014	Prima Emissione		
Rev.	Data	Oggetto della revisione	Red.	Ver.

INDICE

ALLEGATO RISULTATI DELLE SIMULAZIONI T. GRAVINA DI MATERA	2
ALLEGATO RISULTATI DELLE SIMULAZIONI T. GRAVINA DI PICCIANO	32
ALLEGATO RISULTATI DELLE SIMULAZIONI FOSSO MASS. ^A DRAGONE.....	50

**ALLEGATO
RISULTATI DELLE SIMULAZIONI
T. GRAVINA DI MATERA**

TR30

Tabella 1- Risultati delle simulazioni. TR30.

Reach	River Sta	Profile	Q Total (m ³ /s)	Min Ch El (m)	W.S. Elev (m)	Crit W.S. (m)	E.G. Elev (m)	E.G. Slope (m/m)	Vel Chnl (m/s)	Flow Area (m ²)	Top Width (m)	Froude # Chl
Venusio	18	TR30	250	325.74	329.26	327.49	329.26	0.000082	0.17	824.94	422.82	0.04
Venusio	17	TR30	250	324.92	329.23	327.08	329.24	0.000145	0.29	597.21	296.14	0.06
Venusio			Mult Open									
Venusio	16	TR30	250	324.92	328.07	327.08	328.3	0.010148	2.12	117.99	231.31	0.45
Venusio	15	TR30	250	324.29	327.75	326.66	327.82	0.003575	1.29	224.44	367.15	0.27
Venusio	14	TR30	250	323.34	327.03	325.8	327.14	0.005157	1.65	173.65	234.03	0.33
Venusio	13	TR30	250	322.55	326.46	324.78	326.53	0.001925	1.17	231.07	215.19	0.21
Venusio	12	TR30	250	321.54	325.78	323.9	325.85	0.002396	1.26	217.53	221.82	0.23
Venusio	11	TR30	250	321.4	325.53	323.81	325.59	0.00207	1.18	235.37	274.78	0.21
Venusio	10	TR30	250	321.06	324.3	323.9	324.47	0.007229	1.9	136.14	127.71	0.38
Venusio	9	TR30	250	320.32	324.18	322.92	324.19	0.000276	0.39	454.62	340.16	0.08
Venusio	8	TR30	250	319.46	323.66	321.74	323.84	0.004875	1.91	130.93	238.58	0.33
Venusio			Bridge									
Venusio	7	TR30	250	319.46	323.29	321.74	323.52	0.007058	2.15	116.35	148.34	0.4
Venusio	6	TR30	250	319.27	323.18	321.85	323.31	0.006782	1.67	158.71	169.97	0.37
Venusio	5	TR30	250	318.8	322.89	321.93	322.92	0.000811	0.65	331.26	326.86	0.13
Venusio	4	TR30	250	318.17	322.87	320.59	322.88	0.00009	0.26	735.33	486.82	0.05
Venusio			Bridge									
Venusio	3	TR30	250	318.17	321.21	320.59	321.79	0.023485	3.38	74.06	200.83	0.69
Venusio	2	TR30	250	317.69	321.21	320.92	321.3	0.003329	1.37	199.05	241.95	0.26
Venusio	1	TR30	250	317.35	320.76	320.49	320.83	0.003302	1.29	216.39	315.15	0.26

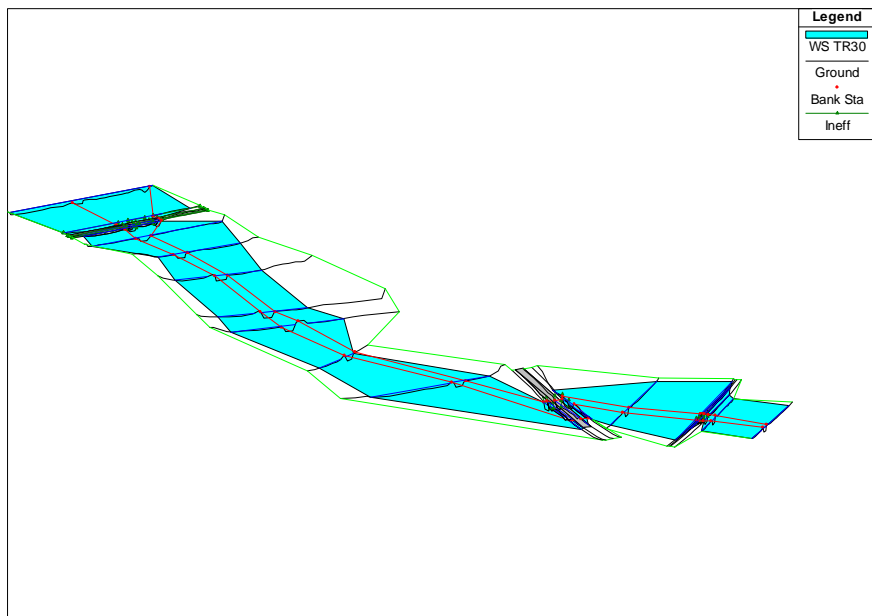


Figura 1-Vista tridimensionale delle aree inondate con portata trentennale.

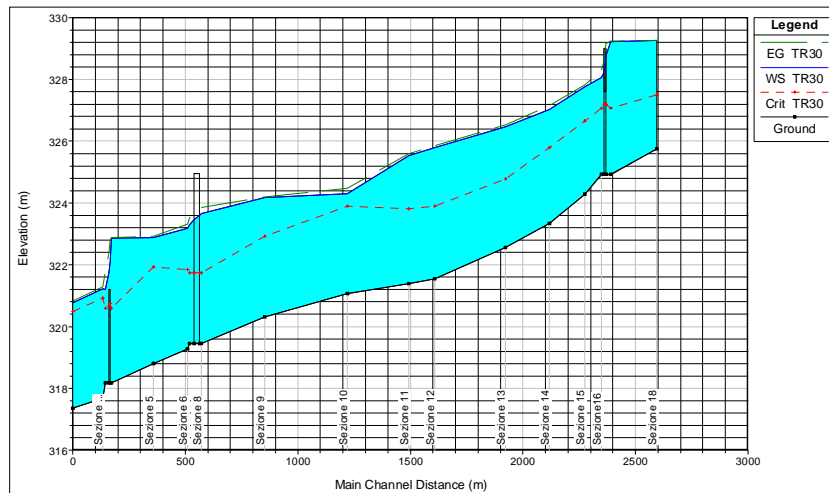


Figura 2- Profilo longitudinale del tirante di moto permanente associato alla portata trentennale.

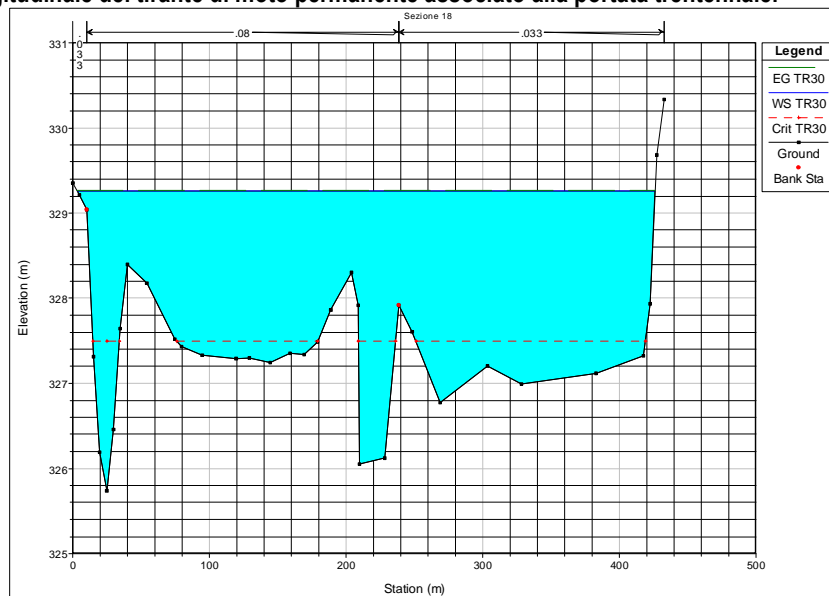


Figura 3 - Sezione 18. TR30.

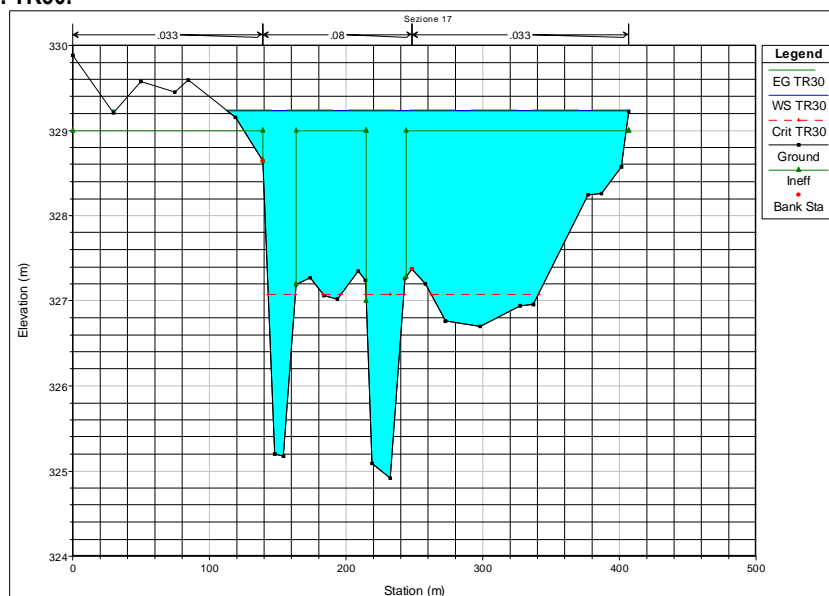


Figura 4- Sezione 17. TR30.

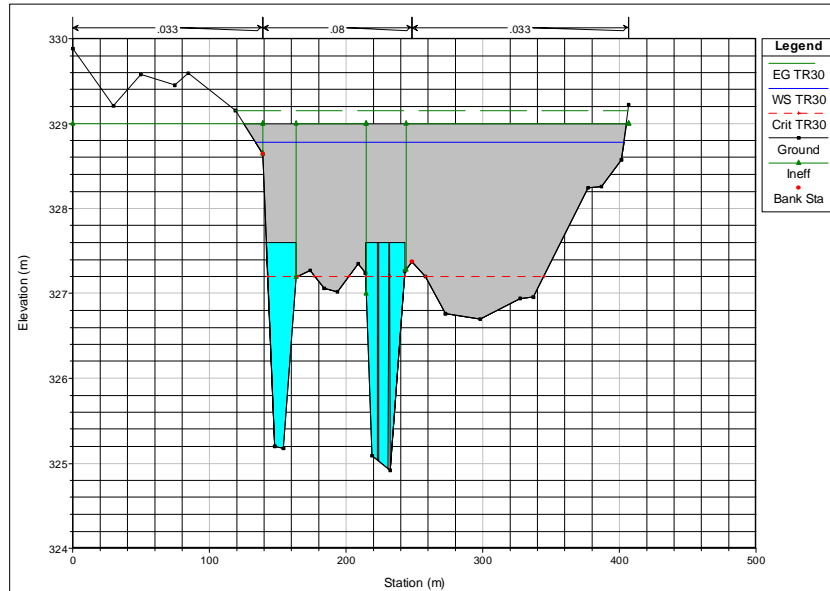


Figura 5- Sezione ponte monte. TR30.

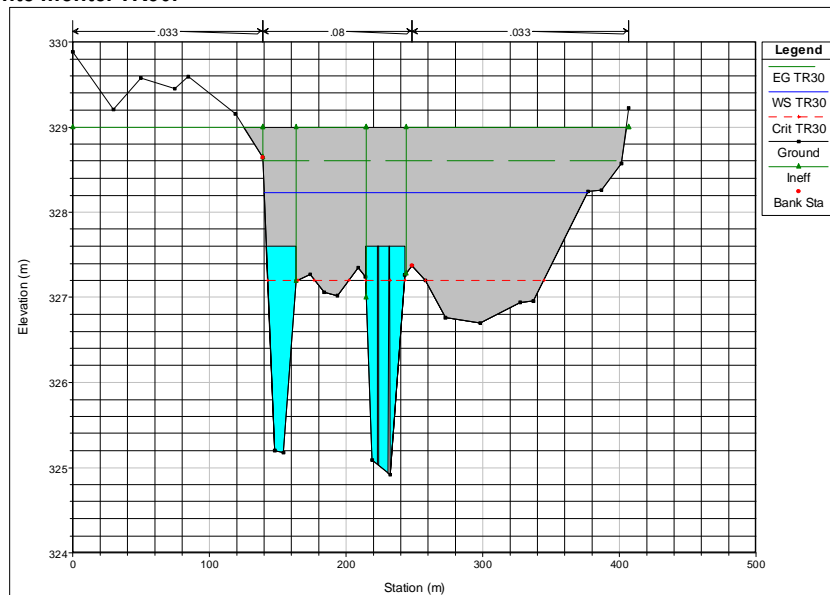


Figura 6 – Sezione ponte valle. TR30.

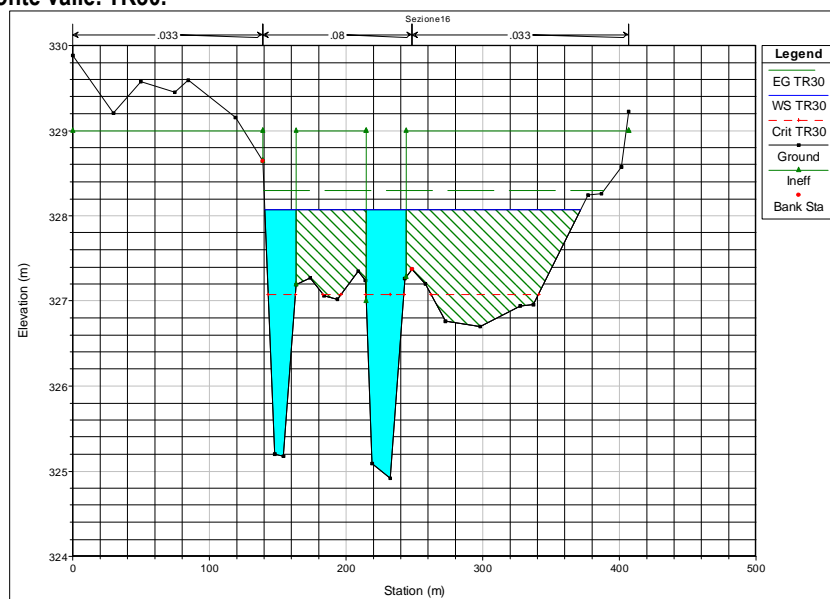


Figura 7 – Sezione 16. TR30.

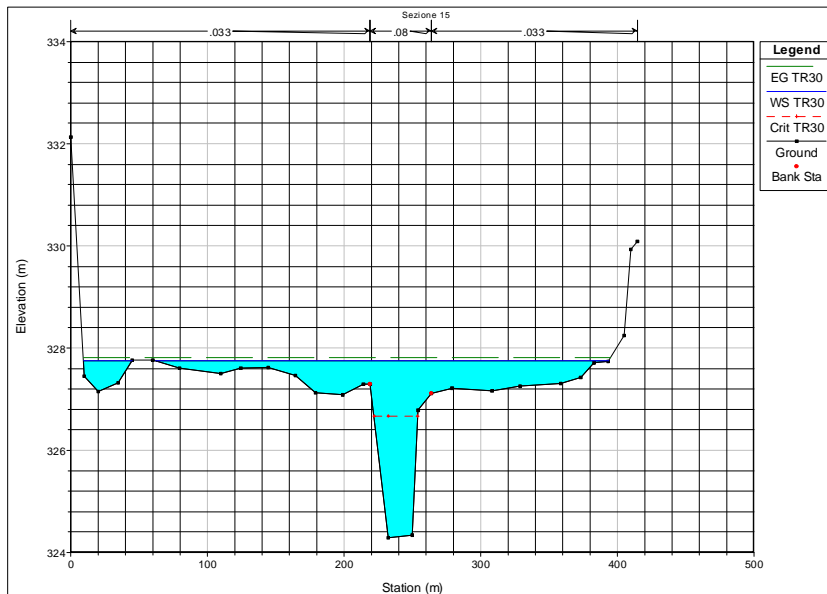


Figura 8 – Sezione. 15. TR30.

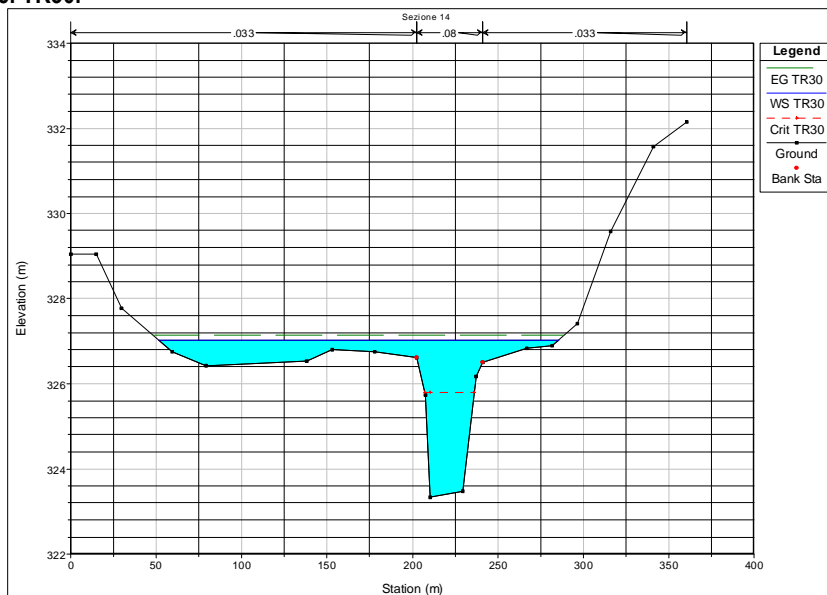


Figura 9– Sezione 14. TR30.

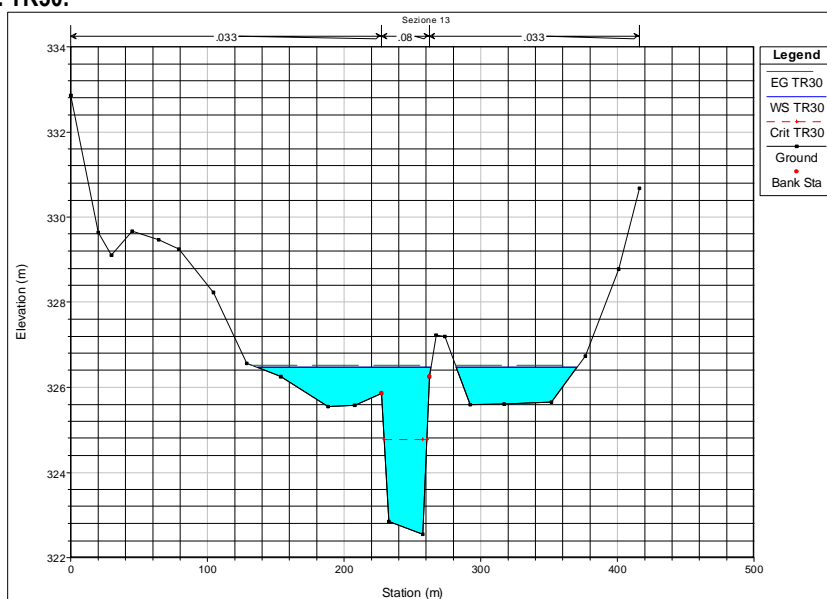


Figura 10 – Sezione 13. TR30.

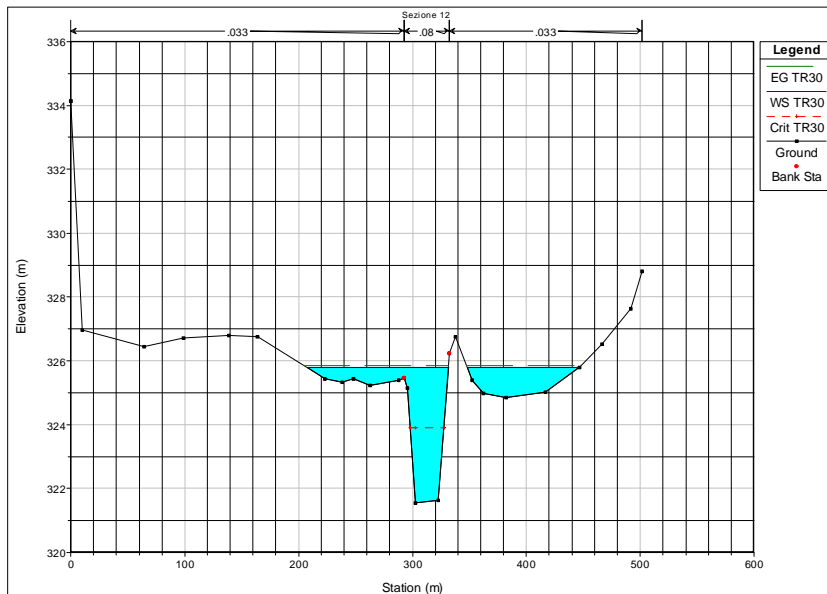


Figura 7 – Sezione 12.. TR30.

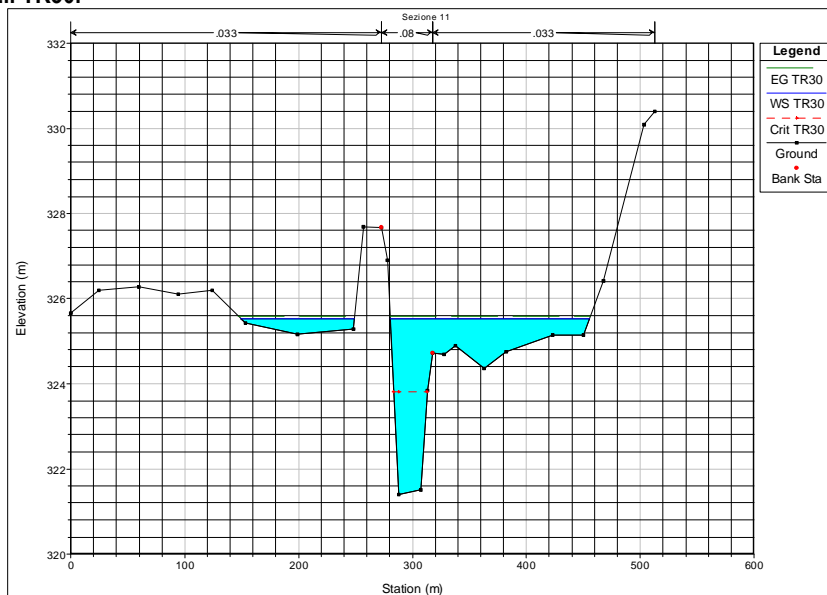


Figura 12– Sezione 11. TR30.

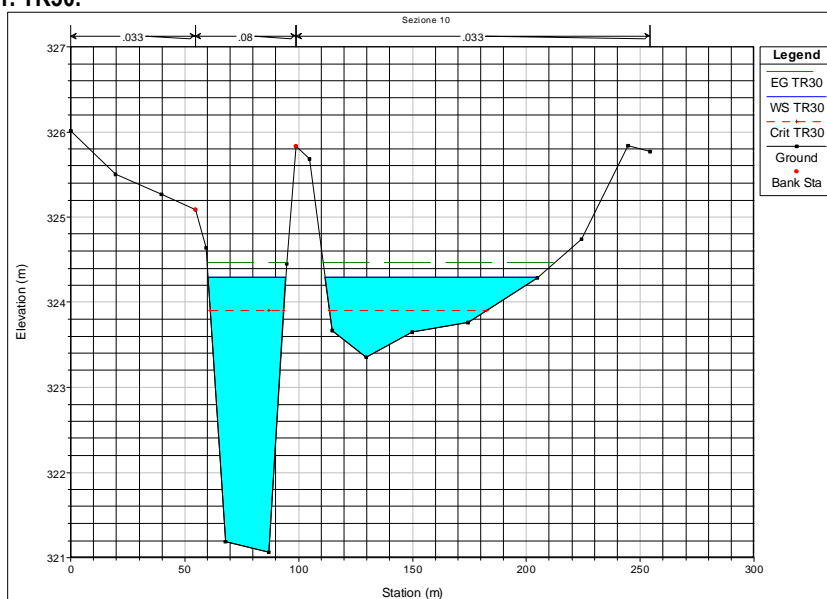


Figura 13 – Sezione 10. TR30.

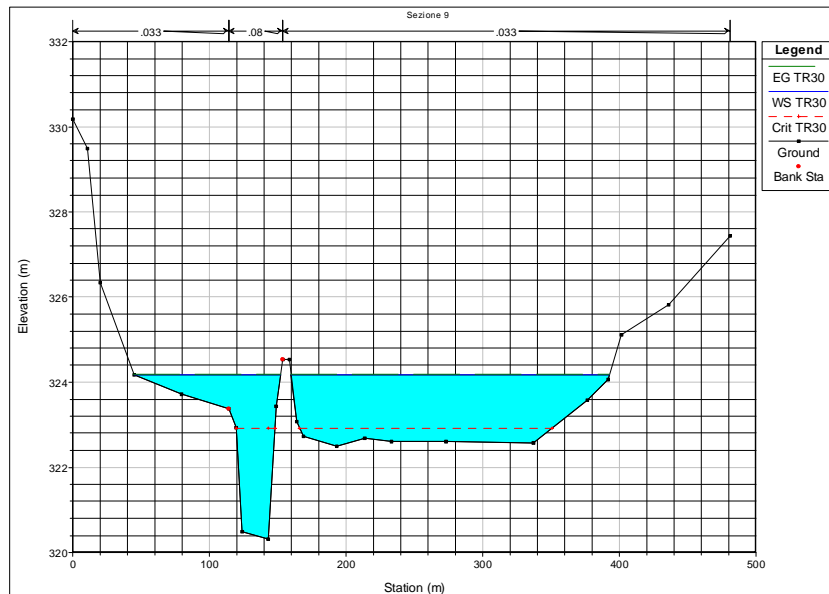


Figura 14 – Sezione 9. TR30.

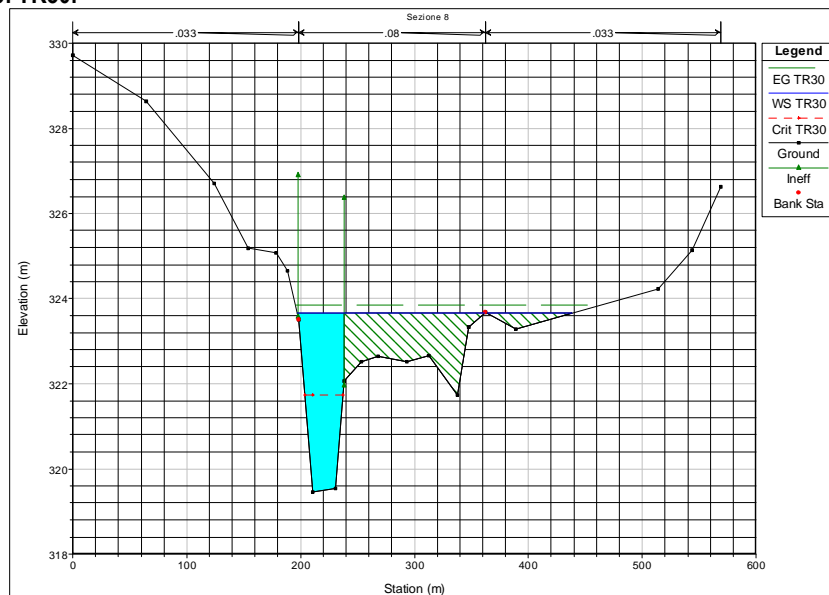


Figura 15 – Sezione 8. TR30.

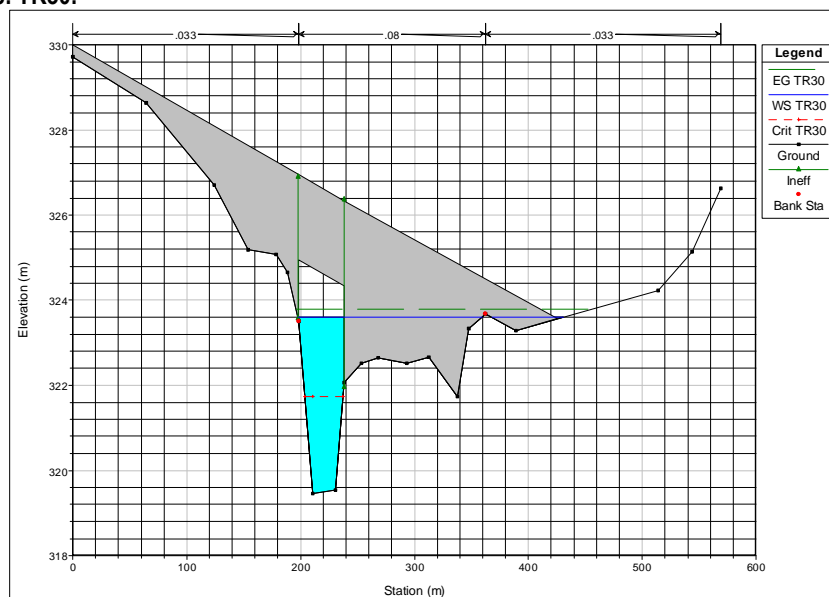


Figura 16 – Sezione ponte monte. TR30.

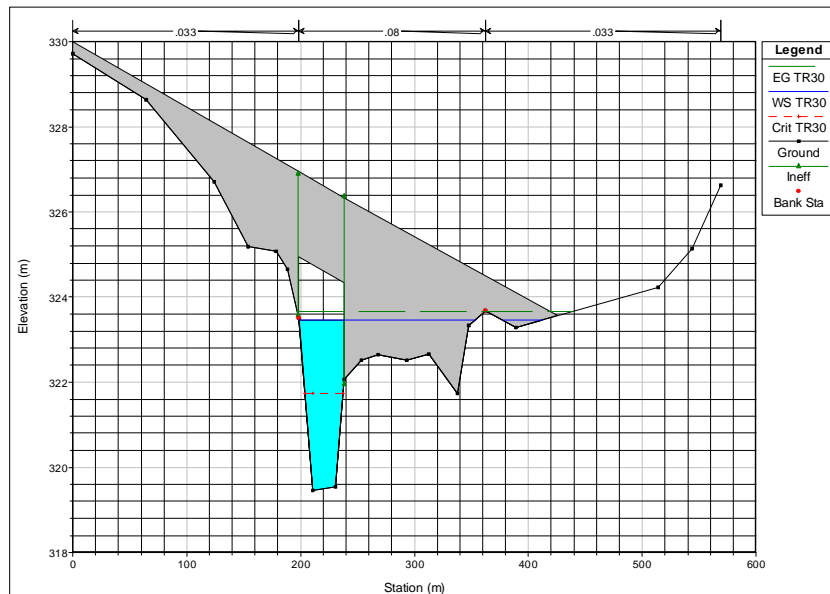


Figura 17 – Sezione ponte valle. TR30.

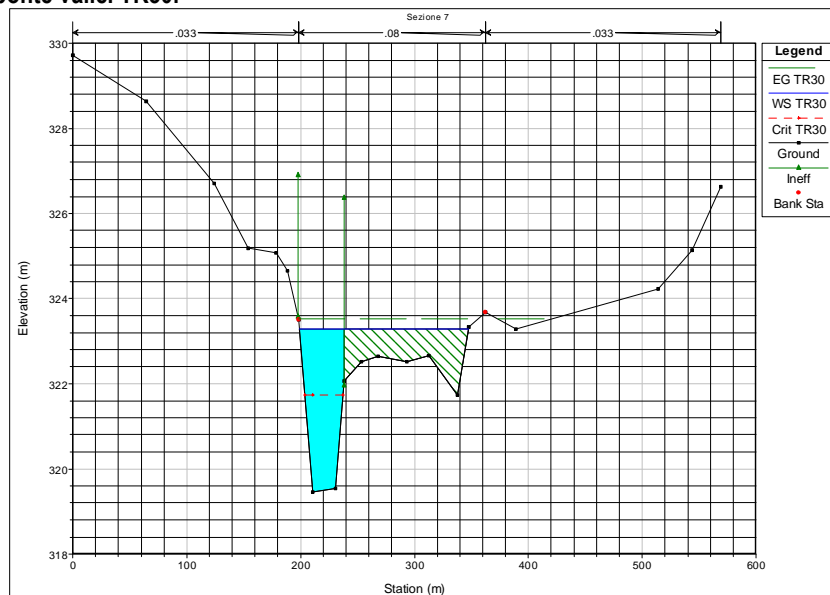


Figura 18 – Sezione 7. TR30.

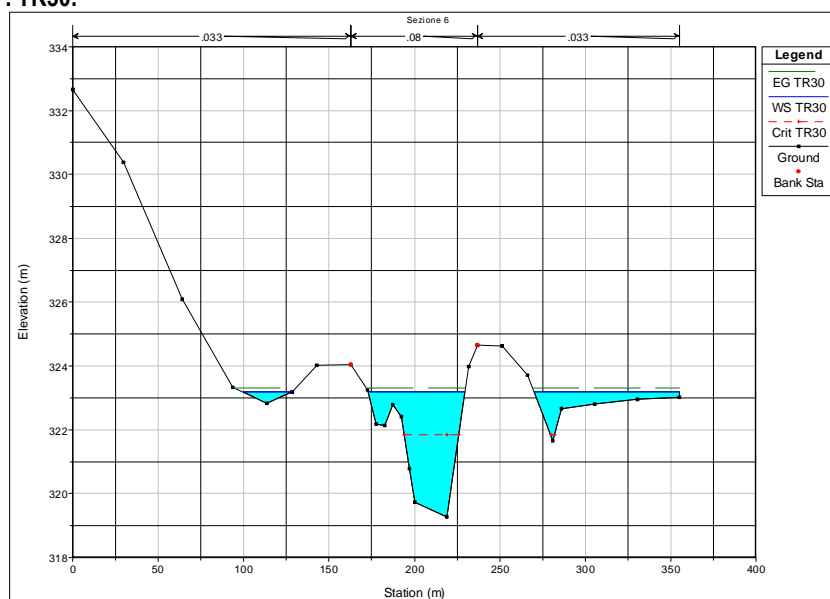


Figura 19 – Sezione 6. TR30.

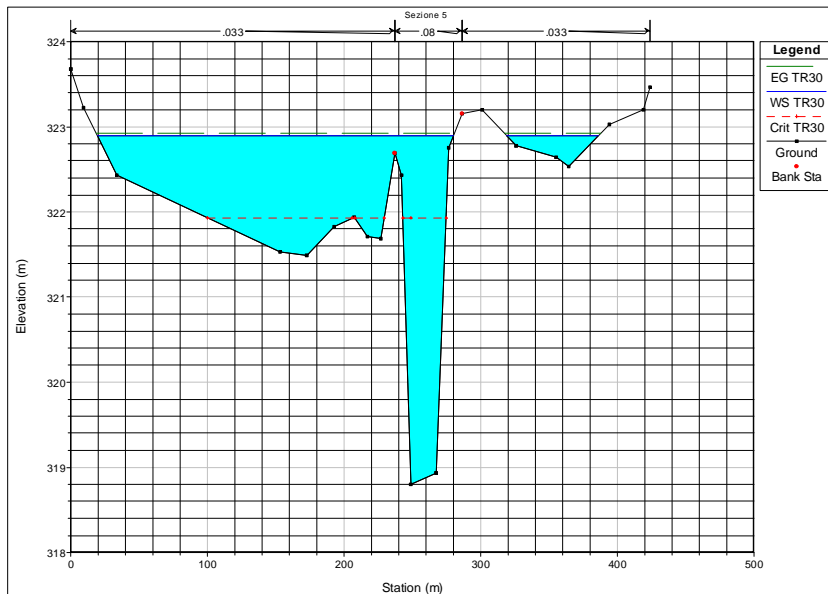


Figura 20 – Sezione 5. TR30.

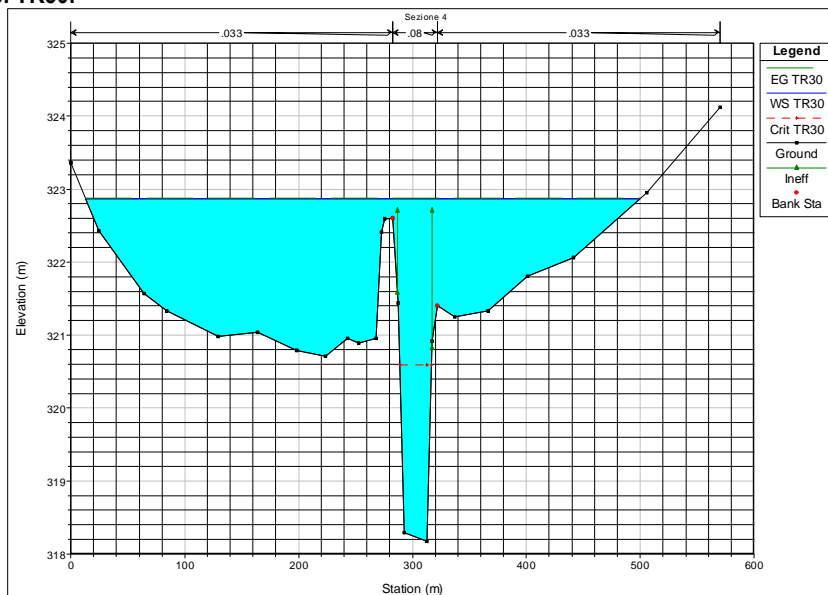


Figura 21 – Sezione 4. TR30.

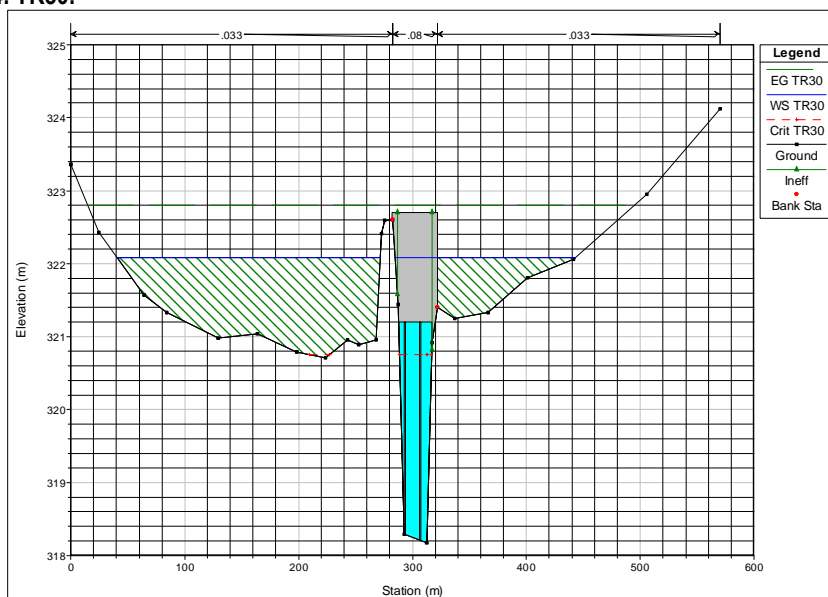


Figura 22 – Sezione ponte monte. TR30.

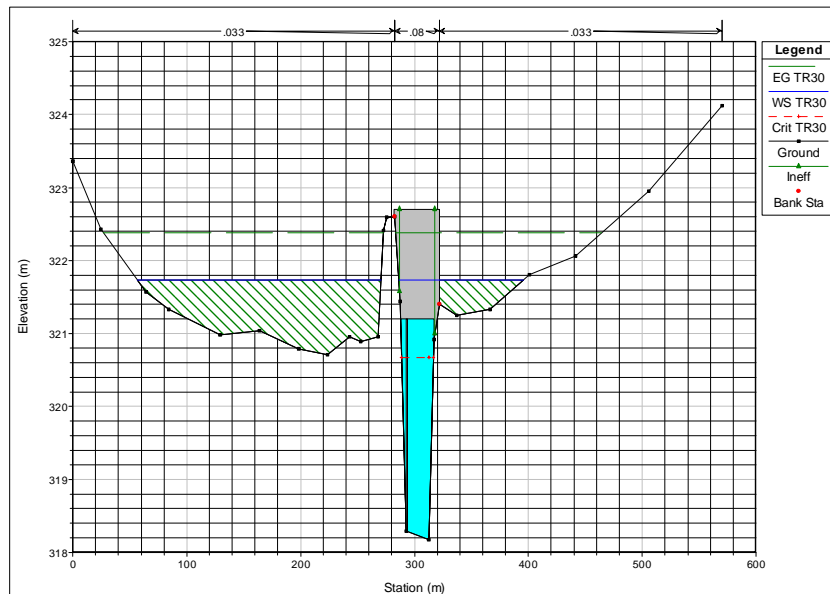


Figura 23 – Sezione ponte valle. TR30.

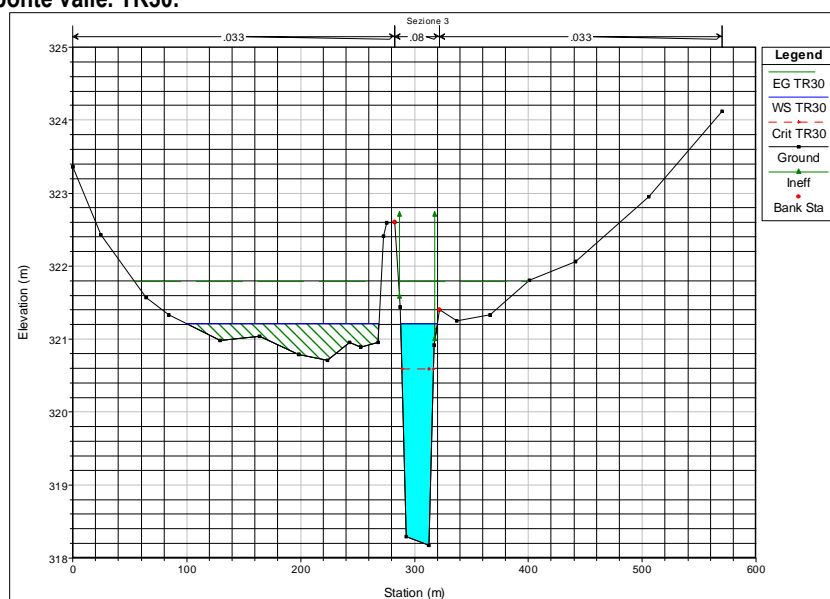


Figura 24 – Sezione 3. TR30.

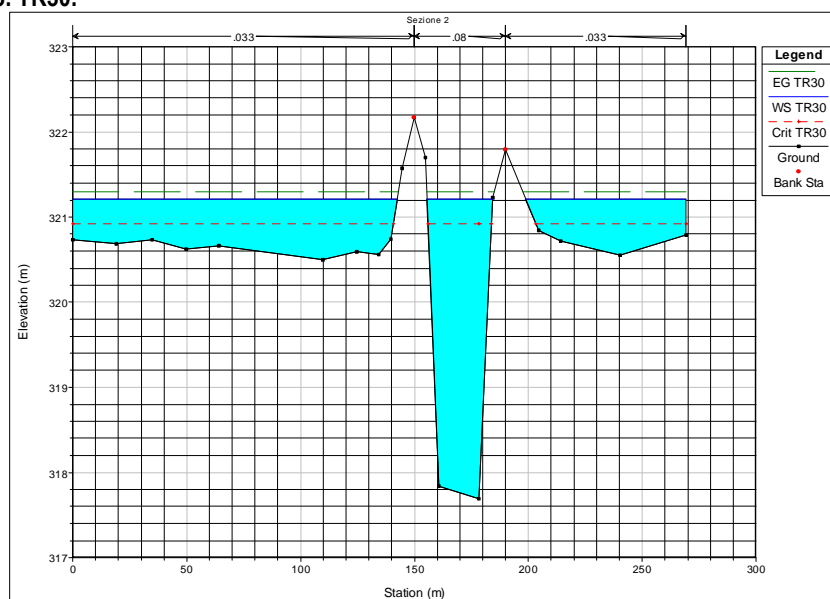


Figura 25 – Sezione 2. TR30.

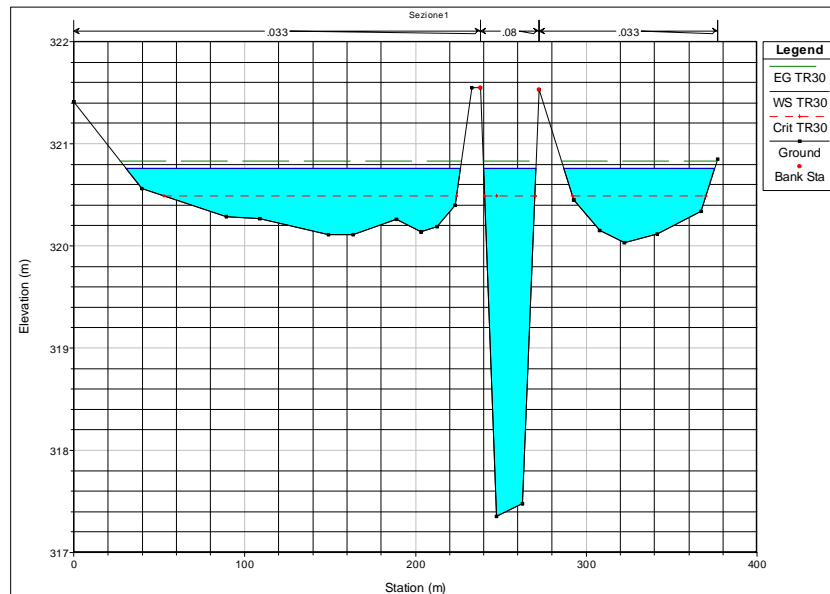


Figura 26 – Sezione 1. TR30.

TR200

Tabella 2 - Risultati delle simulazioni. TR200.

Reach	River Sta	Profile	Q Total (m ³ /s)	Min Ch El (m)	W.S. Elev (m)	Crit W.S. (m)	E.G. Elev (m)	E.G. Slope (m/m)	Vel Chnl (m/s)	Flow Area (m ²)	Top Width (m)	Froude # Chl
Venusio	18	TR200	416	325.74	329.84	327.69	329.85	0.000098	0.23	1074.11	428.5	0.05
Venusio	17	TR200	416	324.92	329.81	327.67	329.83	0.000168	0.35	804.35	403.68	0.06
Venusio		Mult Open										
Venusio	16	TR200	416	324.92	328.2	327.67	328.76	0.023434	3.33	124.94	235.75	0.69
Venusio	15	TR200	416	324.29	328.03	327.62	328.11	0.003154	1.31	329.21	390.94	0.26
Venusio	14	TR200	416	323.34	327.4	327.02	327.53	0.004124	1.62	264.82	255.57	0.3
Venusio	13	TR200	416	322.55	326.87	326.07	326.95	0.001952	1.27	324.08	241.88	0.21
Venusio	12	TR200	416	321.54	326.17	325.48	326.26	0.002481	1.37	309.24	254.97	0.24
Venusio	11	TR200	416	321.4	325.94	325.14	326.01	0.001761	1.16	355	310.88	0.2
Venusio	10	TR200	416	321.06	324.99	324.27	325.16	0.003945	1.49	237.76	161.53	0.29
Venusio	9	TR200	416	320.32	324.96	323.12	324.98	0.000172	0.36	732.62	364.45	0.06
Venusio	8	TR200	416	319.46	324.37	322.49	324.72	0.007046	2.61	159.3	327.65	0.42
Venusio		Bridge										
Venusio	7	TR200	416	319.46	323.69	322.49	324.19	0.01312	3.15	132.07	244.98	0.55
Venusio	6	TR200	416	319.27	323.54	323.11	323.72	0.007034	1.8	224.85	192.19	0.38
Venusio	5	TR200	416	318.8	322.97	322.23	323.04	0.001832	0.98	356.98	340.27	0.19
Venusio	4	TR200	416	318.17	322.91	321.43	322.93	0.000227	0.42	757.17	491.25	0.07
Venusio		Bridge										
Venusio	3	TR200	416	318.17	321.45	321.45	322.78	0.048291	5.11	81.47	283.26	1
Venusio	2	TR200	416	317.69	321.49	321.09	321.62	0.003675	1.44	268.46	250.93	0.28
Venusio	1	TR200	416	317.35	321.03	320.67	321.12	0.003306	1.34	302.6	337.48	0.26

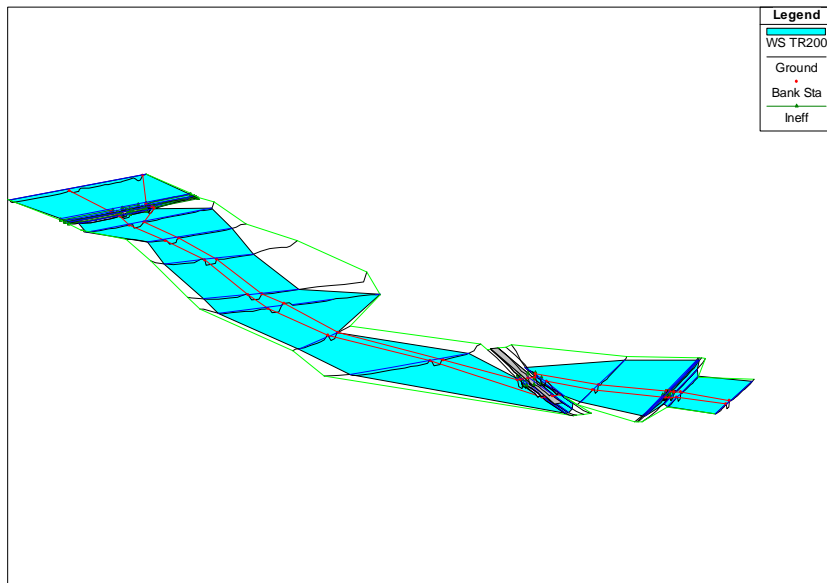


Figura 27 - Vista tridimensionale delle aree inondate con portata duecentennale.

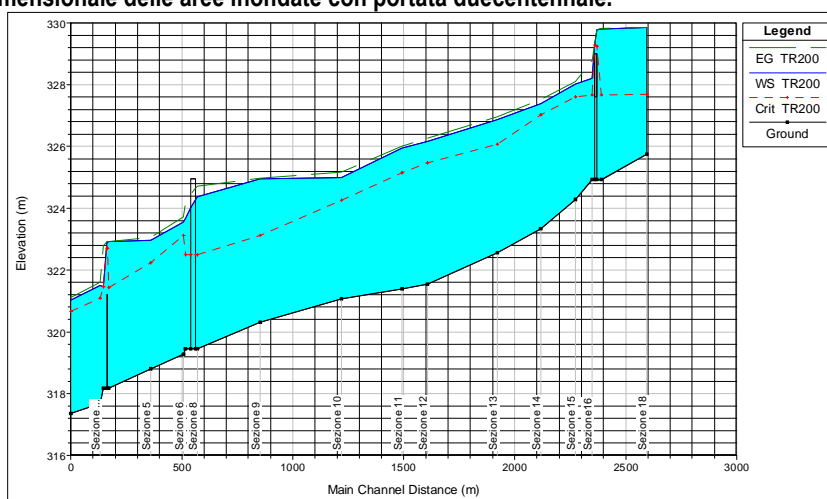


Figura 28 - Profilo longitudinale del tirante di moto permanente associato alla portata duecentennale.

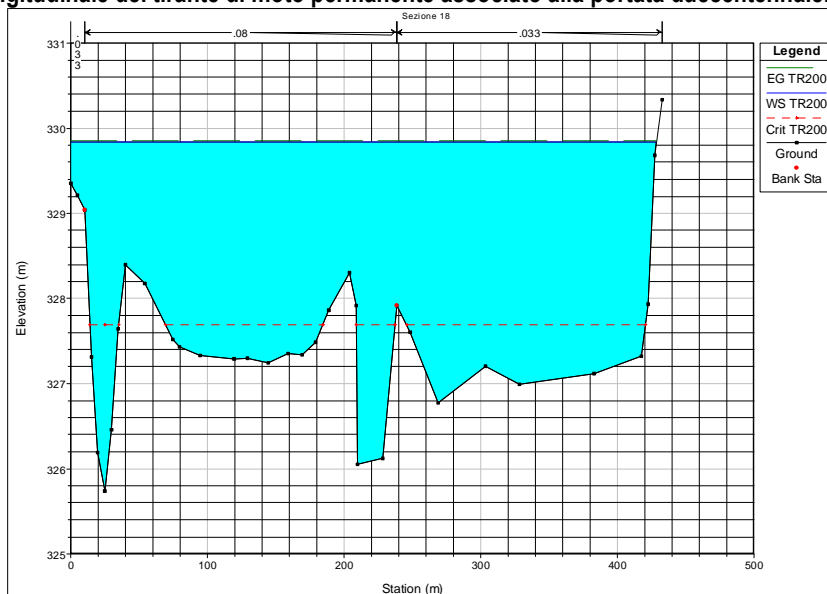


Figura 29 – Sezione 18. TR200.

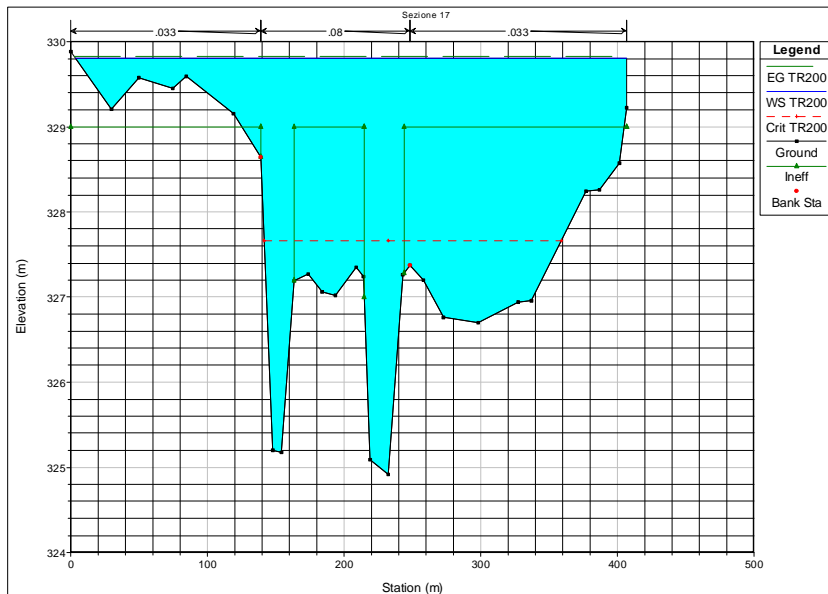


Figura 30 – Sezione 17. TR200.

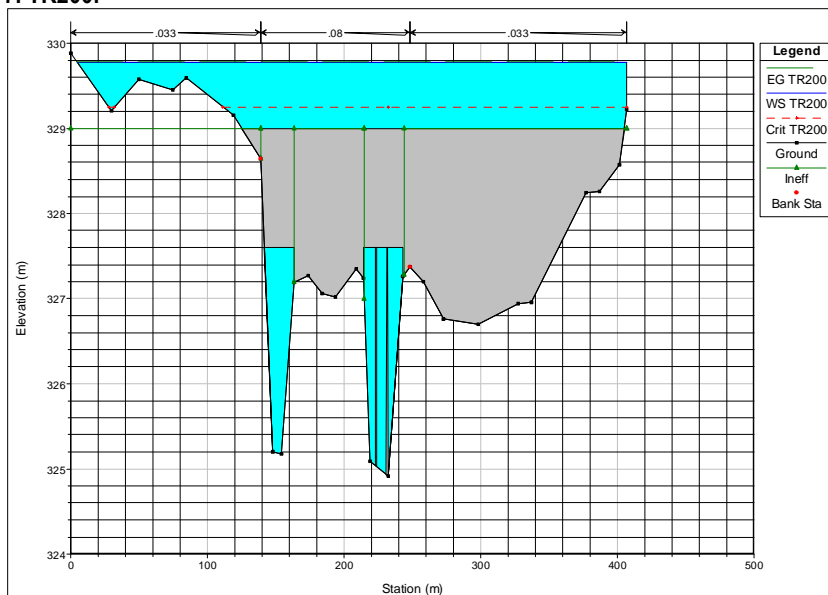


Figura 31 – Sezione ponte monte. TR200.

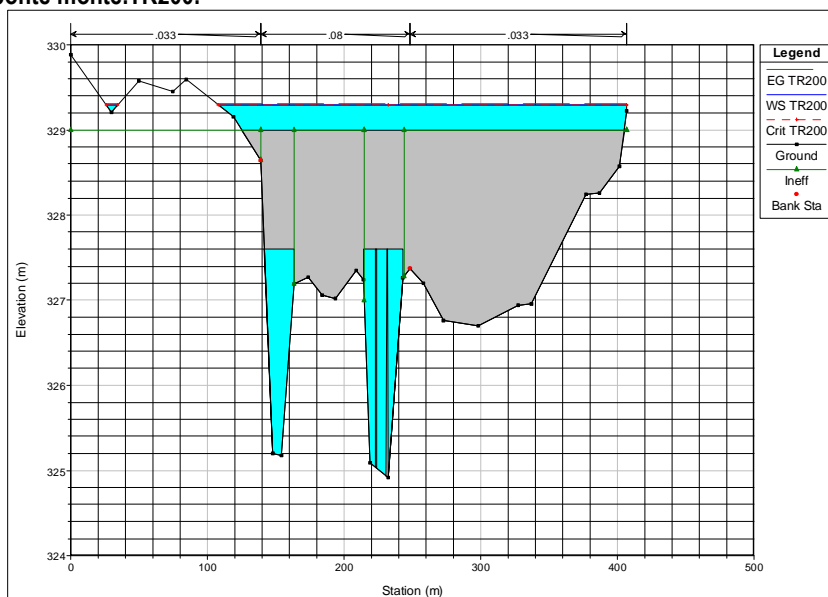


Figura 32 – Sezione ponte valle. TR200.

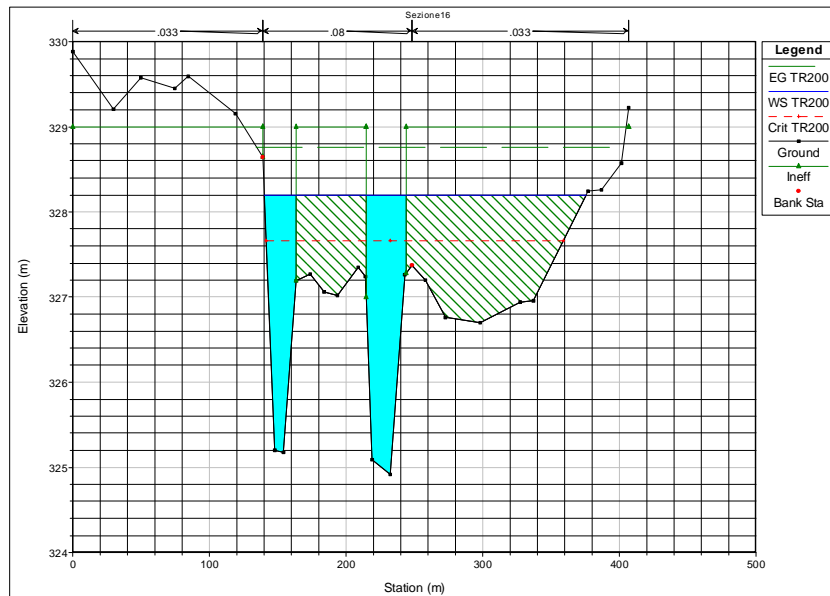


Figura 33 – Sezione 16. TR200.

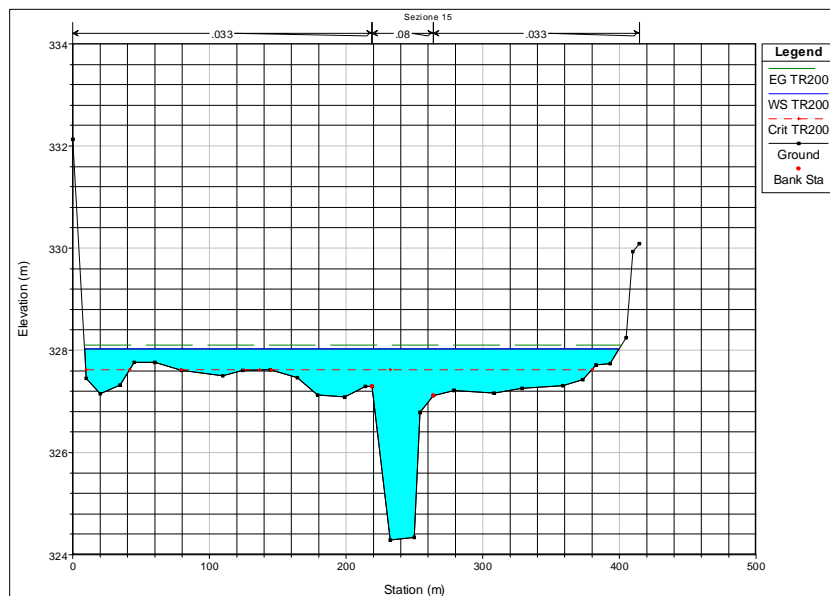


Figura 34– Sezione. 15. TR200.

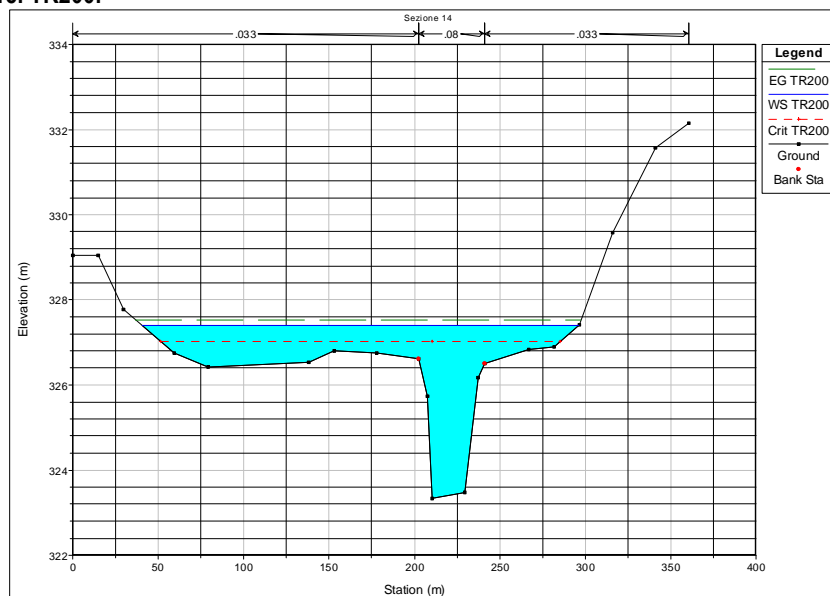


Figura 35– Sezione 14. TR200.

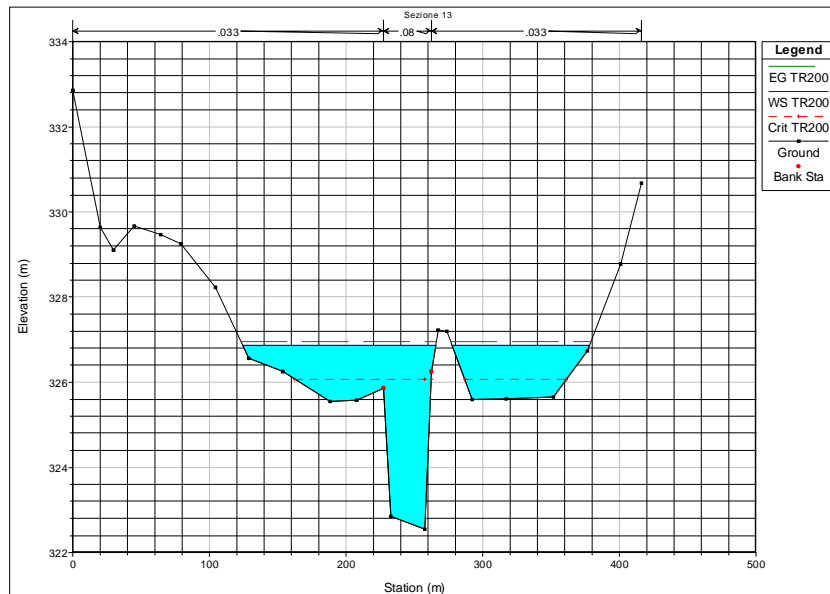


Figura 36 – Sezione 13. TR200.

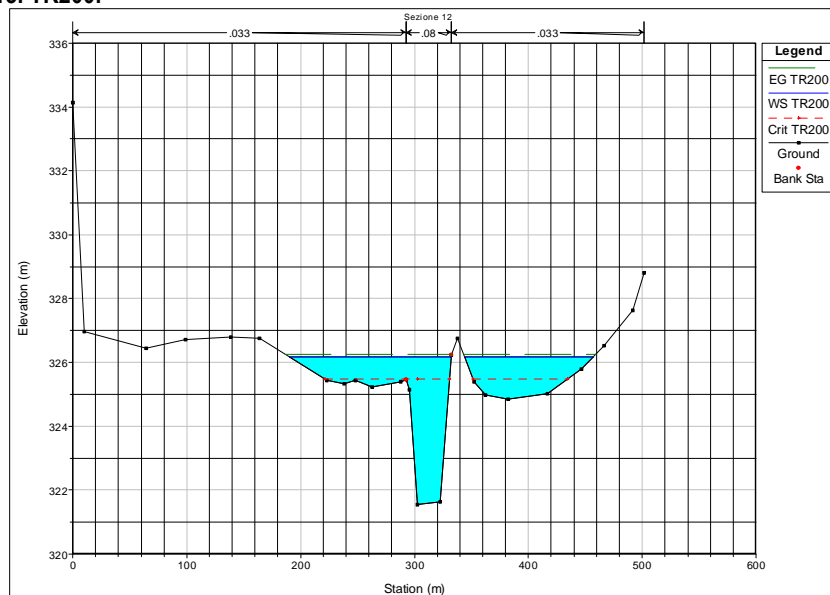


Figura 37 – Sezione 12.. TR200.

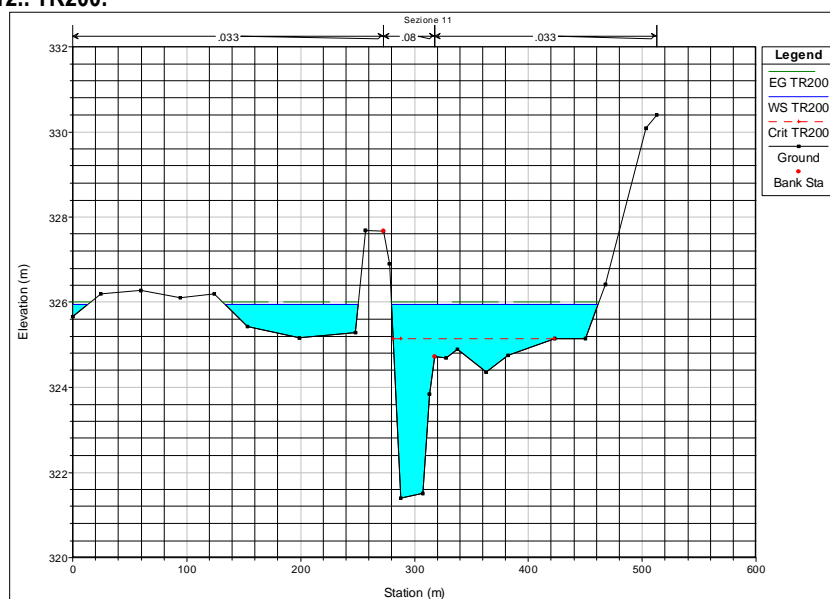


Figura 38– Sezione 11. TR200.

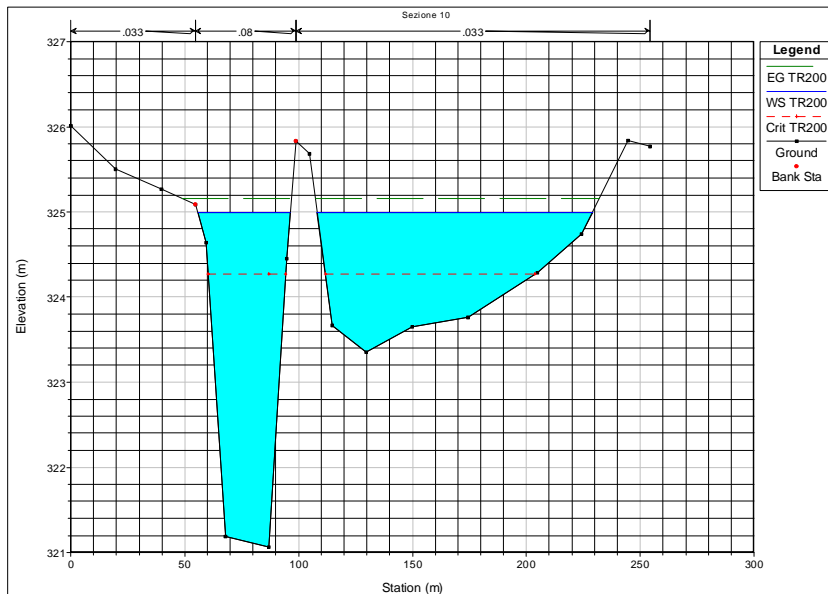


Figura 39– Sezione 10. TR200.

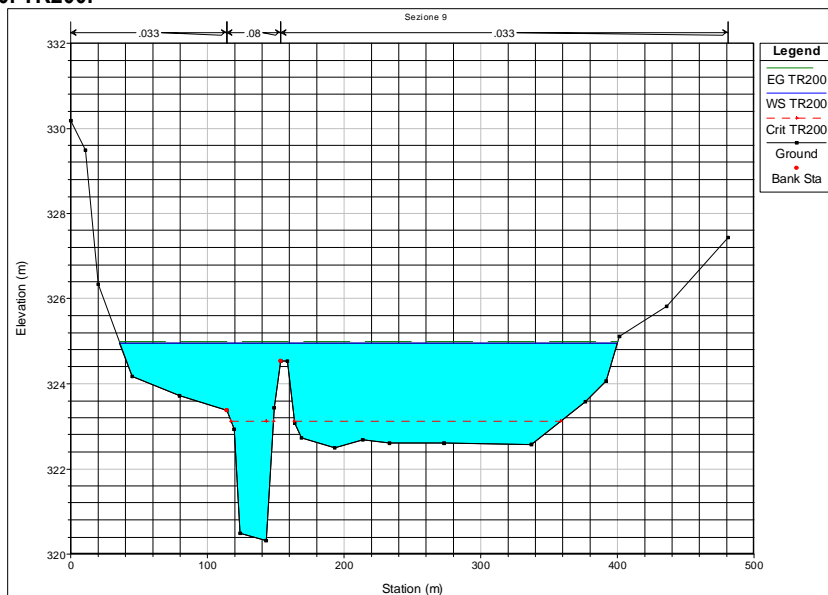


Figura 40 – Sezione 9. TR200.

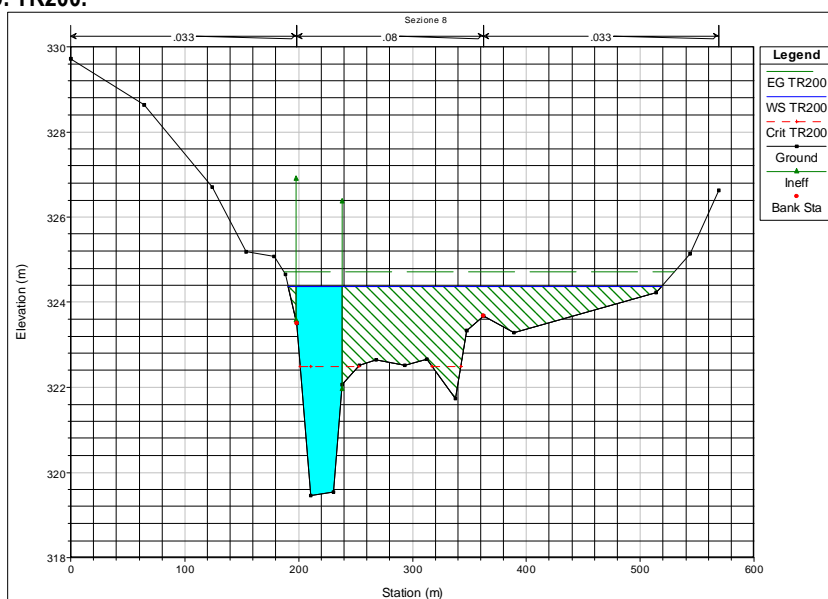


Figura 41 – Sezione 8. TR200.

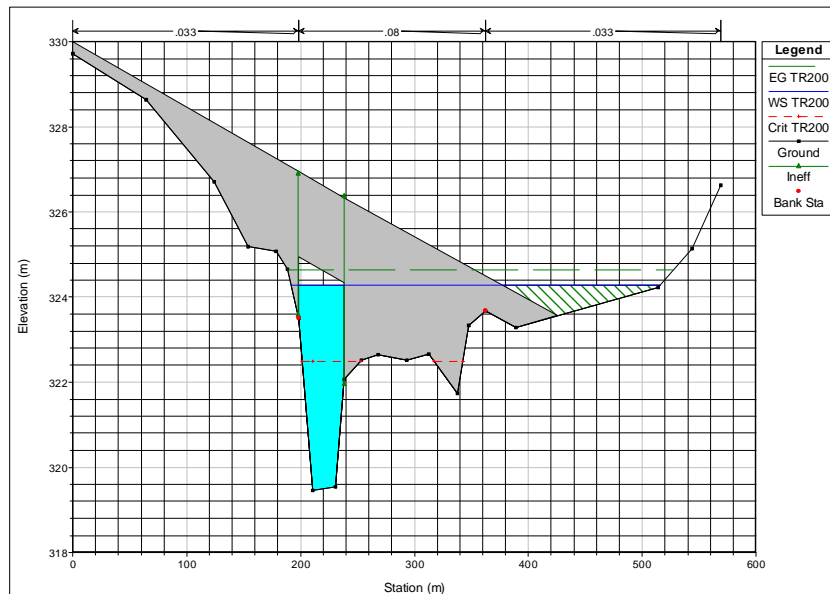


Figura 42 – Sezione ponte monte. TR200.

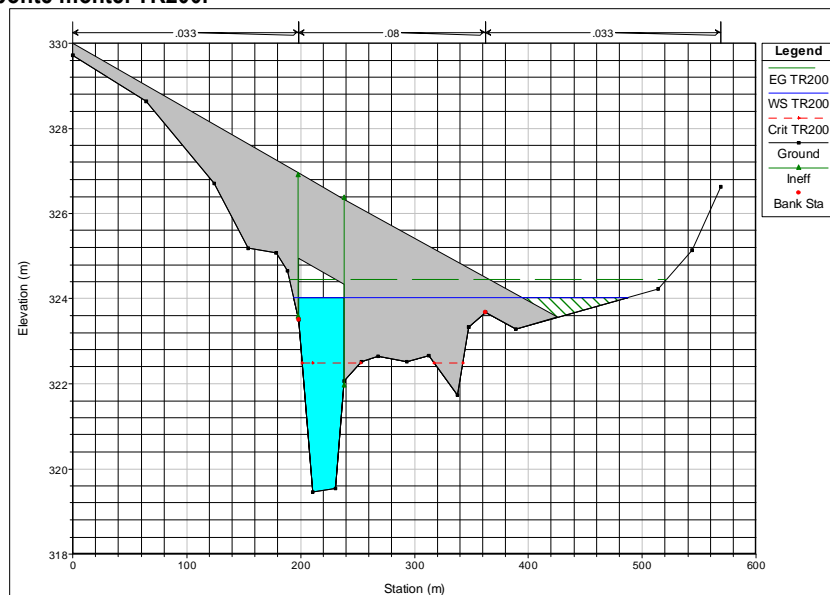


Figura 43– Sezione ponte valle. TR200.

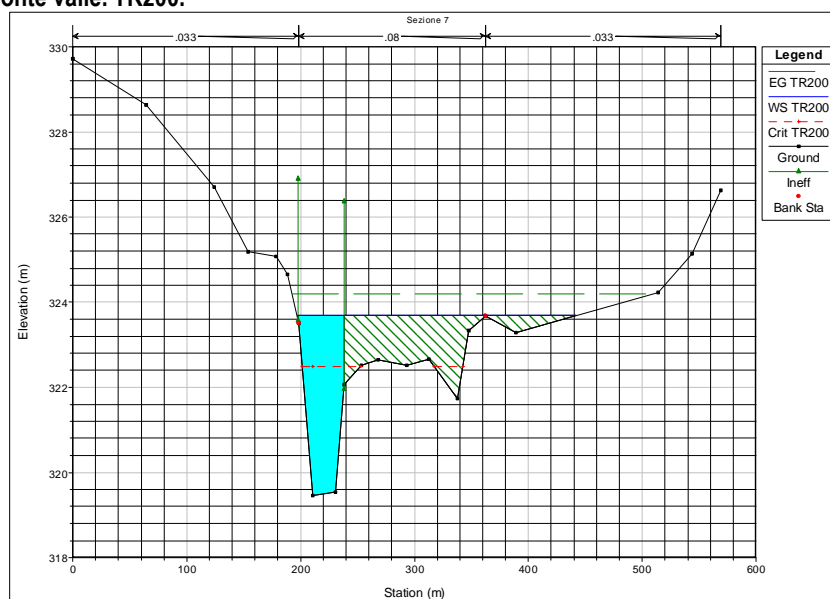


Figura 44– Sezione 7. TR200.

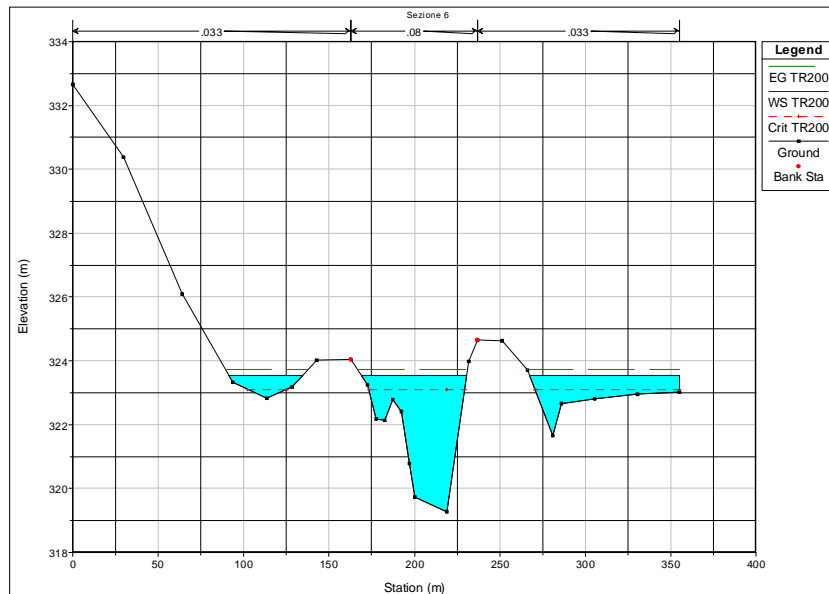


Figura 45 – Sezione 6. TR200.

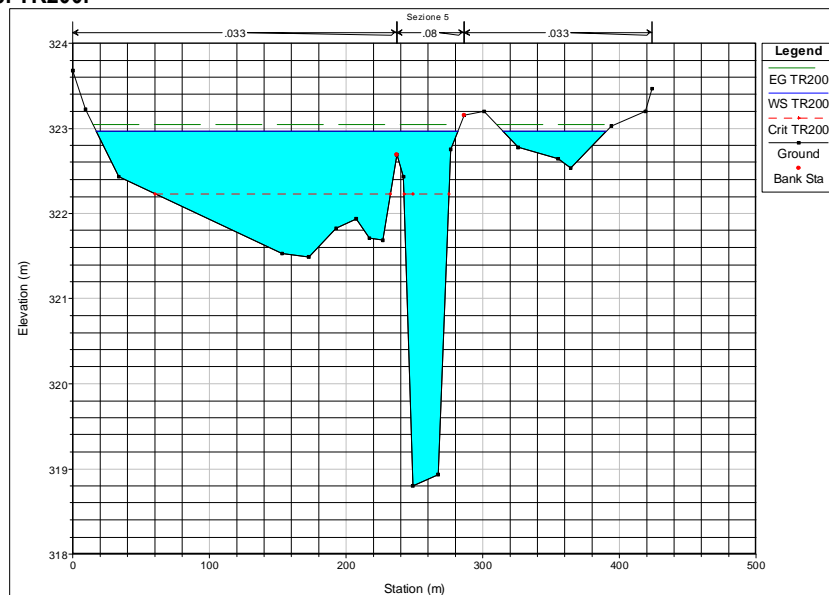


Figura 46 – Sezione 5. TR200.

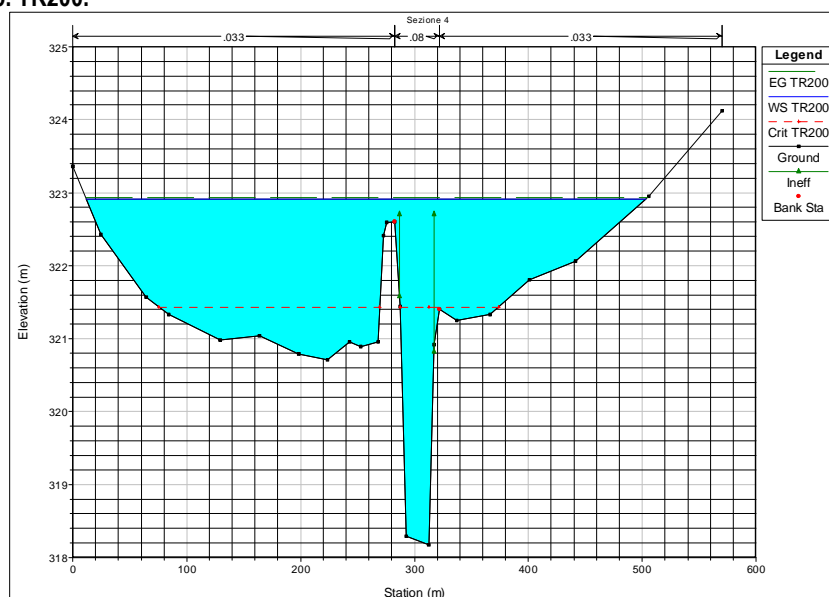


Figura 47 – Sezione 4. TR200.

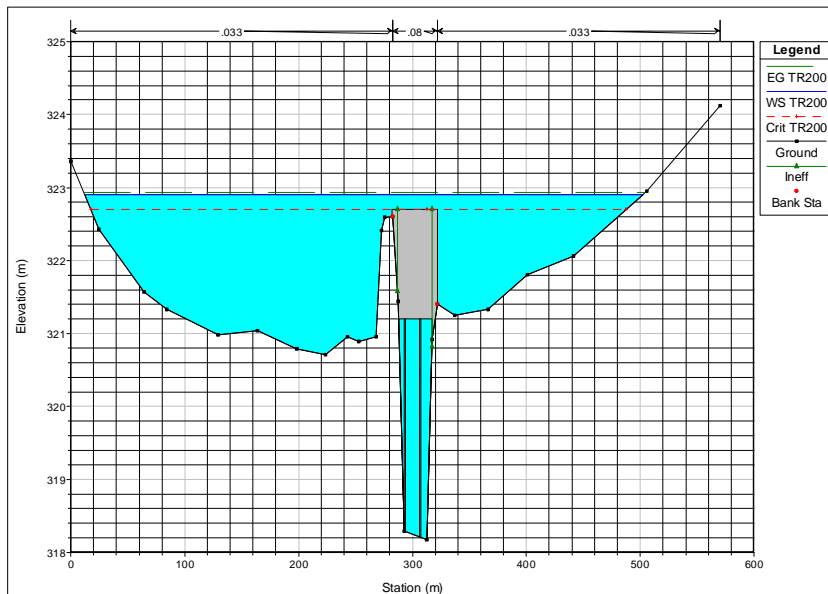


Figura 48 – Sezione ponte monte. TR200.

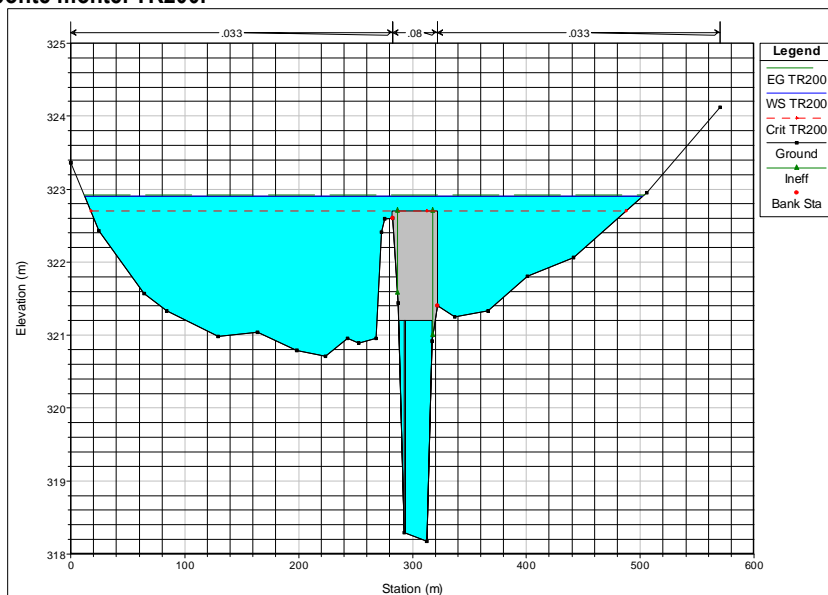


Figura 49 – Sezione ponte valle. TR200.

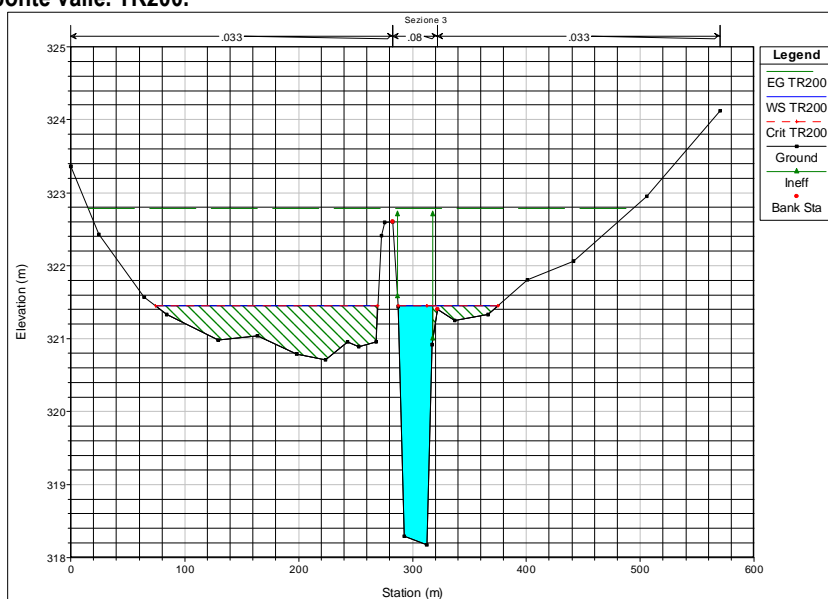


Figura 50 – Sezione 3. TR200.

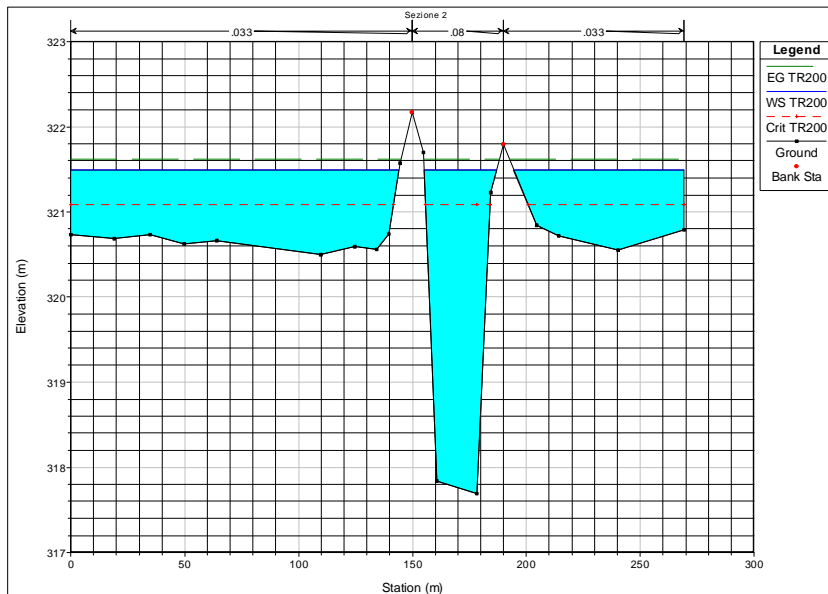


Figura 51 – Sezione 2. TR200.

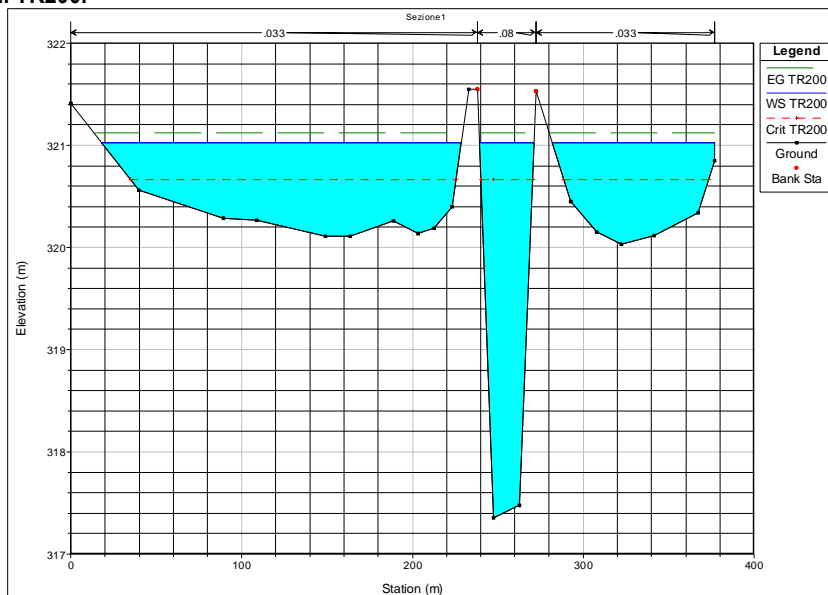


Figura 52 – Sezione 1. TR200.

TR500

Tabella 3 - Risultati delle simulazioni. TR500.

Reach	River Sta	Profile	Q Total (m ³ /s)	Min Ch El (m)	W.S. Elev (m)	Crit W.S. (m)	E.G. Elev (m)	E.G. Slope (m/m)	Vel Chnl (m/s)	Flow Area (m ²)	Top Width (m)	Froude # Chl
Venusio	18	TR500	497	325.74	329.95	327.78	329.97	0.000122	0.26	1121.22	429.4	0.05
Venusio	17	TR500	497	324.92	329.91	327.91	329.93	0.000208	0.4	845.45	406.93	0.07
Venusio			Mult Open									
Venusio	16	TR500	497	324.92	328.16	327.91	328.99	0.035182	4.04	122.96	234.49	0.85
Venusio	15	TR500	497	324.29	328.14	327.74	328.23	0.002959	1.3	374.68	393.8	0.25
Venusio	14	TR500	497	323.34	327.55	327.11	327.68	0.003869	1.62	302.6	261.42	0.29
Venusio	13	TR500	497	322.55	327.02	326.18	327.12	0.001966	1.31	362.29	248.66	0.21
Venusio	12	TR500	497	321.54	326.34	325.62	326.44	0.002382	1.39	354.29	270.57	0.23
Venusio	11	TR500	497	321.4	326.14	325.37	326.21	0.001551	1.13	418.36	349.58	0.19
Venusio	10	TR500	497	321.06	325.4	324.4	325.55	0.002511	1.26	310	199.96	0.23
Venusio	9	TR500	497	320.32	325.39	323.2	325.41	0.000137	0.35	891.69	384.41	0.06
Venusio	8	TR500	497	319.46	324.77	322.81	325.18	0.0073	2.83	175.39	346.23	0.43
Venusio			Bridge									
Venusio	7	TR500	497	319.46	323.81	322.81	324.48	0.016549	3.63	137.1	262.8	0.62
Venusio	6	TR500	497	319.27	323.7	323.22	323.9	0.006852	1.81	255.21	200.01	0.38
Venusio	5	TR500	497	318.8	323.45	322.33	323.5	0.000786	0.68	546.05	418.98	0.13
Venusio	4	TR500	497	318.17	323.42	321.79	323.44	0.00013	0.35	1019.14	531.92	0.06
Venusio			Bridge									
Venusio	3	TR500	497	318.17	321.79	321.79	323.28	0.047019	5.4	91.97	330.27	1
Venusio	2	TR500	497	317.69	321.61	321.16	321.75	0.003821	1.47	296.7	254.65	0.28
Venusio	1	TR500	497	317.35	321.13	320.73	321.24	0.0033	1.36	339.64	345.98	0.26

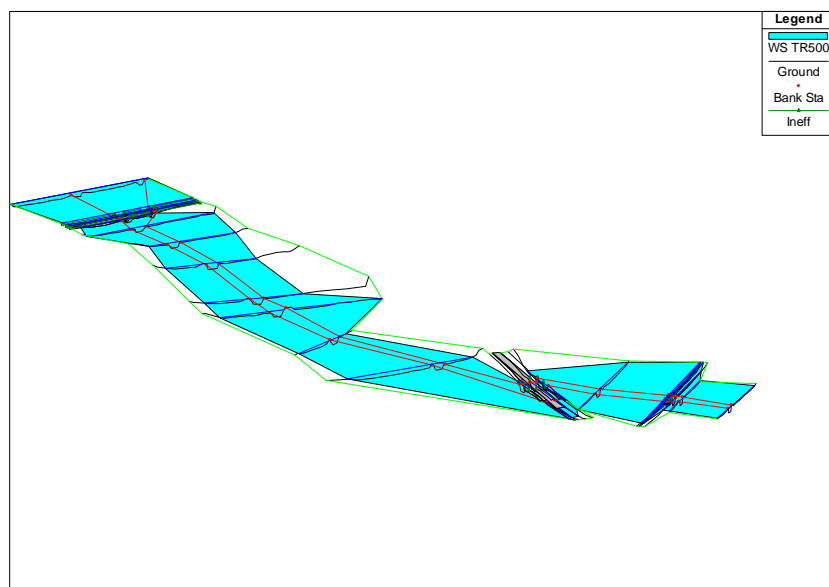


Figura 53 - Vista tridimensionale delle aree inondate con portata cinquecentennale.

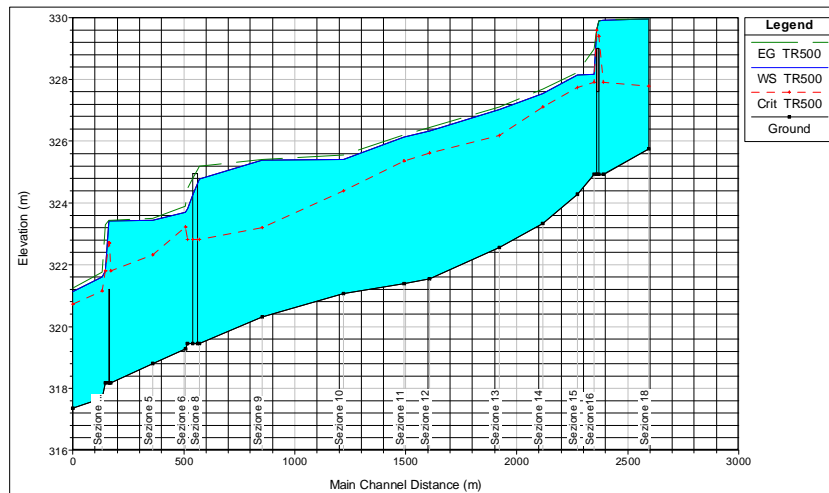


Figura 54 - Profilo longitudinale del tirante di moto permanente associato alla portata cinquecentennale.

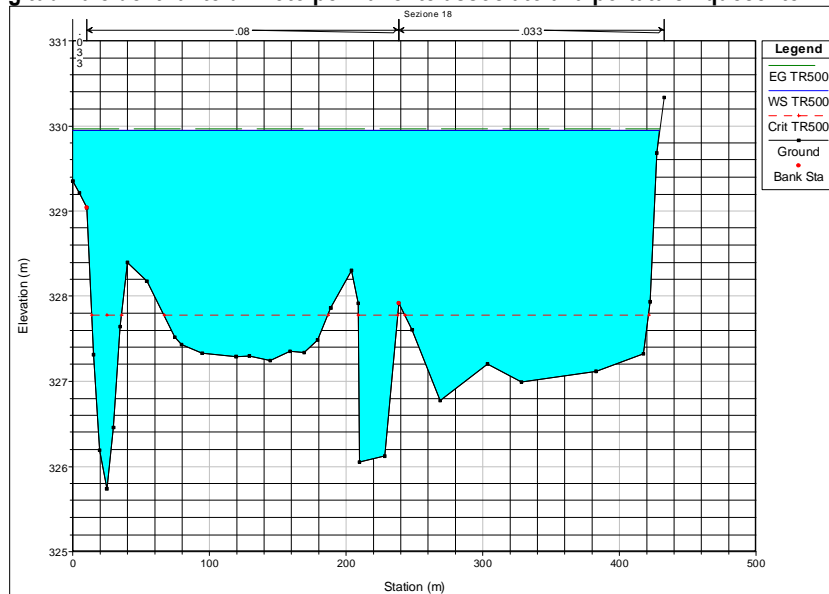


Figura 55 – Sezione 18. TR500.

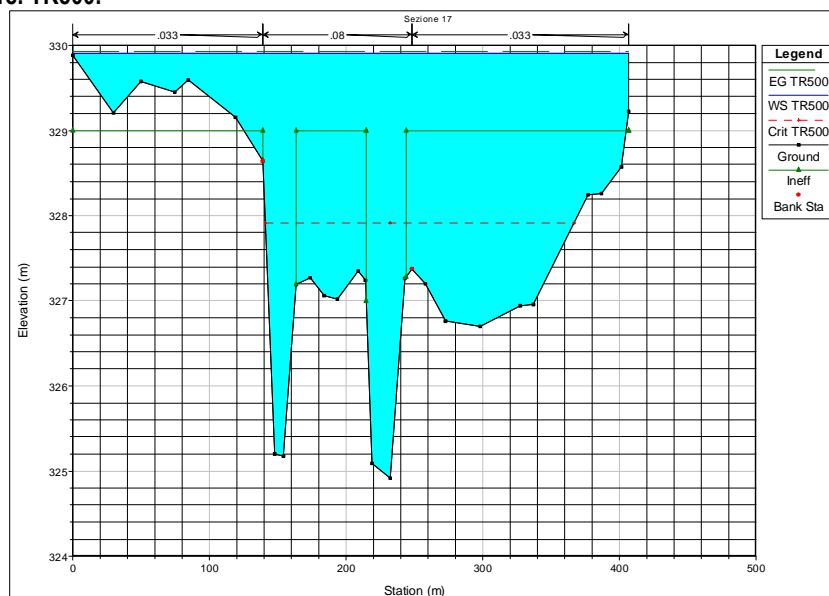


Figura 56 – Sezione 17. TR500.

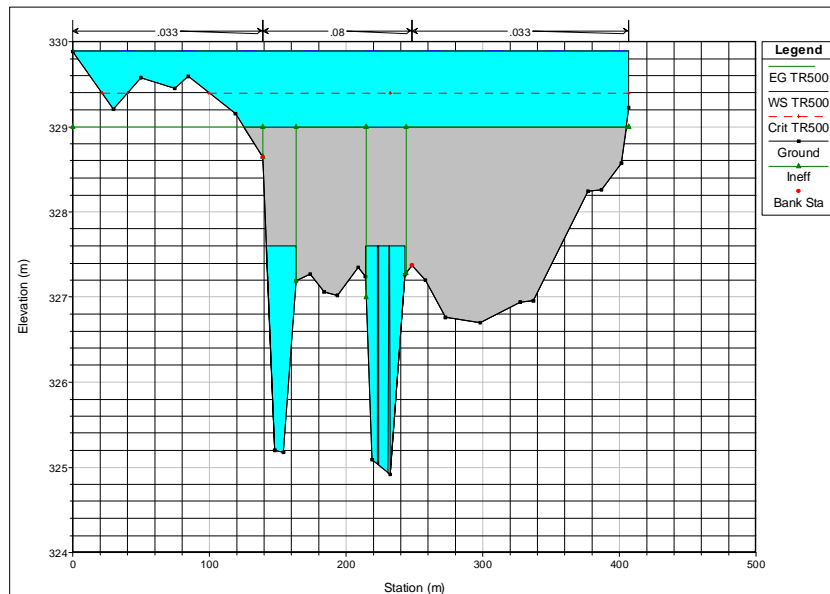


Figura 57 – Sezione ponte monte. TR500.

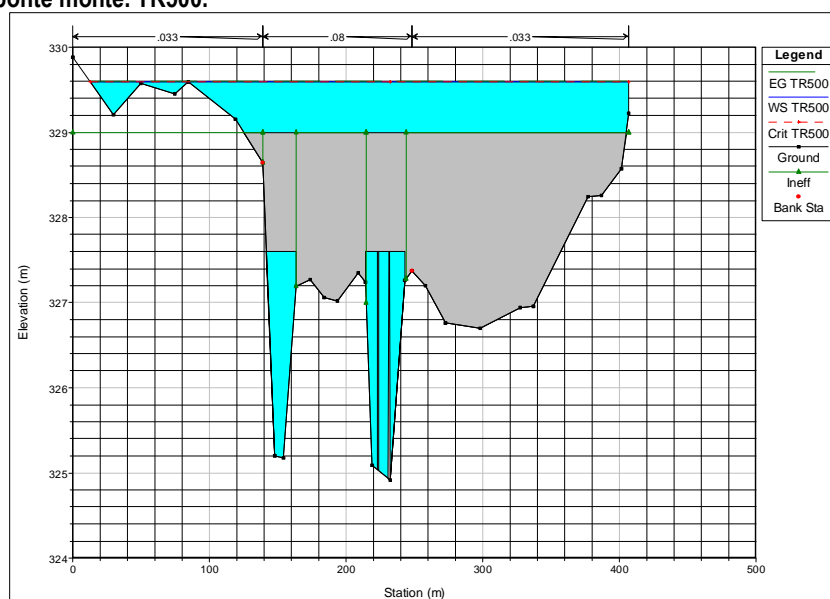


Figura 58 – Sezione ponte valle. TR500.

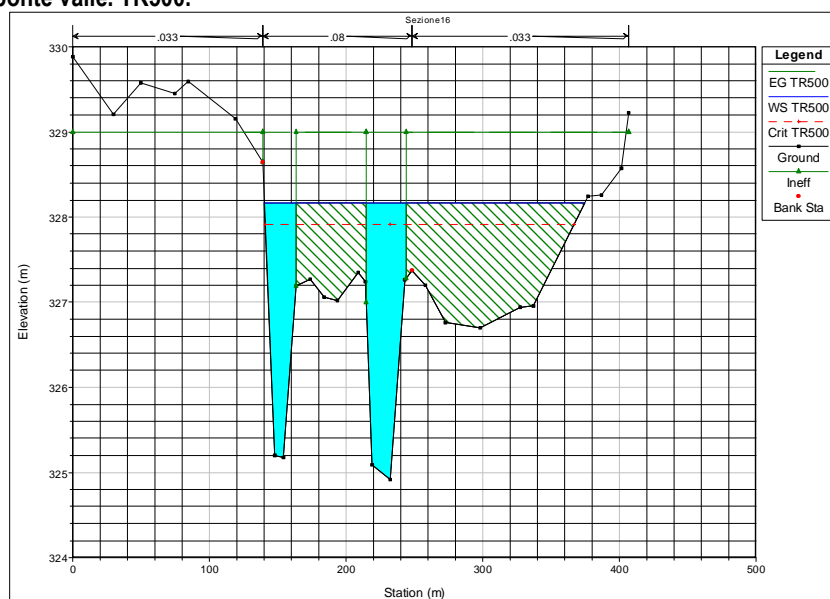


Figura 59 – Sezione 16. TR500.

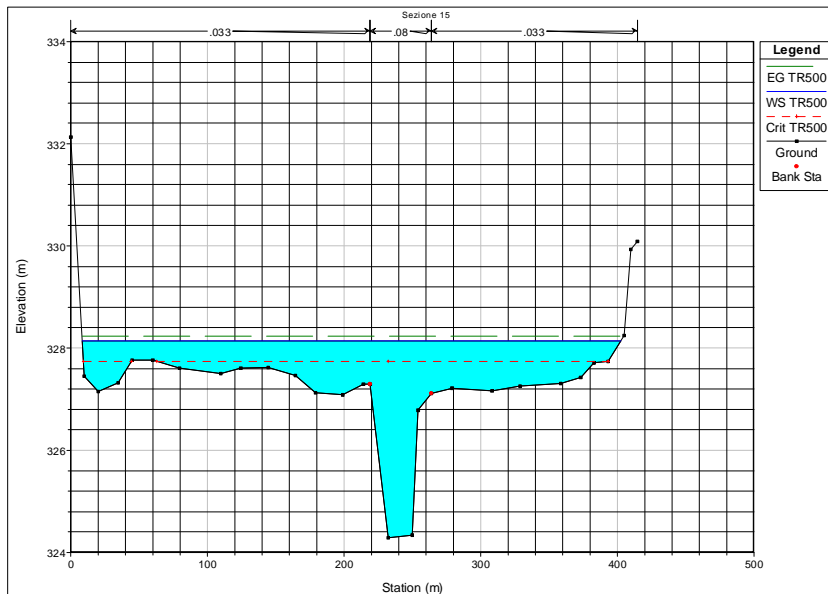


Figura 60– Sezione. 15. TR500.

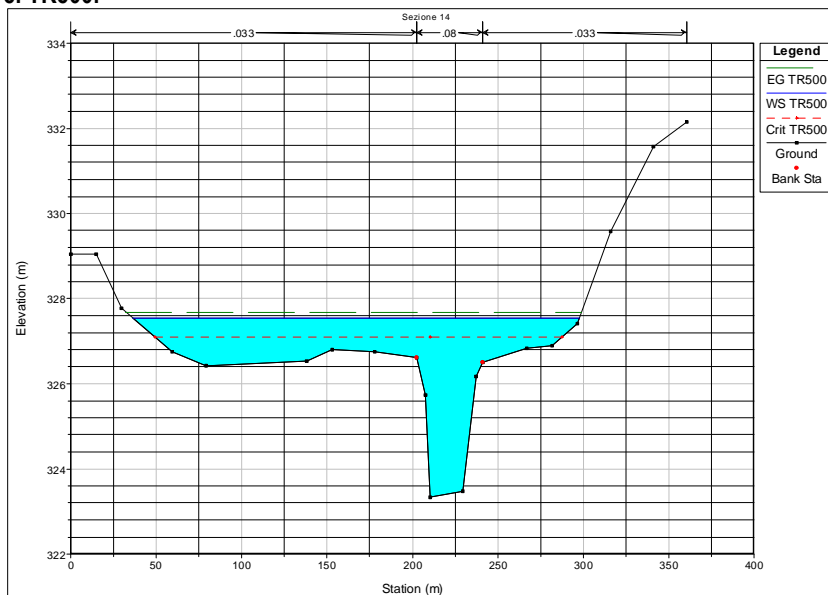


Figura 61– Sezione 14. TR500.

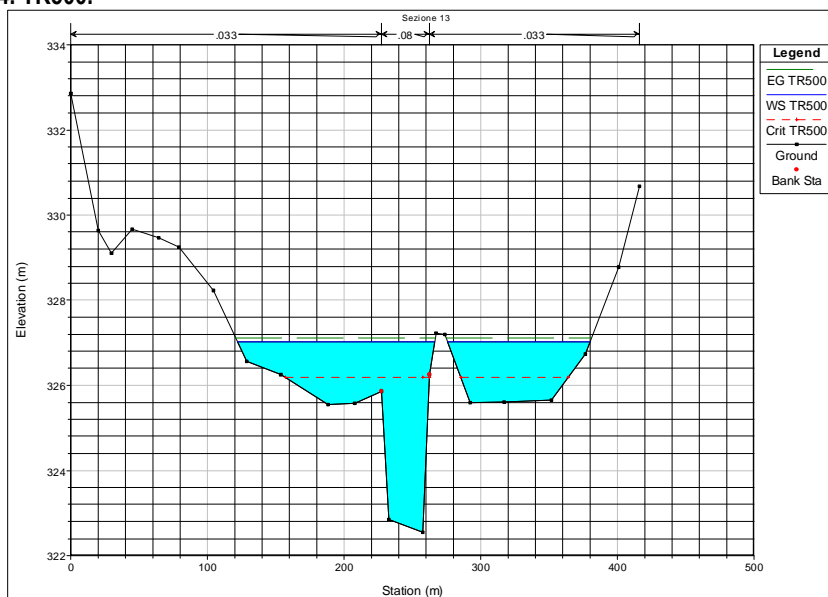


Figura 62 – Sezione 13. TR500.

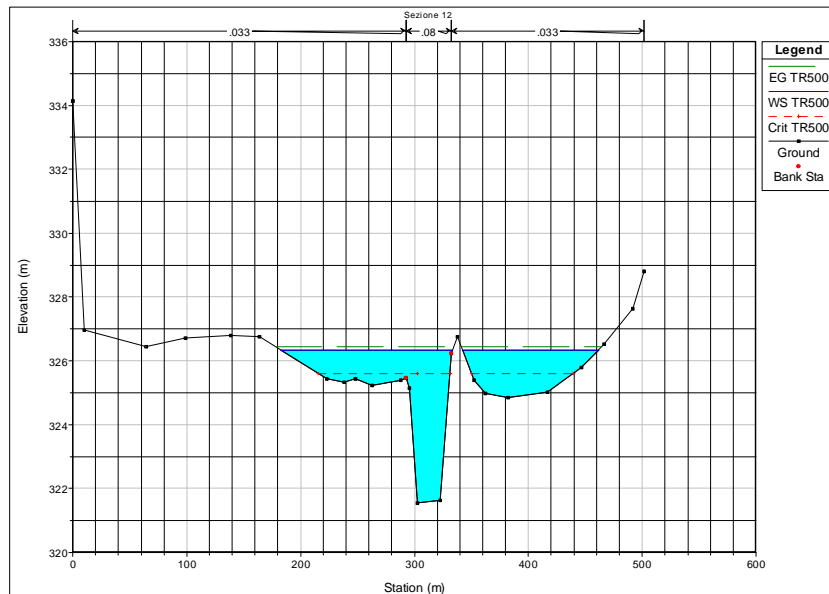


Figura 63 – Sezione 12. TR500.

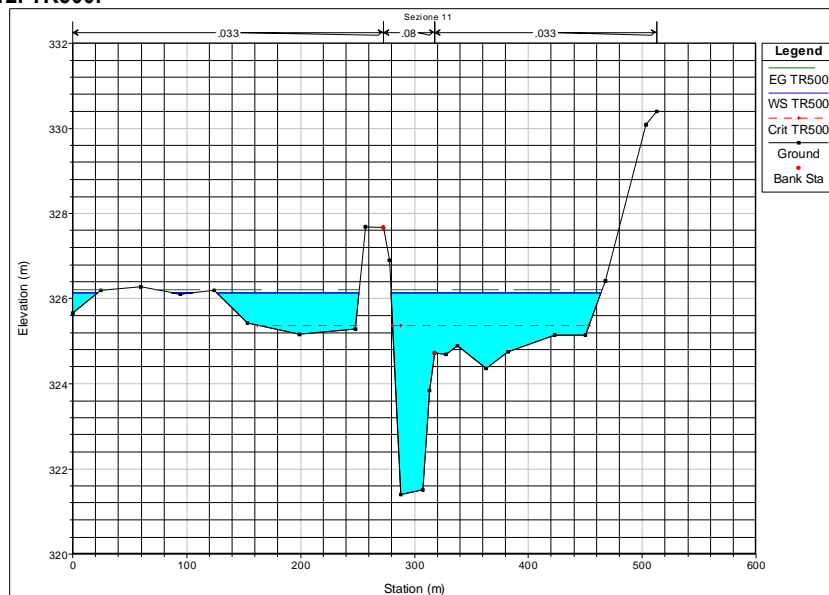


Figura 64– Sezione 11. TR500.

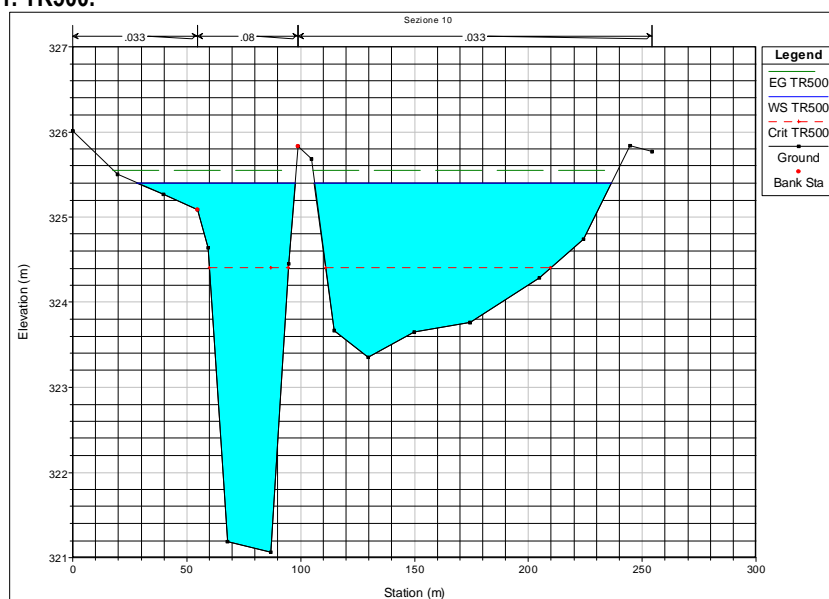


Figura 65– Sezione 10. TR500.

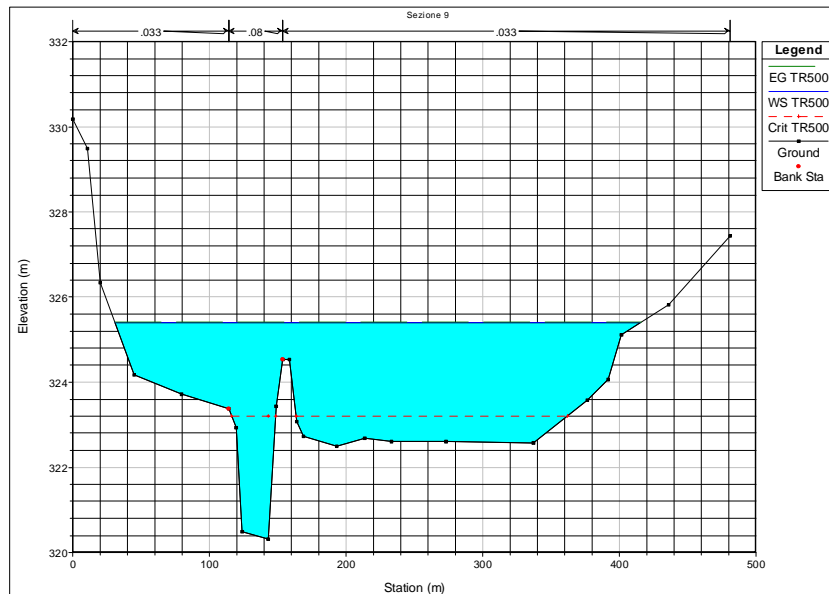


Figura 66 – Sezione 9. TR500.

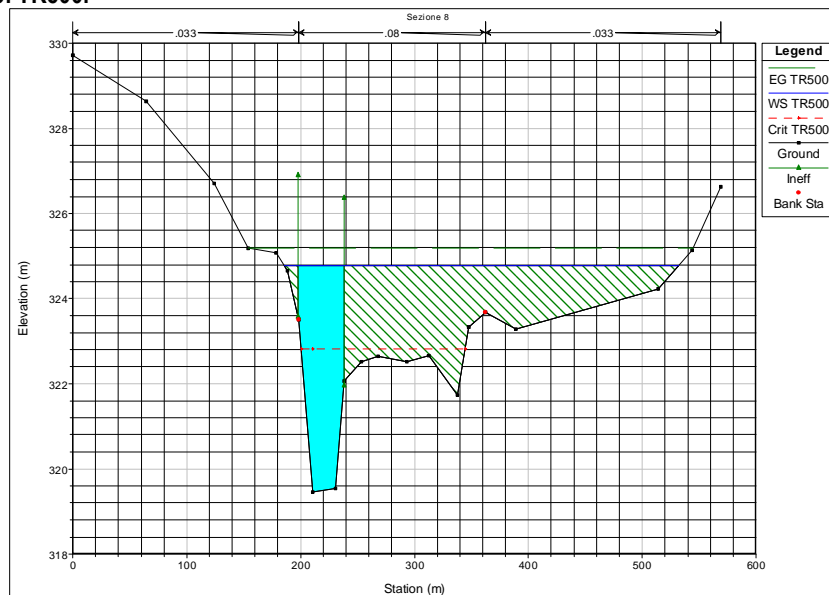


Figura 67 – Sezione 8. TR200.

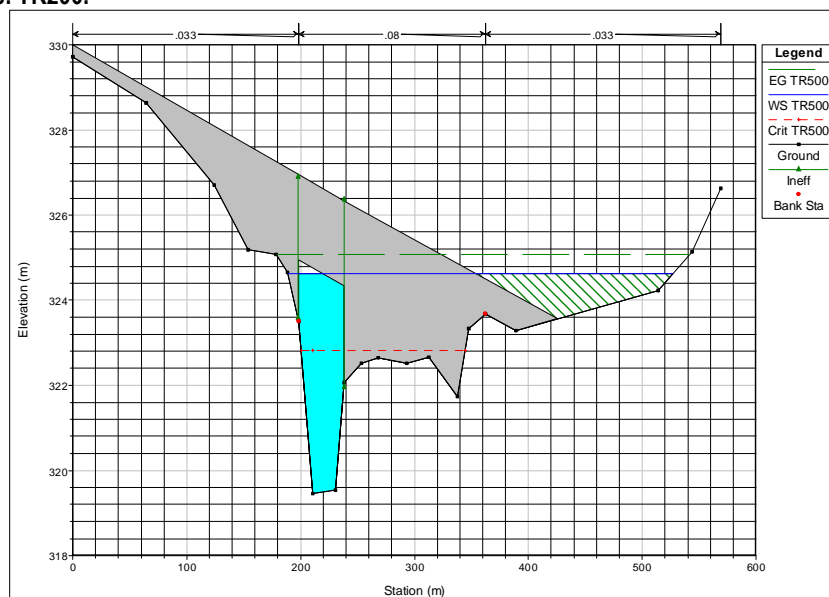


Figura 68 – Sezione ponte monte. TR500.

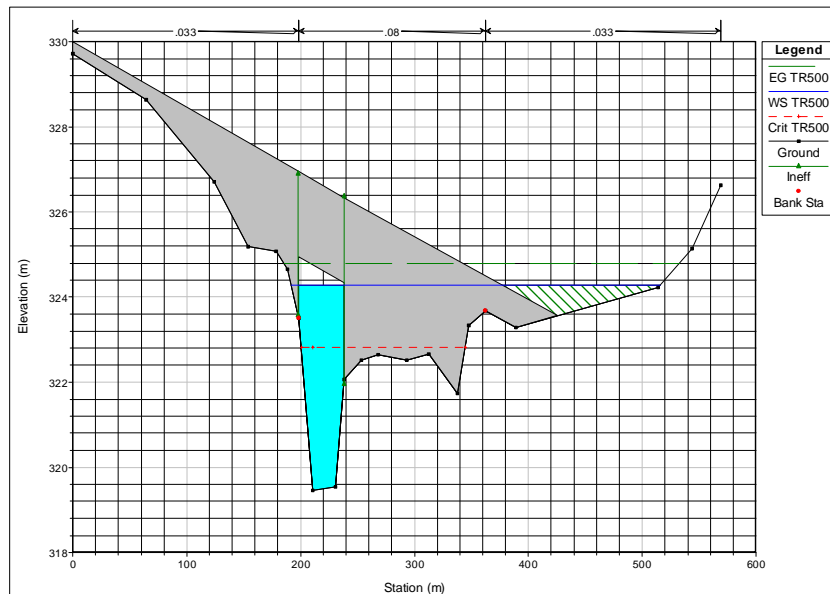


Figura 69– Sezione ponte valle. TR500.

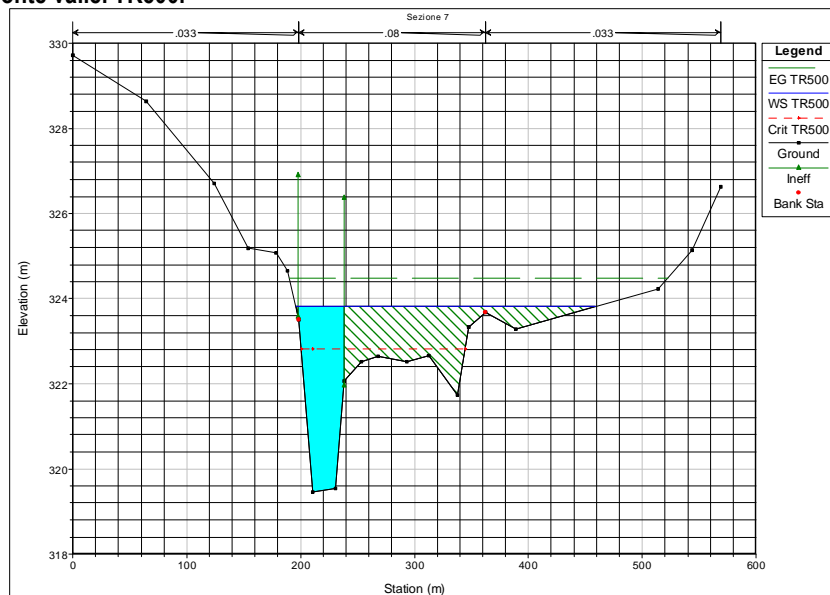


Figura 70– Sezione 7. TR500.

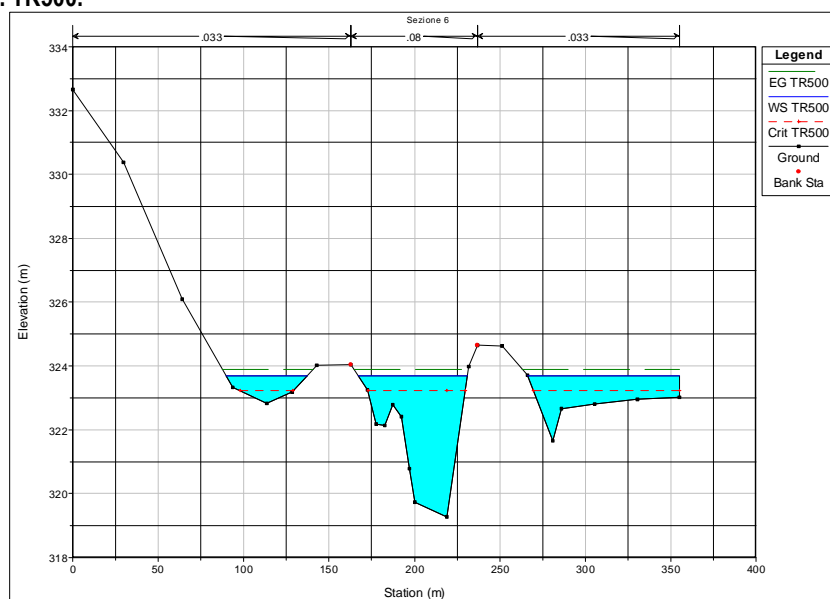


Figura 71 – Sezione 6. TR500.

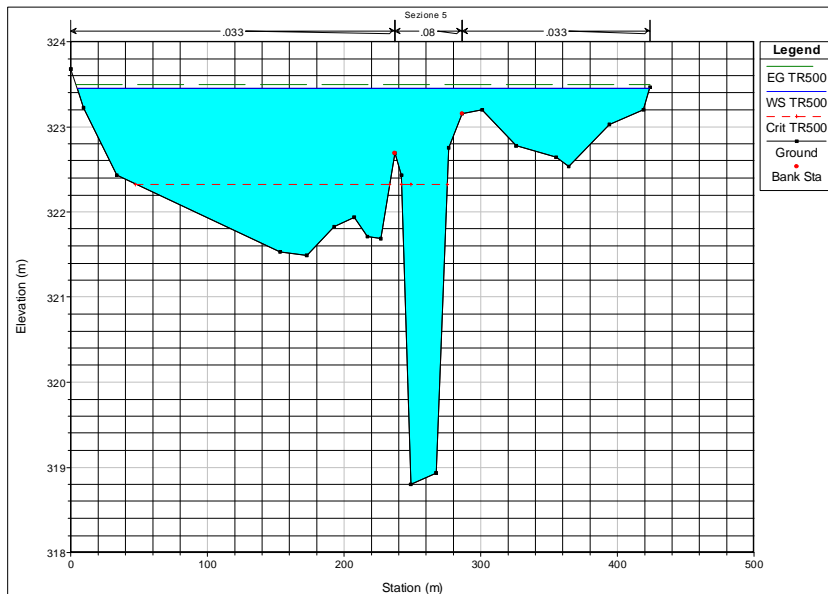


Figura 72 – Sezione 5. TR500.

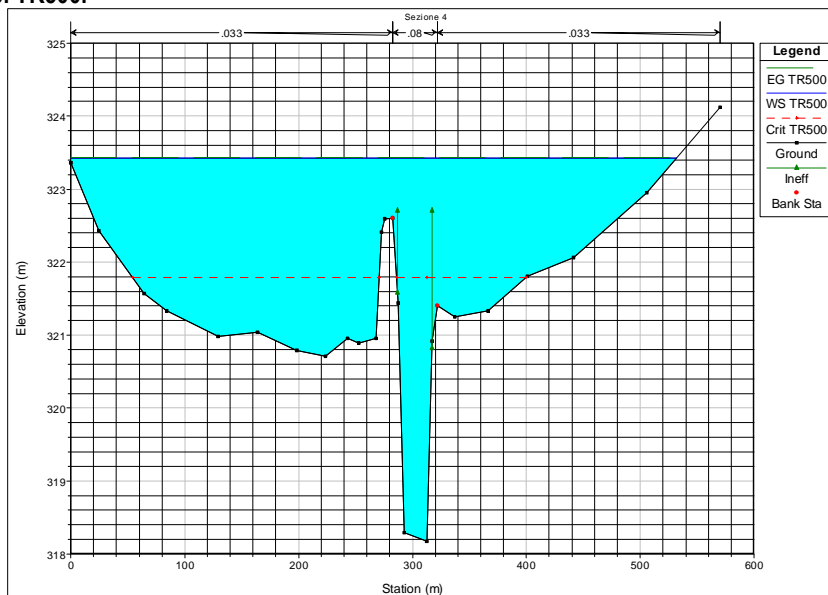


Figura 73 – Sezione 4. TR500.

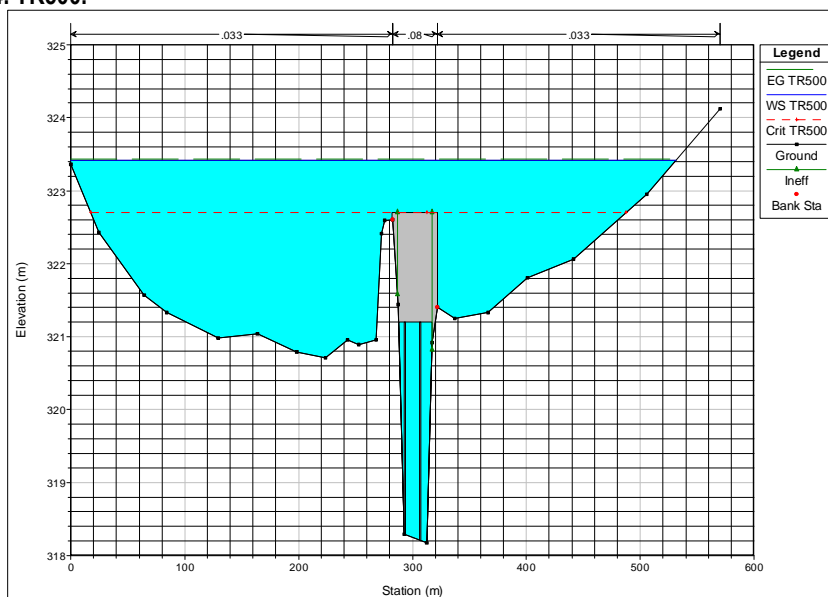


Figura 74 – Sezione ponte monte. TR500.

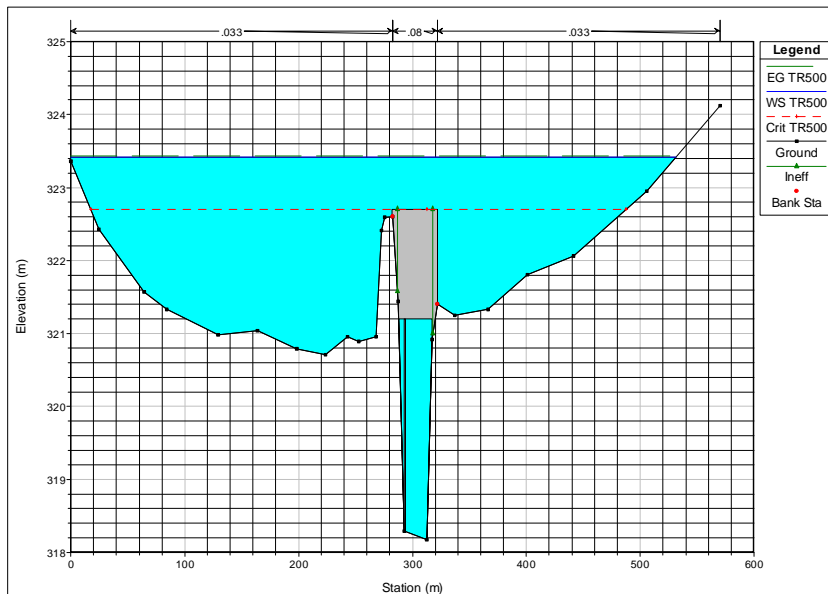


Figura 75 – Sezione ponte valle. TR500.

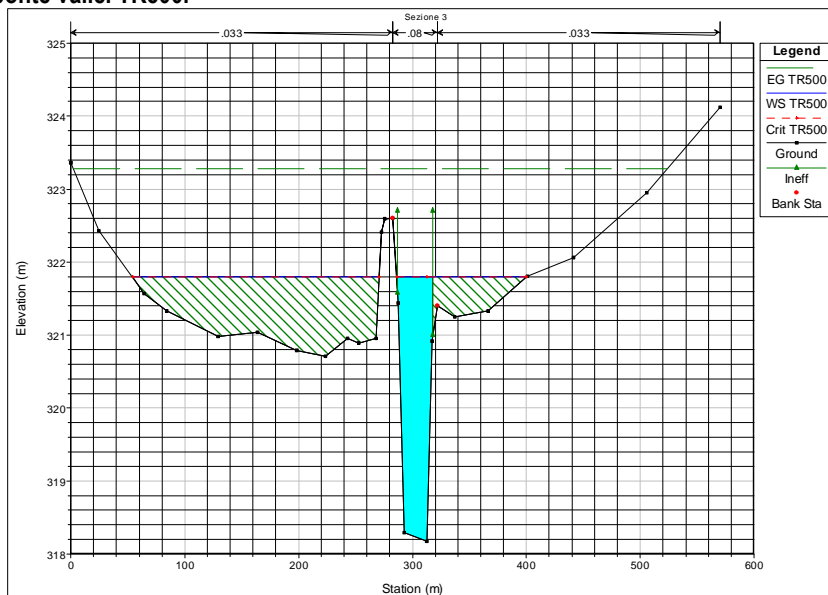


Figura 76 – Sezione 3. TR500.

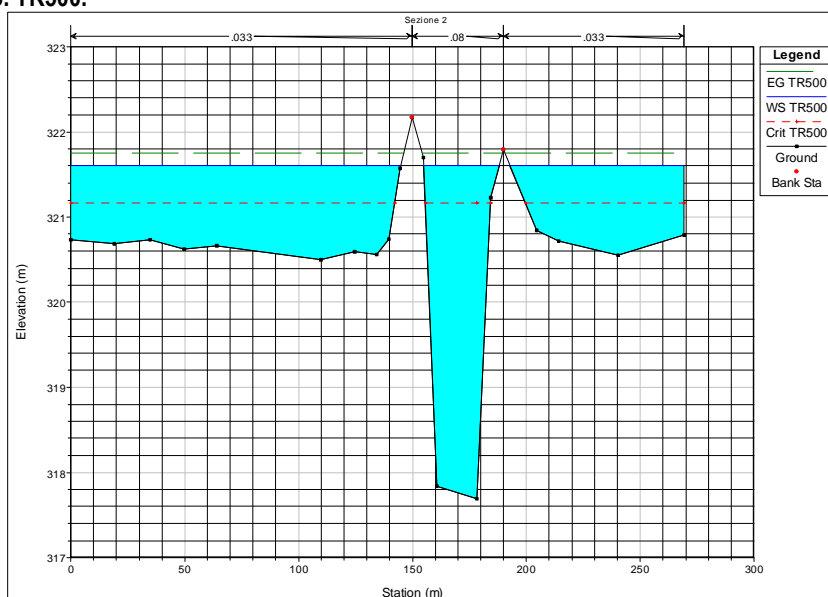


Figura 77 – Sezione 2. TR500.

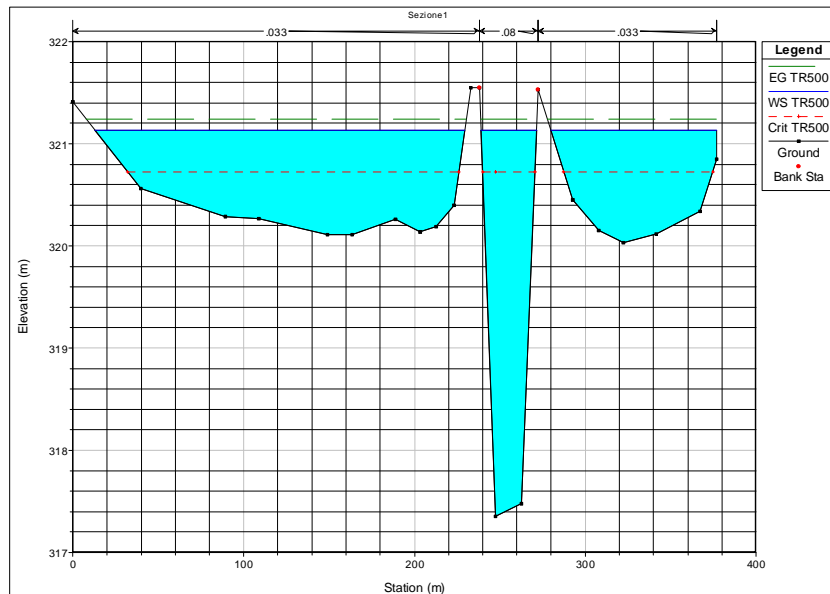


Figura 78 – Sezione 1. TR500.

**ALLEGATO
RISULTATI DELLE SIMULAZIONI
T. GRAVINA DI PICCIANO**

TR30

Tabella 1 - Risultati delle simulazioni. TR30.

Reach	River Sta	Profile	Q Total (m ³ /s)	Min Ch El (m)	W.S. Elev (m)	Crit W.S. (m)	E.G. Elev (m)	E.G. Slope (m/m)	Vel Chnl (m/s)	Flow Area (m ²)	Top Width (m)	Froude # Chl
Picciano A	10	TR30	515	222.32	228.49	226.8	228.62	0.002173	1.55	323.74	127.37	0.23
Picciano A	9	TR30	515	220.4	228.4	227.18	228.51	0.001515	1.31	363.11	143.84	0.18
Picciano A		Mult Open										
Picciano A	8	TR30	515	220.4	227.83	227.18	228.04	0.00355	2.01	257.15	128.53	0.29
Picciano A	7	TR30	515	220.26	227.33	225.22	227.53	0.004726	1.99	264.97	98.36	0.33
Picciano A	6	TR30	515	218.78	226.96	223.5	227.03	0.001664	1.2	429.15	116.82	0.2
Picciano A	5	TR30	515	218.38	226.52	223.8	226.7	0.003915	1.85	277.93	74.39	0.3
Picciano A	4	TR30	515	218.12	225.82	223	225.95	0.003114	1.63	315.08	85.82	0.27
Picciano A	3	TR30	515	217.14	224.99	222.35	225.36	0.005212	2.71	189.83	71.52	0.37
Picciano A		Bridge										
Picciano A	2	TR30	515	217.14	224.63	222.35	225.06	0.006539	2.9	177.34	68.01	0.41
Picciano A	1	TR30	515	216.09	224.2	222.04	224.44	0.006007	2.18	237.17	71.74	0.37

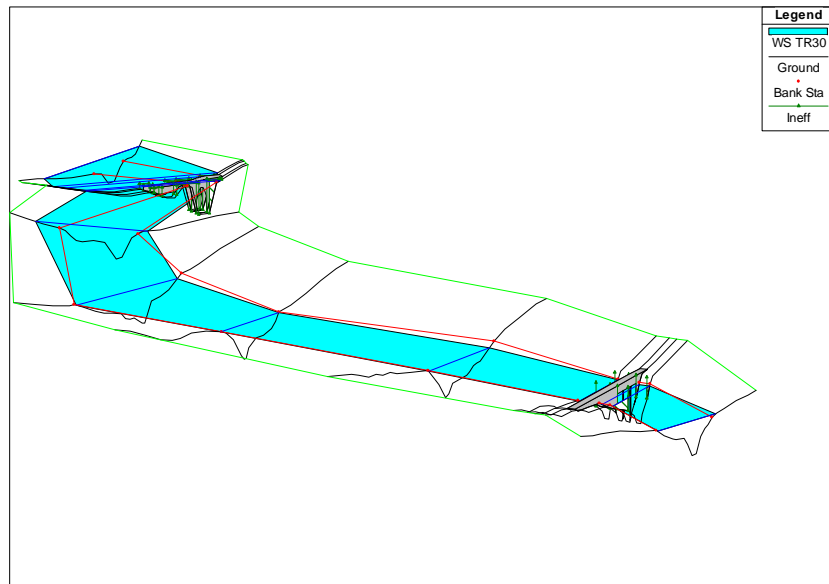


Figura 1 - Vista tridimensionale delle aree inondate con portata trentennale.

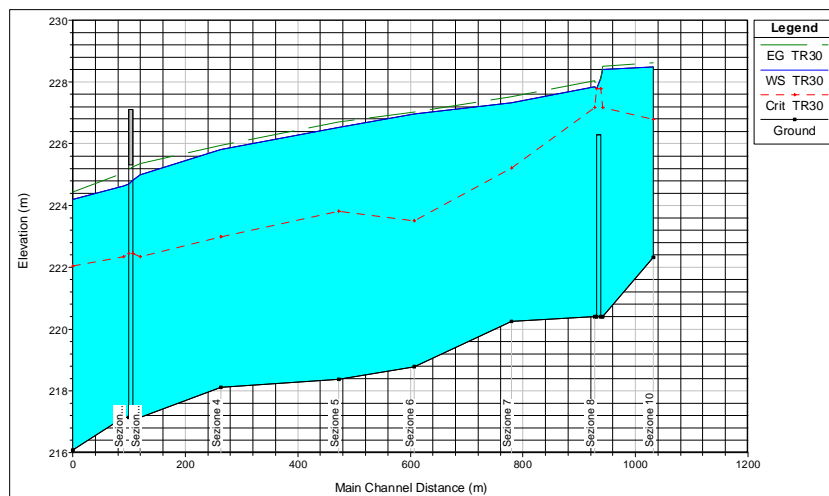


Figura 2 - Profilo longitudinale del tirante di moto permanente associato alla portata trentennale.

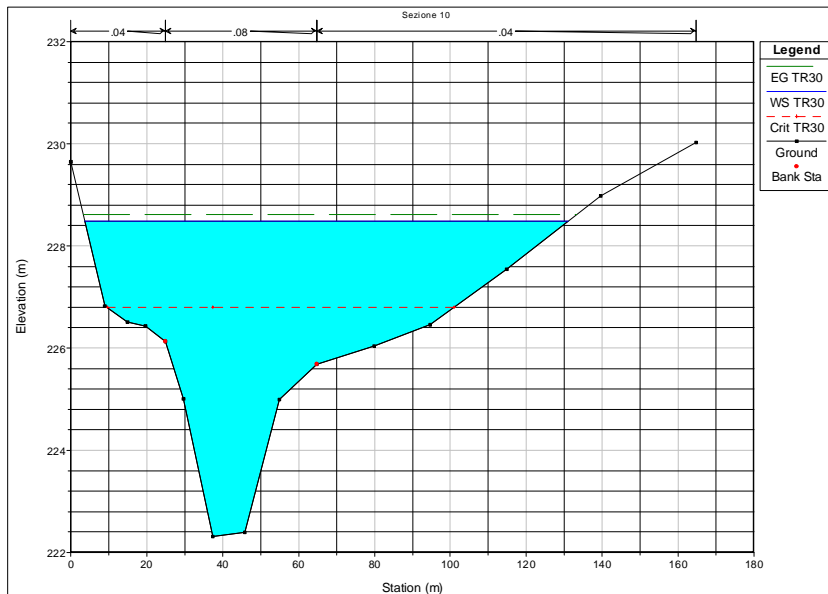


Figura 3 – Sezione 10. TR30.

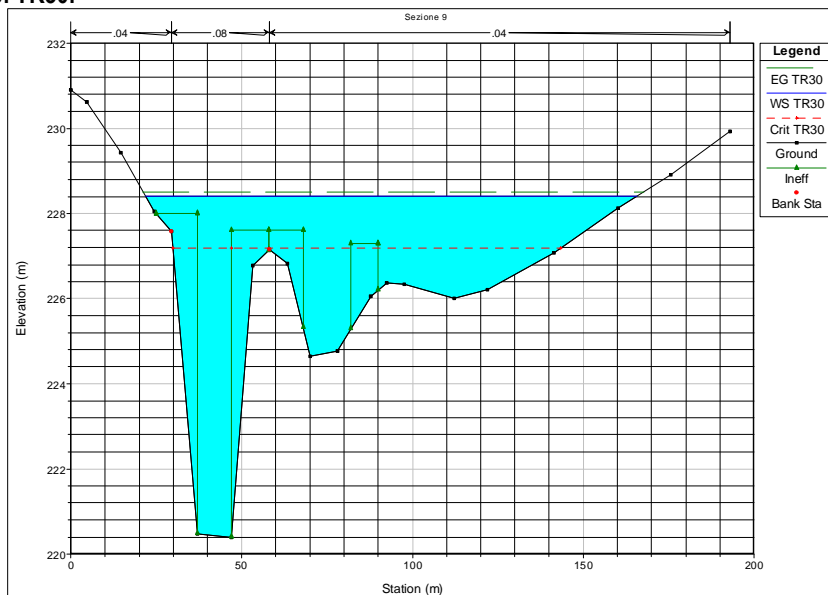


Figura 4 – Sezione 9. TR30.

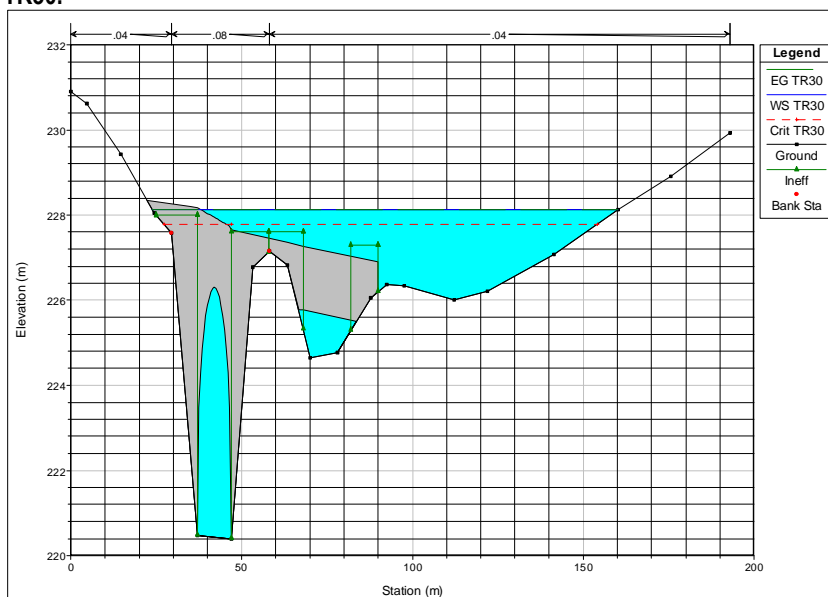


Figura 5 – Sezione ponte monte. TR30.

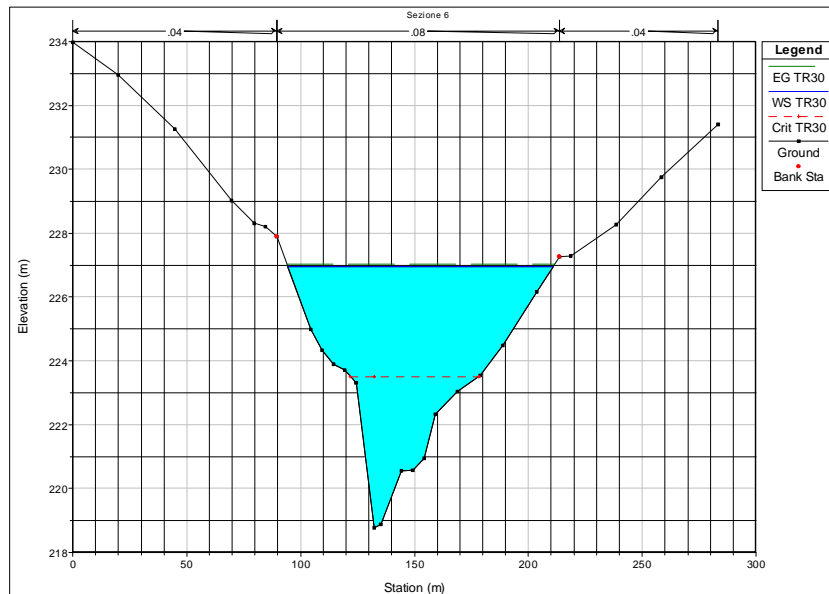


Figura 9– Sezione 6. TR30.

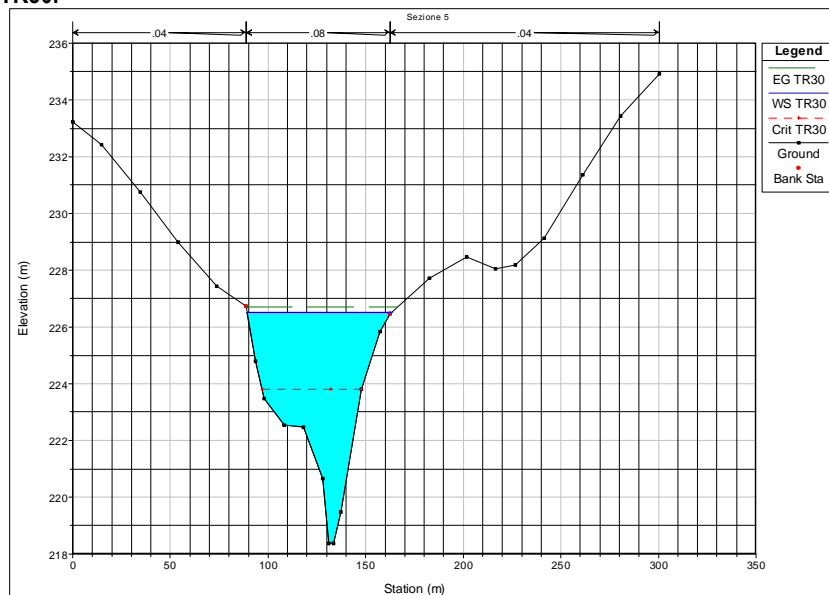


Figura 10– Sezione 5. TR30.

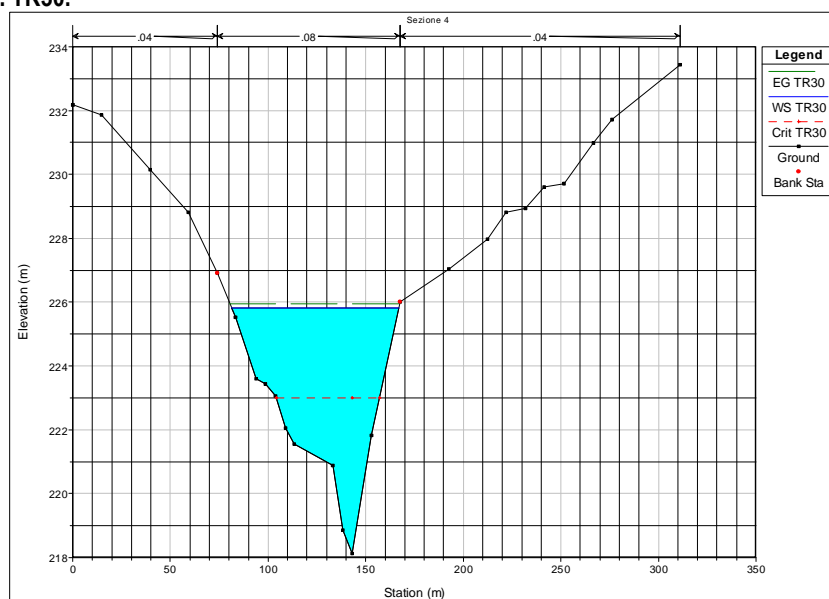


Figura 11– Sezione 4. TR30.

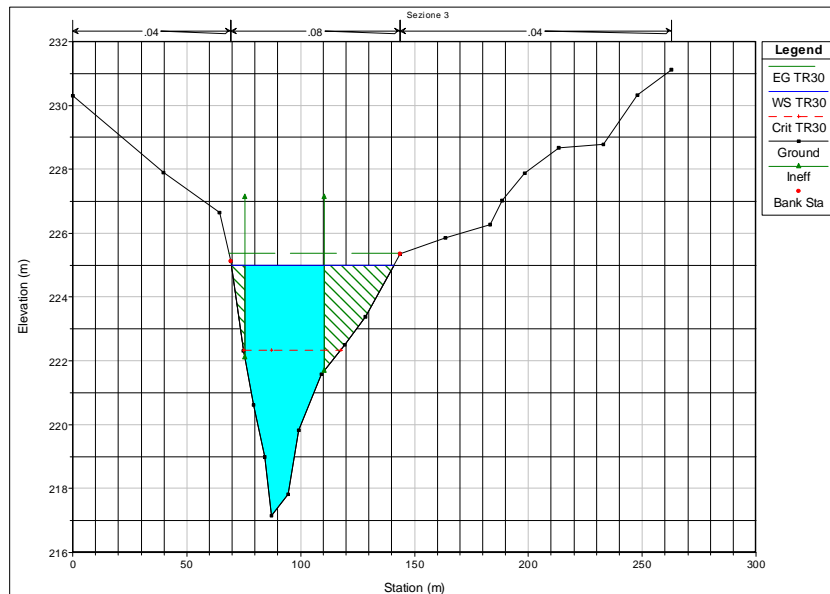


Figura 12– Sezione 3. TR30.

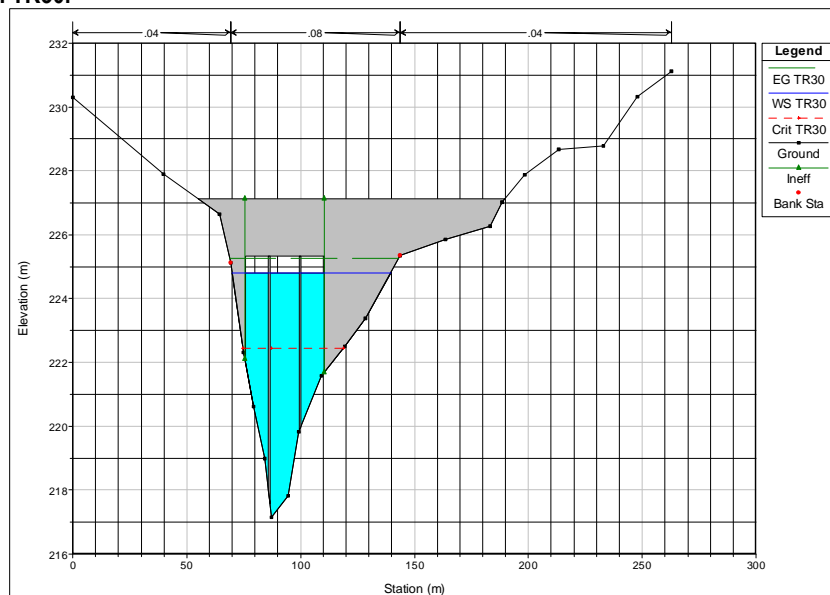


Figura 13– Sezione ponte monte. TR30.

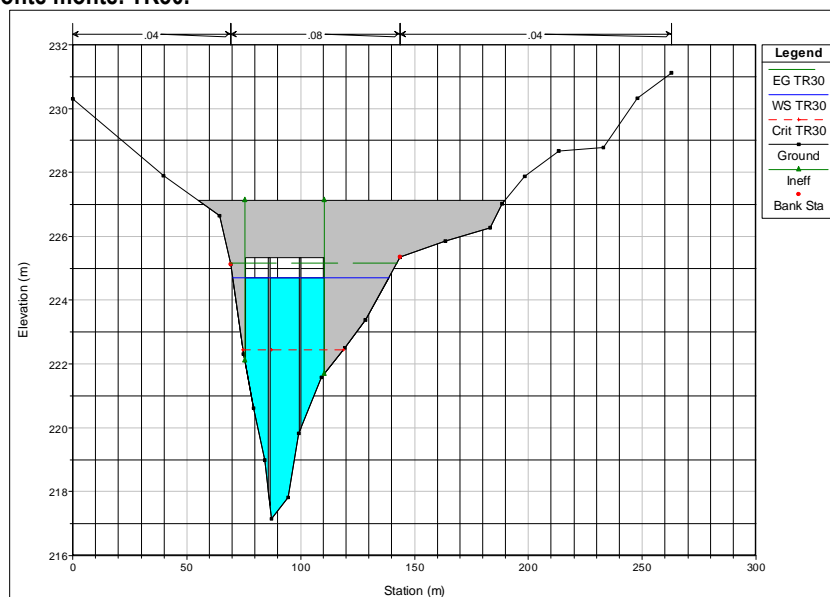


Figura 14– Sezione ponte valle. TR30.

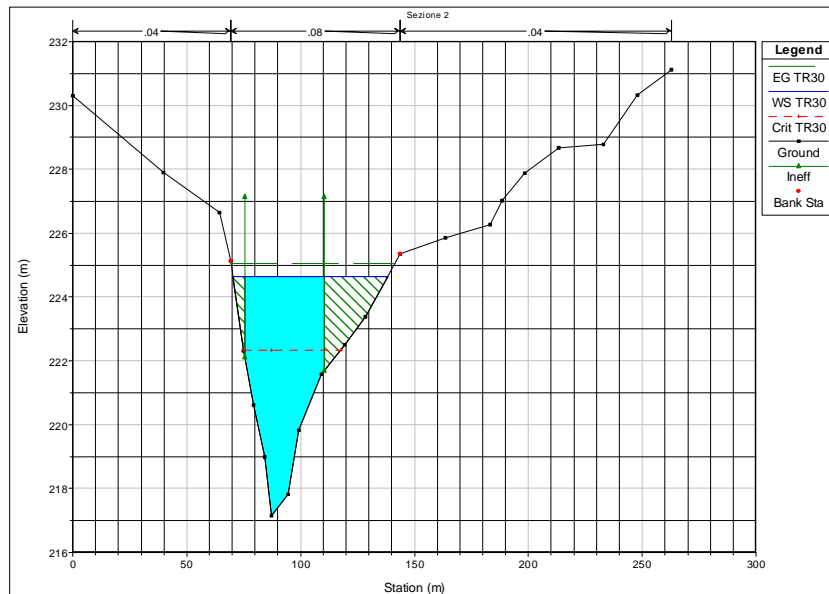


Figura 15– Sezione 2. TR30.

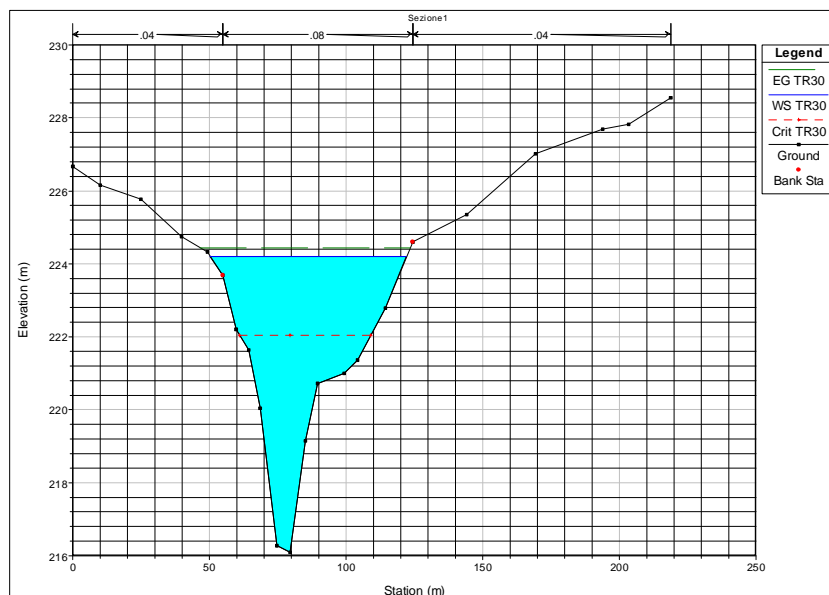


Figura 16– Sezione 1. TR30.

TR200

Tabella 2- Risultati delle simulazioni. TR200.

Reach	River Sta	Profile	Q Total (m ³ /s)	Min Ch EI (m)	W.S. Elev (m)	Crit W.S. (m)	E.G. Elev (m)	E.G. Slope (m/m)	Vel Chnl (m/s)	Flow Area (m ²)	Top Width (m)	Froude # Chl
Picciano A	10	TR200	860	222.32	229.35	227.44	229.55	0.002419	1.84	442.35	147.67	0.26
Picciano A	9	TR200	860	220.4	229.27	227.6	229.43	0.001658	1.51	498.49	166	0.2
Picciano A		Mult Open										
Picciano A	8	TR200	860	220.4	229.09	227.6	229.26	0.002	1.63	467.89	161.49	0.21
Picciano A	7	TR200	860	220.26	228.77	226.16	228.96	0.003176	2.04	439.34	140.96	0.29
Picciano A	6	TR200	860	218.78	228.47	224.46	228.56	0.001468	1.37	637.28	163.95	0.2
Picciano A	5	TR200	860	218.38	228.06	224.76	228.27	0.003176	2.09	429.04	126.77	0.29
Picciano A	4	TR200	860	218.12	227.52	223.98	227.68	0.002392	1.77	499.26	133.43	0.25
Picciano A	3	TR200	860	217.14	227.16	223.49	227.33	0.002368	1.87	479.66	135.91	0.25
Picciano A		Bridge										
Picciano A	2	TR200	860	217.14	225.71	223.49	226.52	0.009624	4	214.82	90.69	0.51
Picciano A	1	TR200	860	216.09	225.37	223.06	225.7	0.006009	2.59	343.08	113.74	0.39

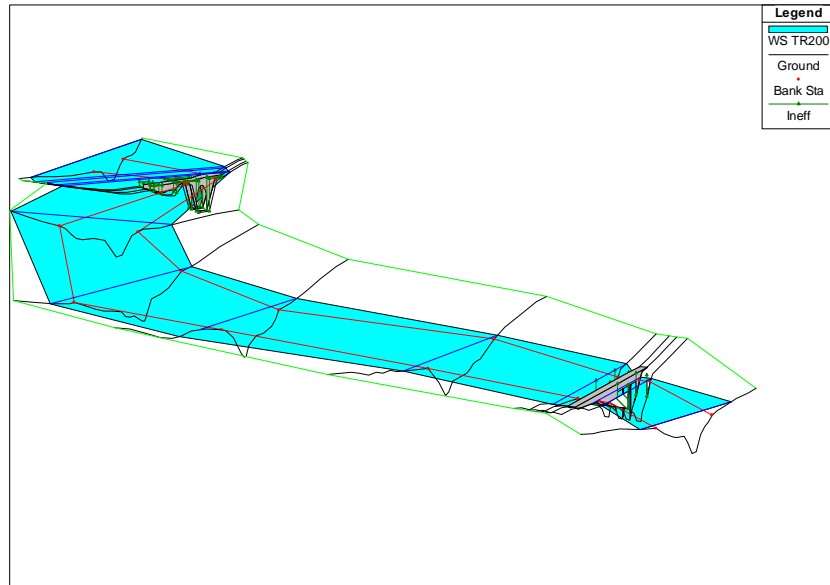


Figura 17 - Vista tridimensionale delle aree inondate con portata duecentennale.

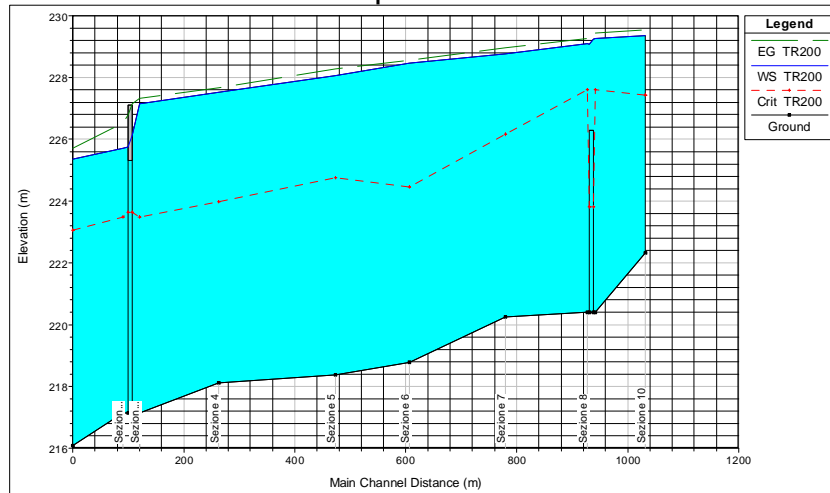


Figura 18 - Profilo longitudinale del tirante di moto permanente associato alla portata duecentennale.

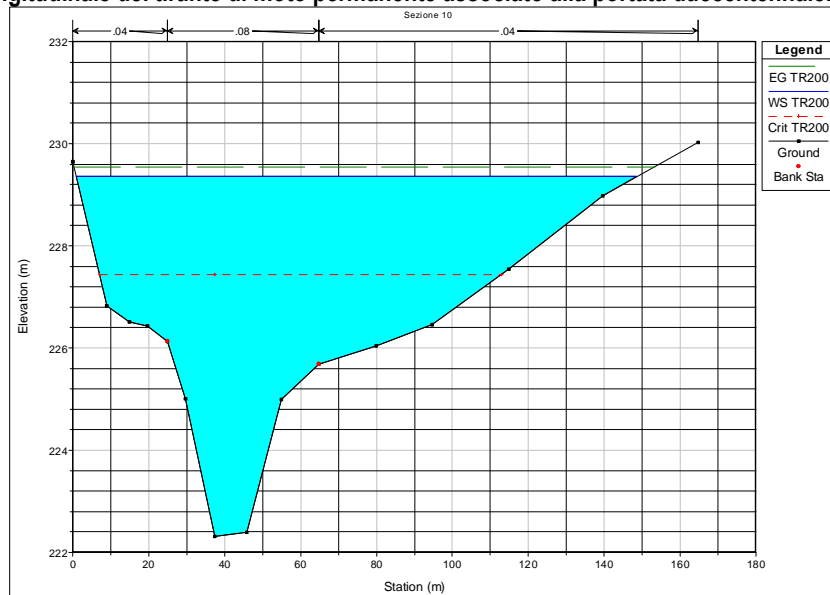


Figura 19 – Sezione 10. TR200.

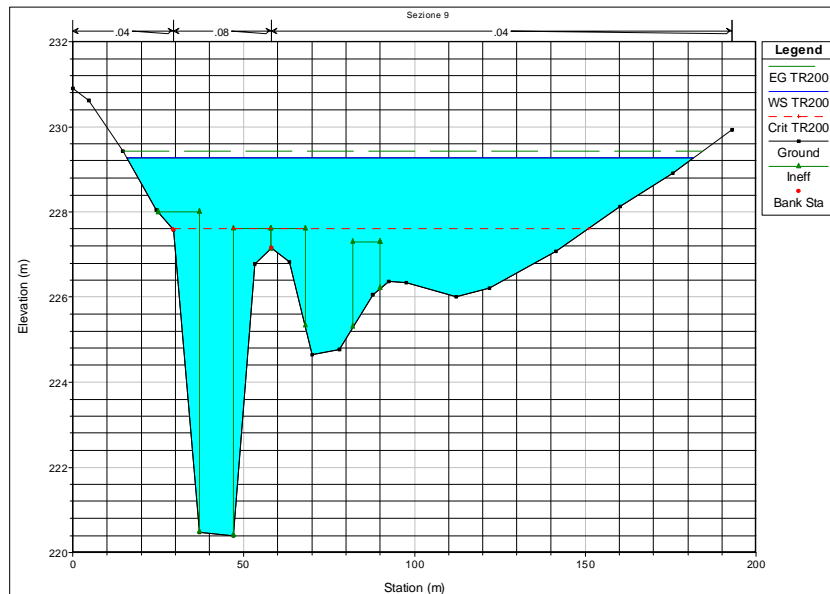


Figura 20– Sezione 9. TR200.

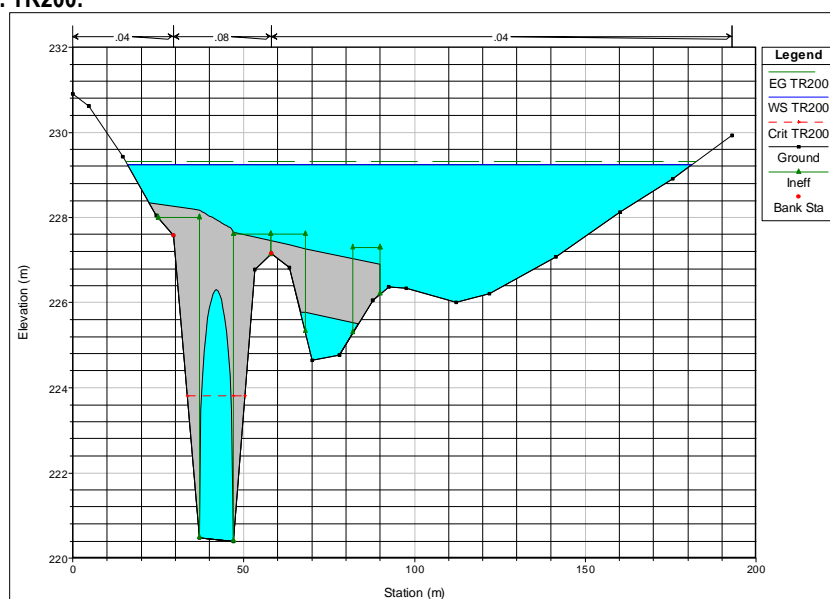


Figura 21 – Sezione ponte monte. TR200.

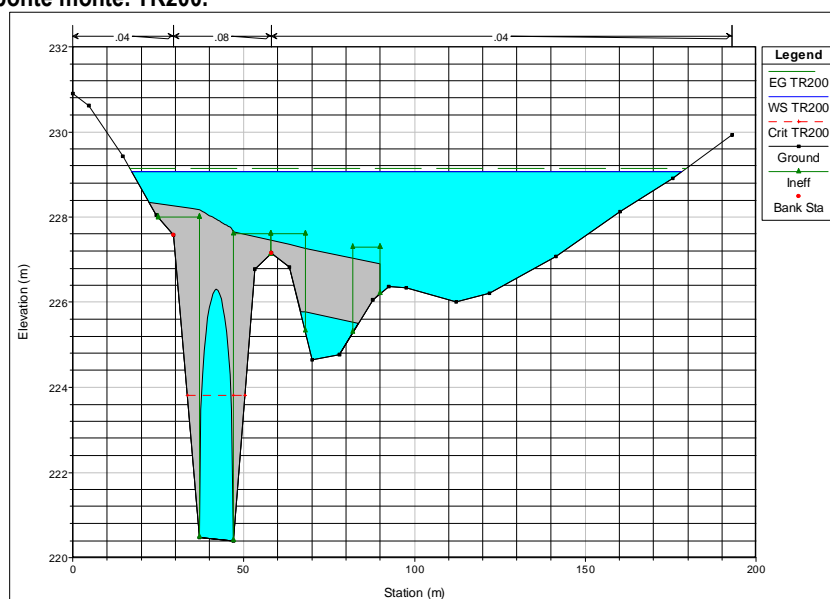


Figura 22 – Sezione ponte valle. TR200.

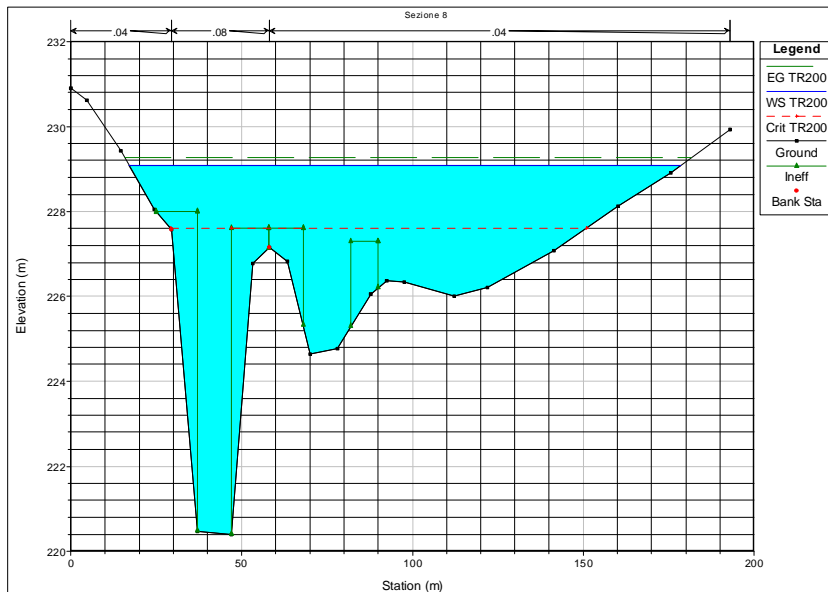


Figura 23 – Sezione 8. TR200.

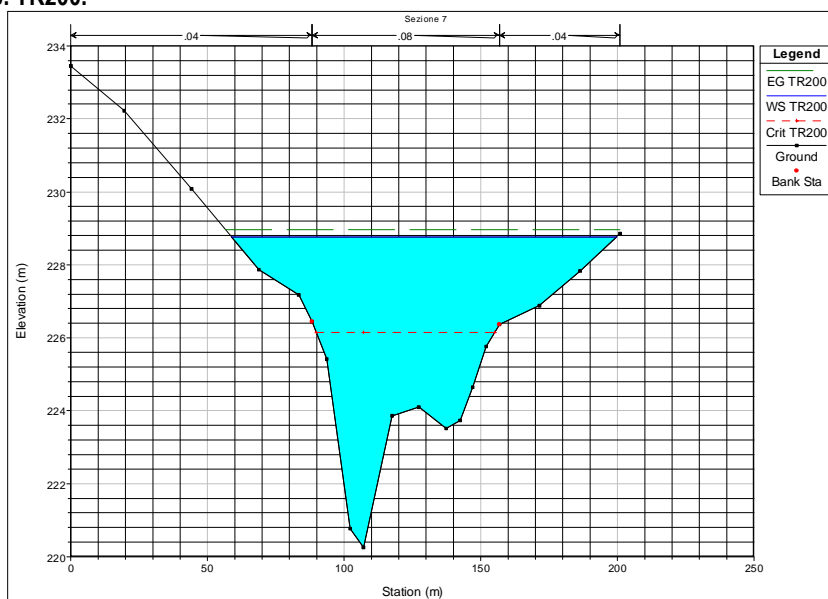


Figura 24 – Sezione 7. TR200.

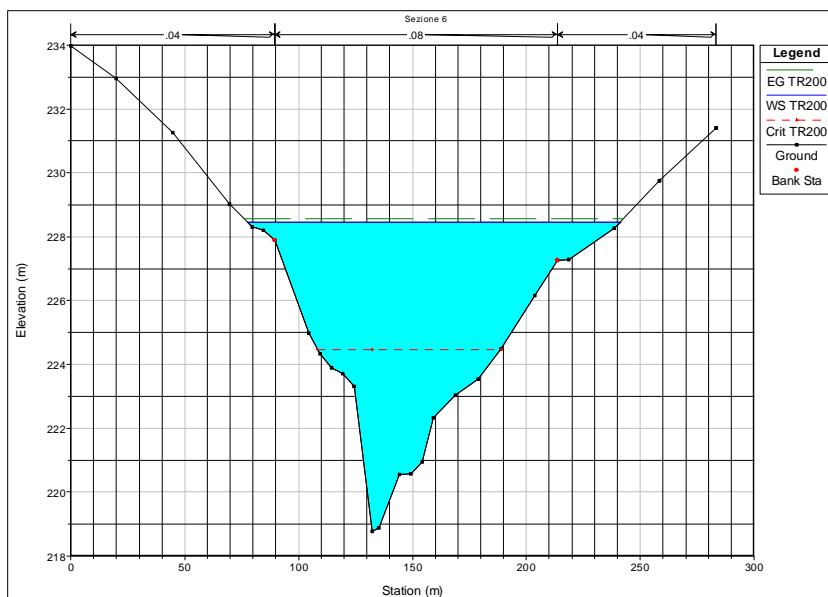


Figura 25 – Sezione 6. TR200.

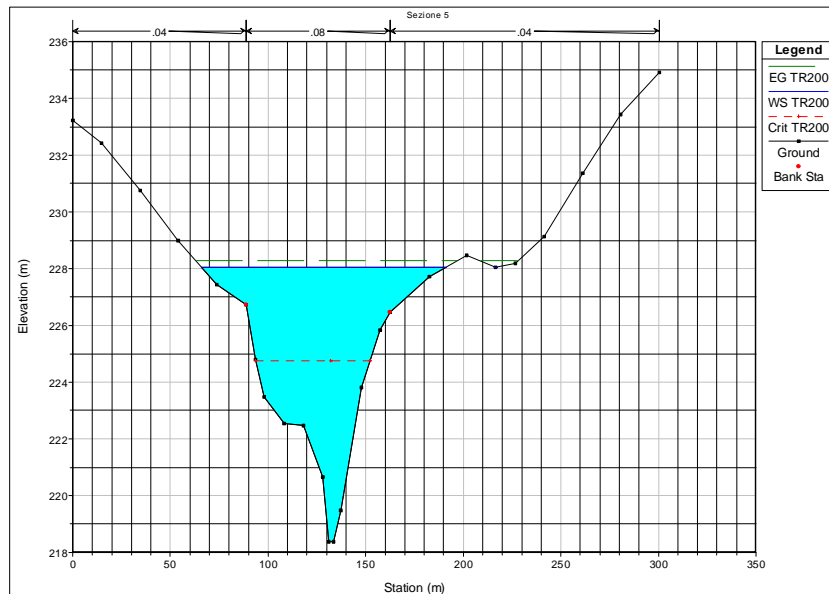


Figura 26 – Sezione 5. TR200.

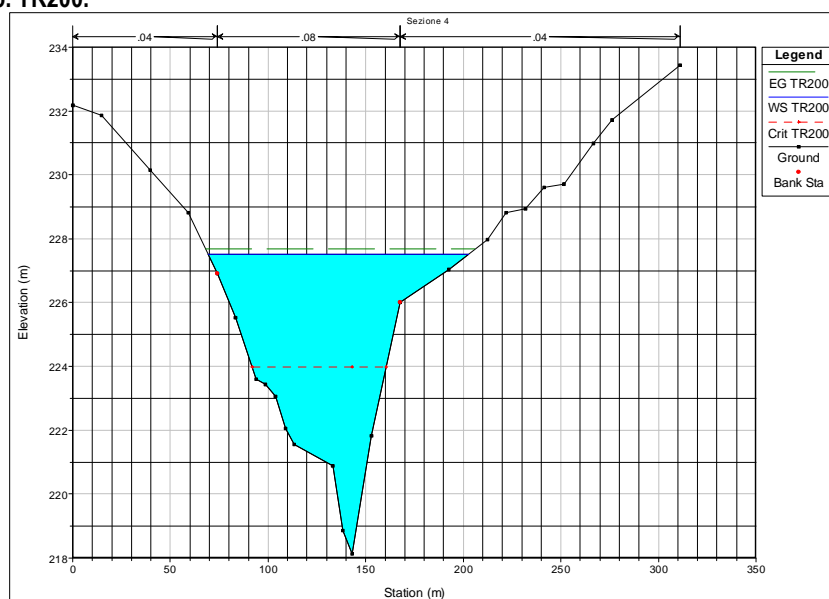


Figura 27 – Sezione 4. TR200.

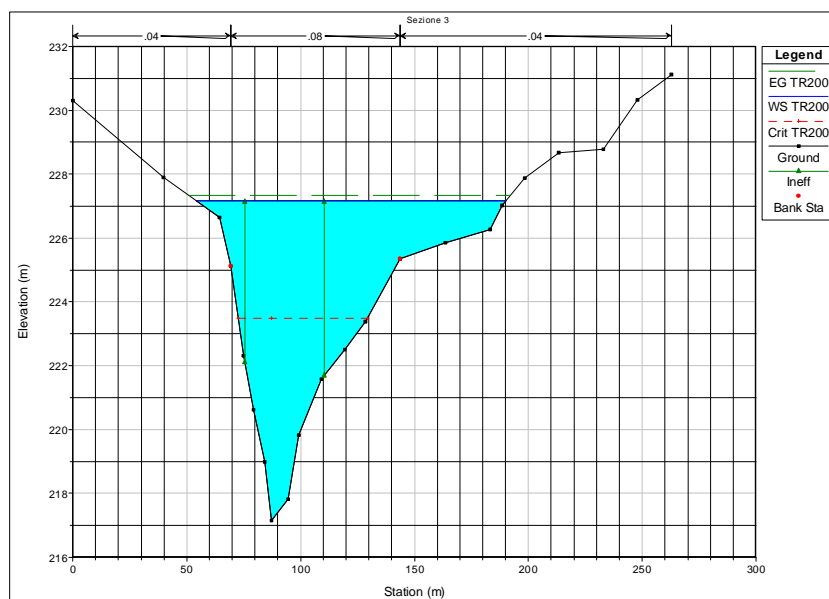


Figura 28 – Sezione 3. TR200.

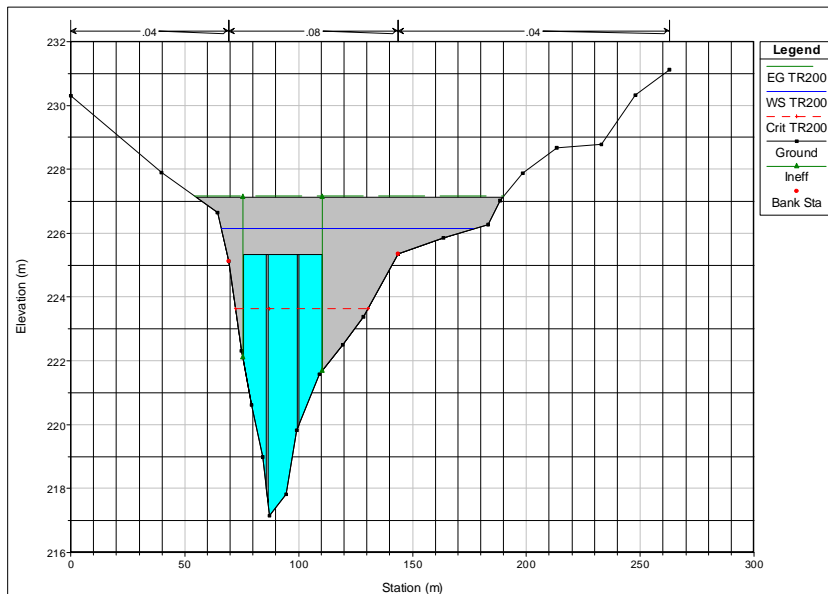


Figura 29 – Sezione ponte monte. TR200.

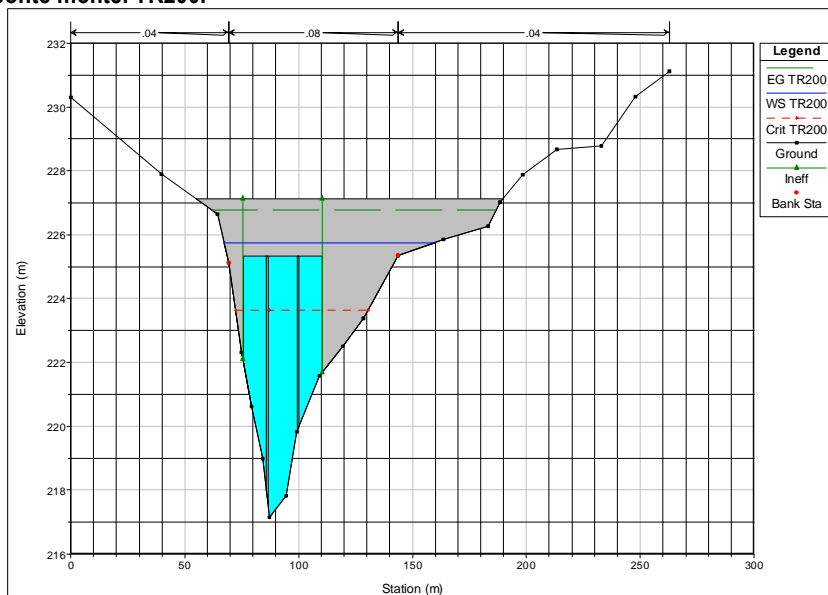


Figura 30 – Sezione ponte valle. TR200.

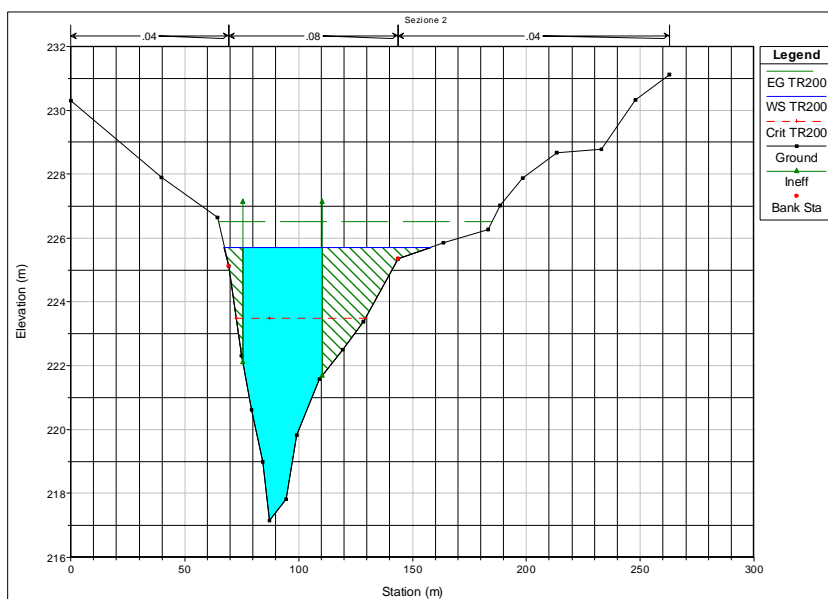


Figura 31 – Sezione 2. TR200.

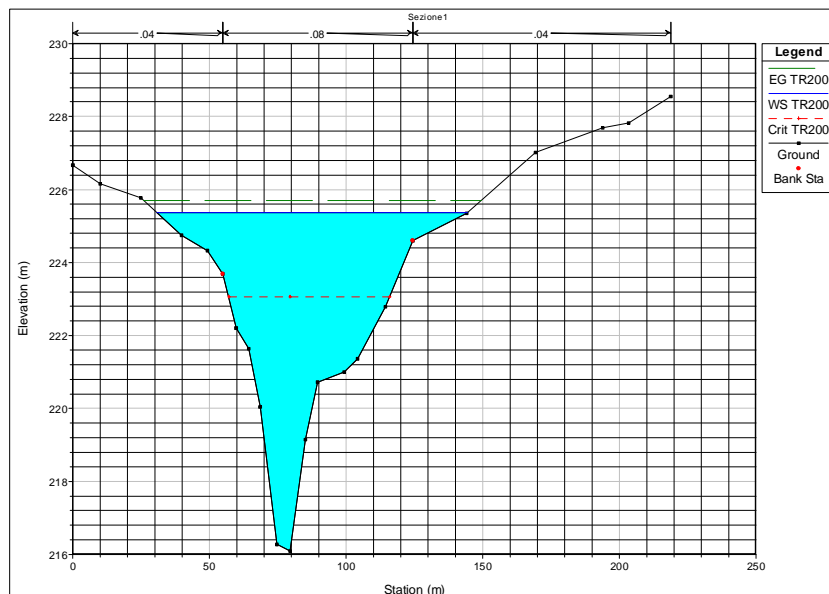


Figura 32 – Sezione 1. TR200.

TR500

Tabella 3 - Risultati delle simulazioni. TR500.

Reach	River Sta	Profile	Q Total (m ³ /s)	Min Ch El (m)	W.S. Elev (m)	Crit W.S. (m)	E.G. Elev (m)	E.G. Slope (m/m)	Vel Chnl (m/s)	Flow Area (m ²)	Top Width (m)	Froude # Chl
Picciano A	10	TR500	1026	222.32	229.81	227.68	230.01	0.002265	1.88	511.85	159.56	0.25
Picciano A	9	TR500	1026	220.4	229.74	227.62	229.91	0.001527	1.53	578.18	177.59	0.19
Picciano A		Mult Open										
Picciano A	8	TR500	1026	220.4	229.61	227.62	229.79	0.001709	1.59	556.3	174.43	0.2
Picciano A	7	TR500	1026	220.26	229.35	226.54	229.55	0.002648	2	524	148.65	0.27
Picciano A	6	TR500	1026	218.78	229.09	224.79	229.19	0.001332	1.42	744.19	180.81	0.19
Picciano A	5	TR500	1026	218.38	228.73	225.15	228.93	0.002636	2.06	536.71	177.56	0.27
Picciano A	4	TR500	1026	218.12	228.3	224.32	228.45	0.001905	1.74	611.47	152.83	0.23
Picciano A	3	TR500	1026	217.14	228.03	223.99	228.18	0.001731	1.76	610.21	163.85	0.22
Picciano A		Bridge										
Picciano A	2	TR500	1026	217.14	226.02	223.99	227.07	0.011614	4.55	225.73	105.17	0.57
Picciano A	1	TR500	1026	216.09	225.77	223.46	226.14	0.006006	2.74	390.96	125.65	0.39

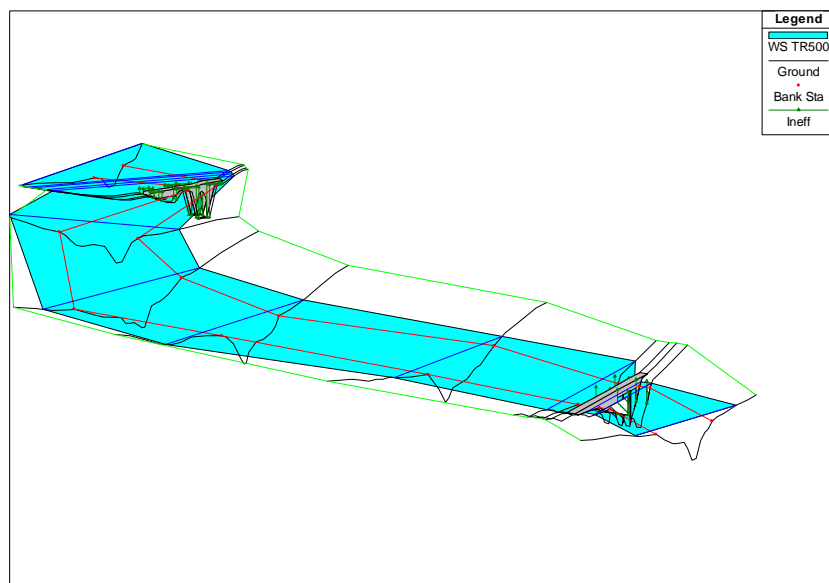


Figura 33 - Vista tridimensionale delle aree inondate con portata cinquecentennale.

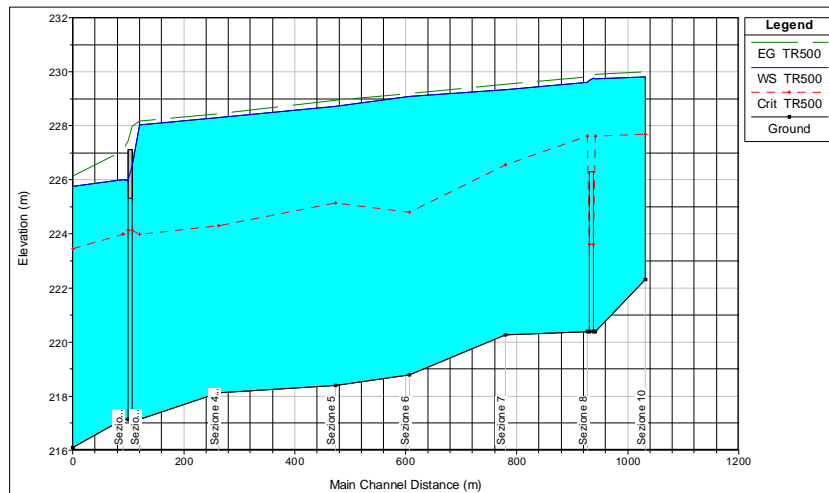


Figura 34 - Profilo longitudinale del tirante di moto permanente associato alla portata cinquecentennale.

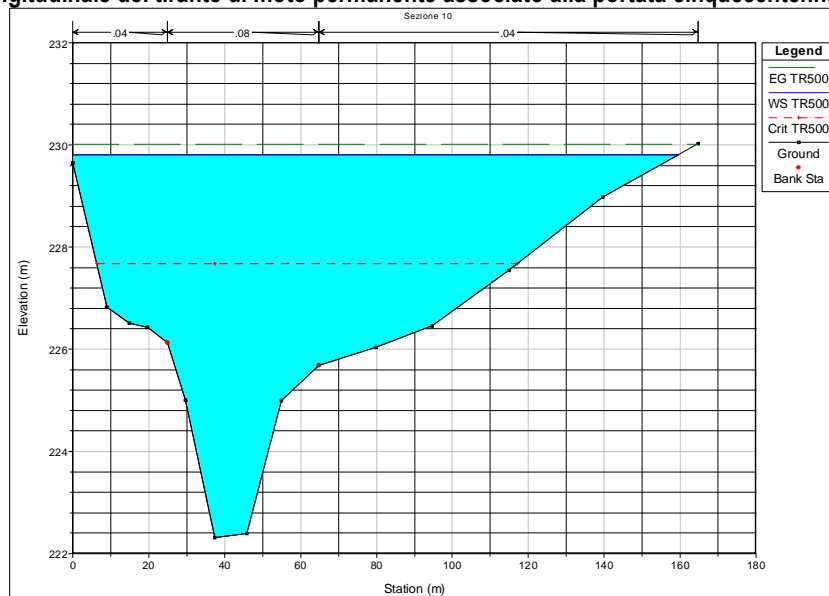


Figura 35 – Sezione 10. TR500.

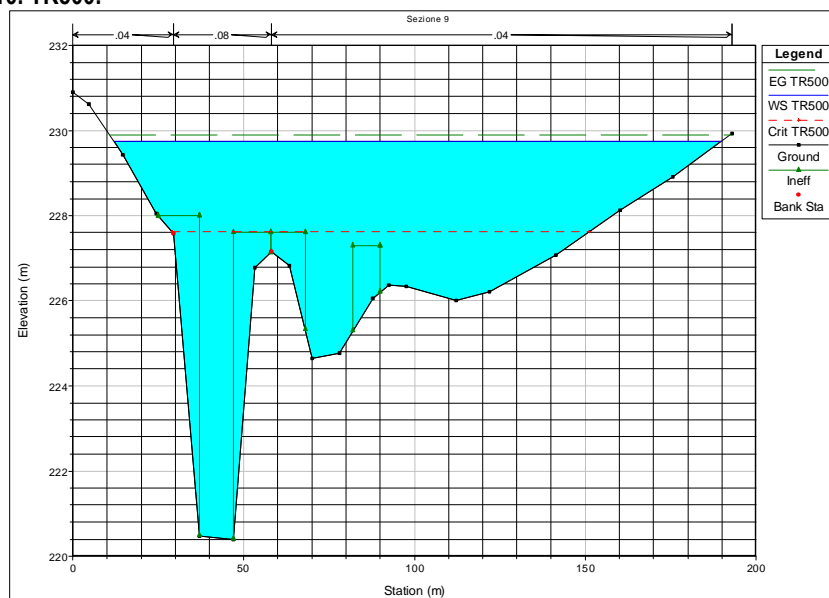


Figura 36– Sezione 9. TR500.

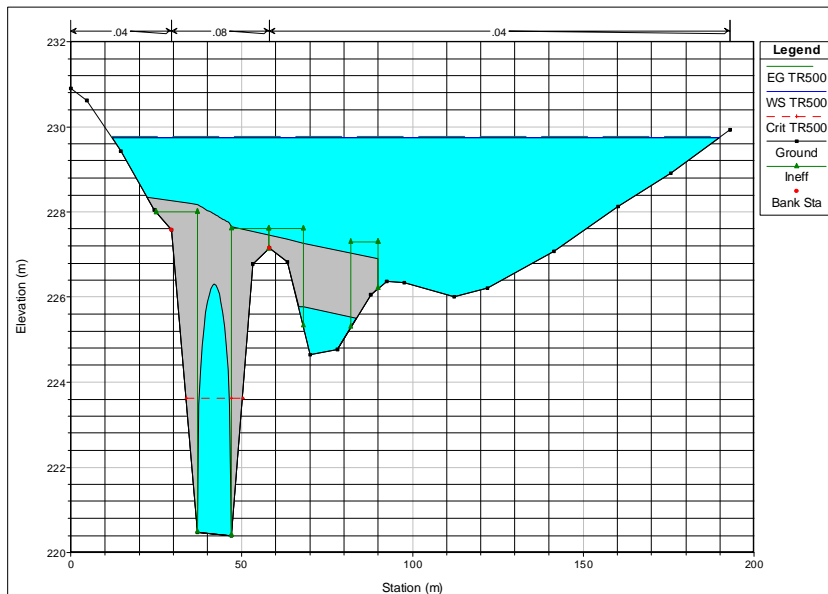


Figura 37 – Sezione ponte monte. TR500.

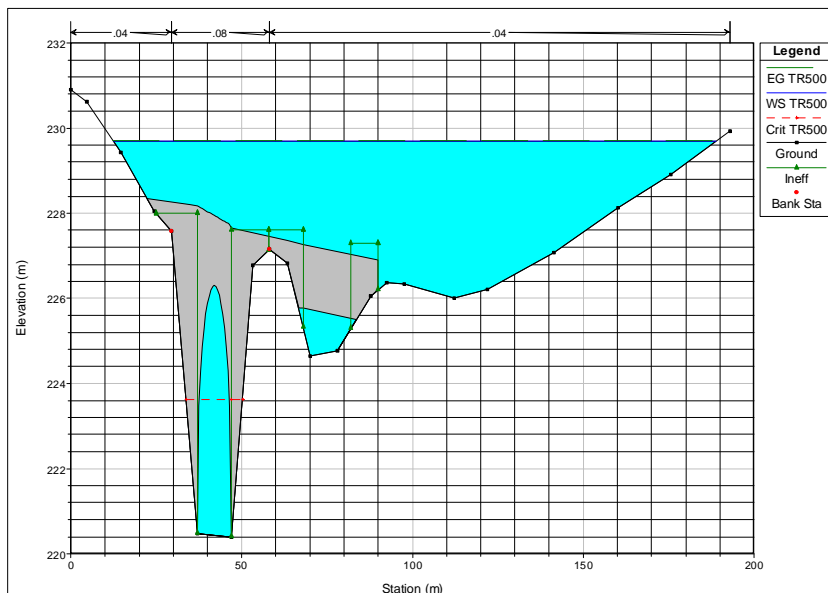


Figura 38– Sezione ponte valle. TR500.

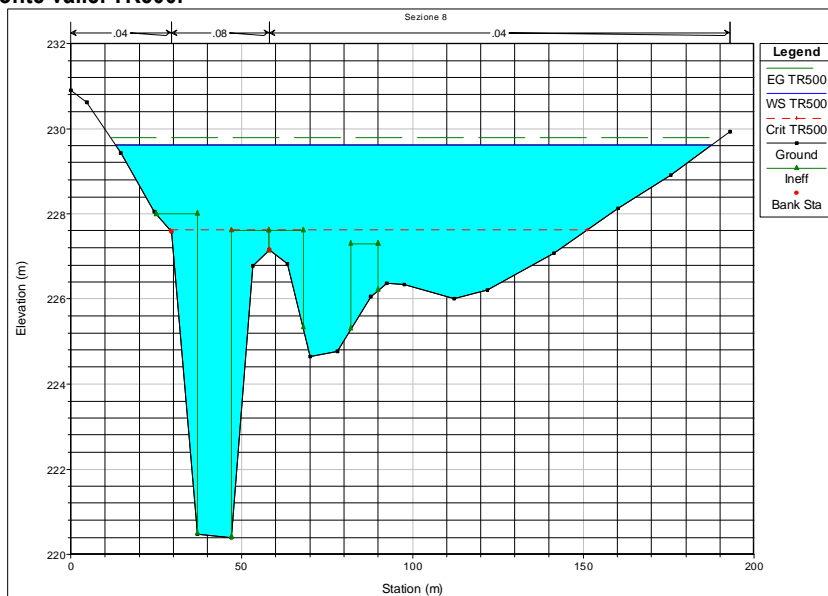


Figura 39 – Sezione 8. TR500.

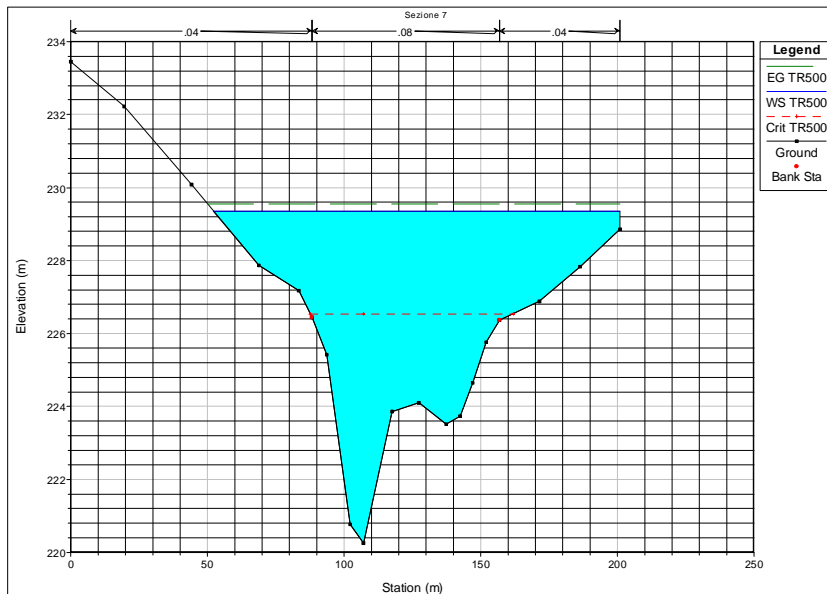


Figura 40– Sezione 7. TR500.

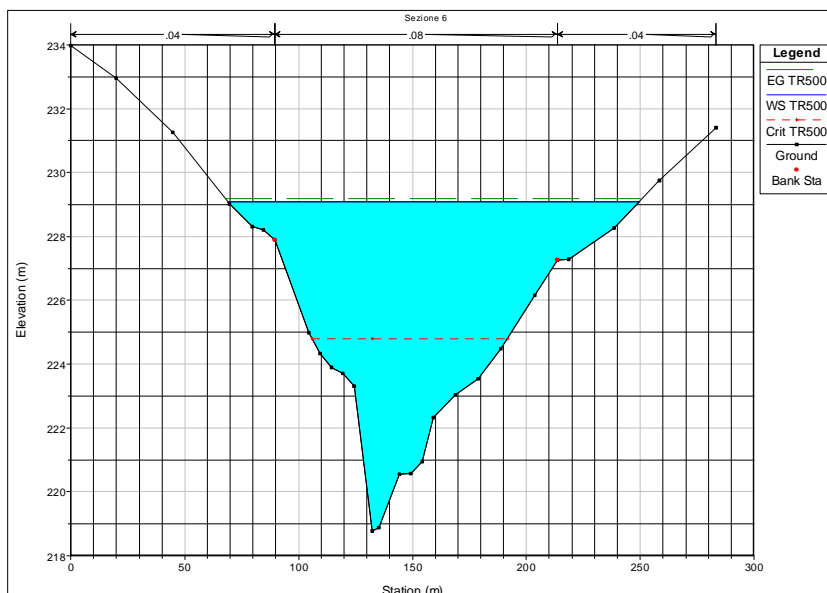


Figura 41 – Sezione 6. TR500.

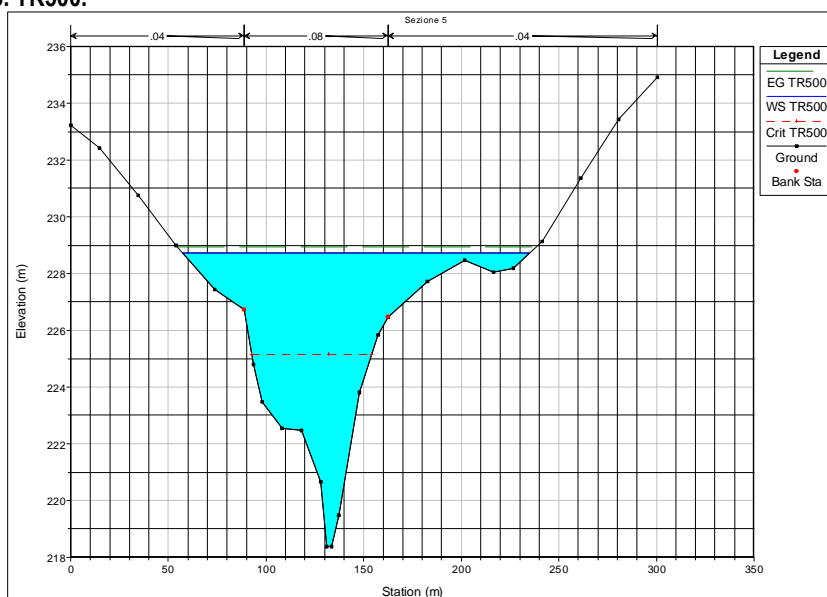


Figura 42 – Sezione 5. TR500.

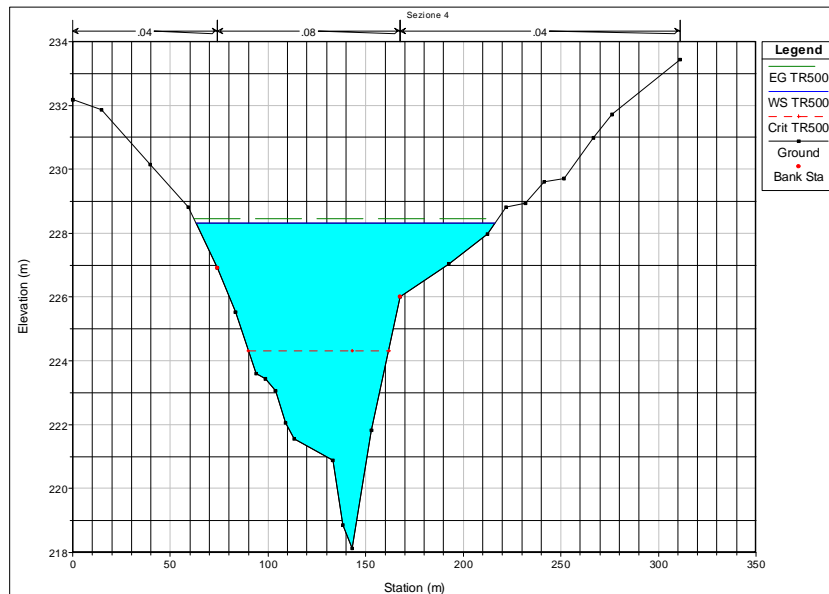


Figura 43 – Sezione 4. TR500.

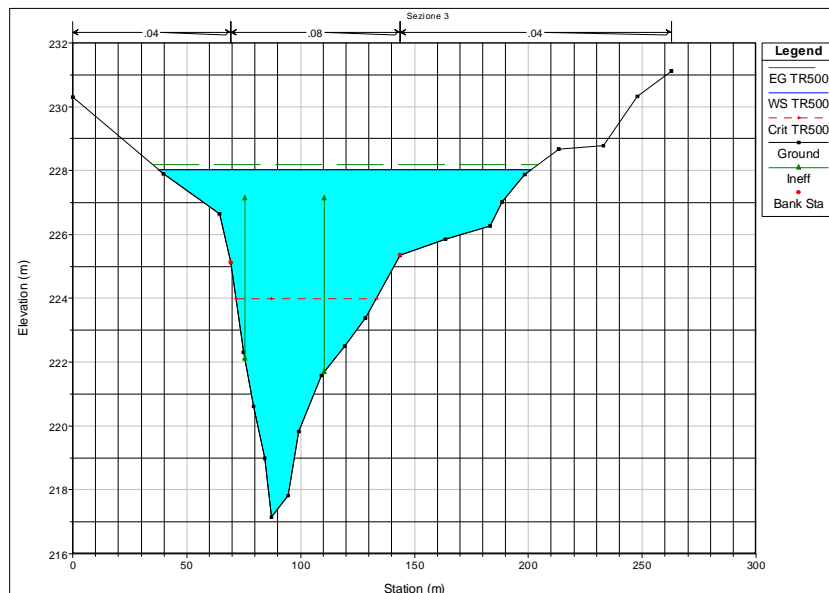


Figura 44 – Sezione 3. TR500.

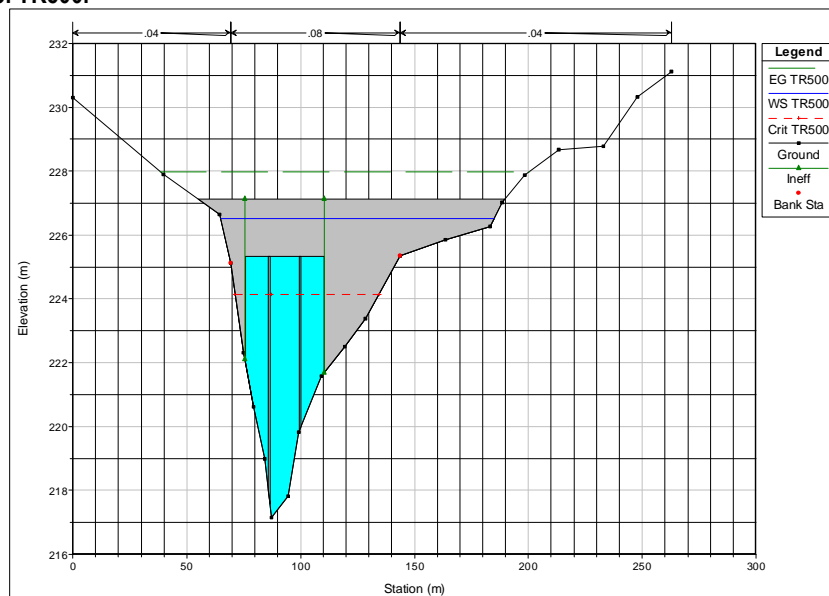


Figura 45 – Sezione ponte monte. TR500.

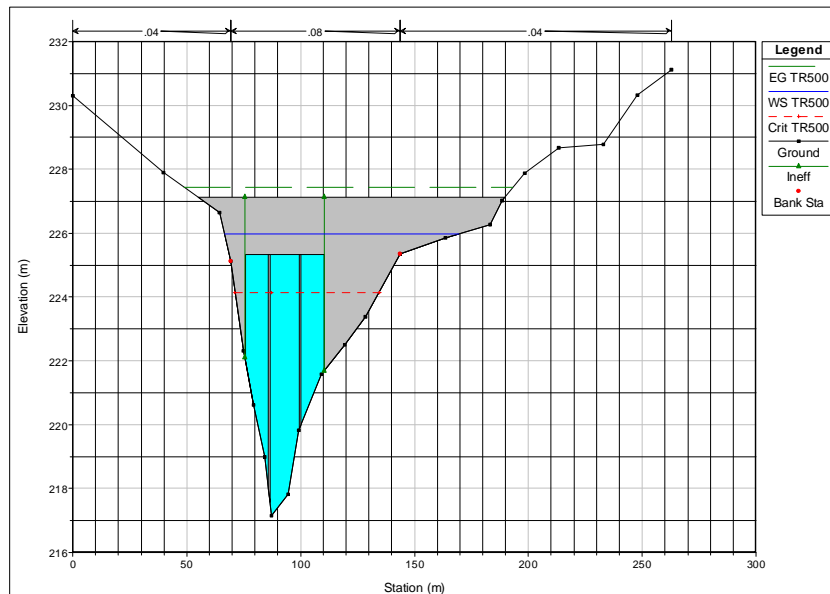


Figura 46 – Sezione ponte valle. TR500.

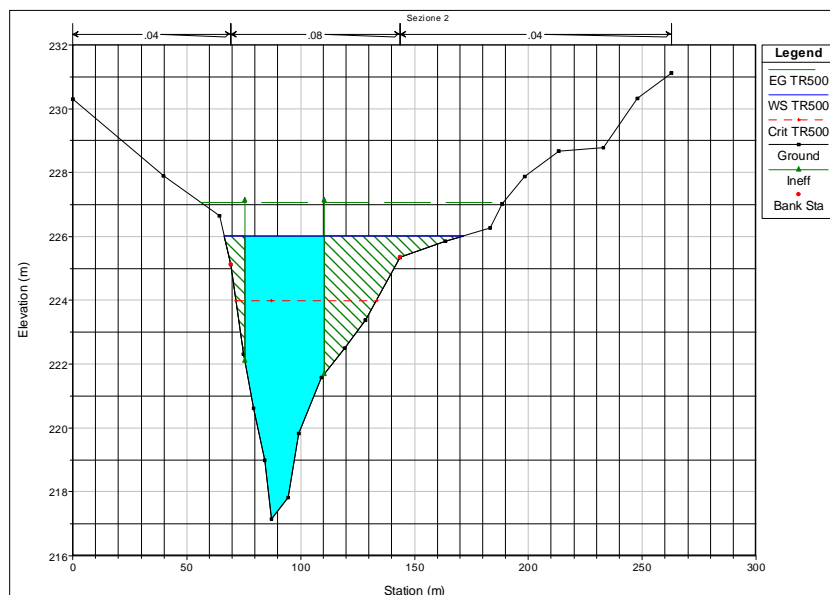


Figura 47 – Sezione 2. TR500.

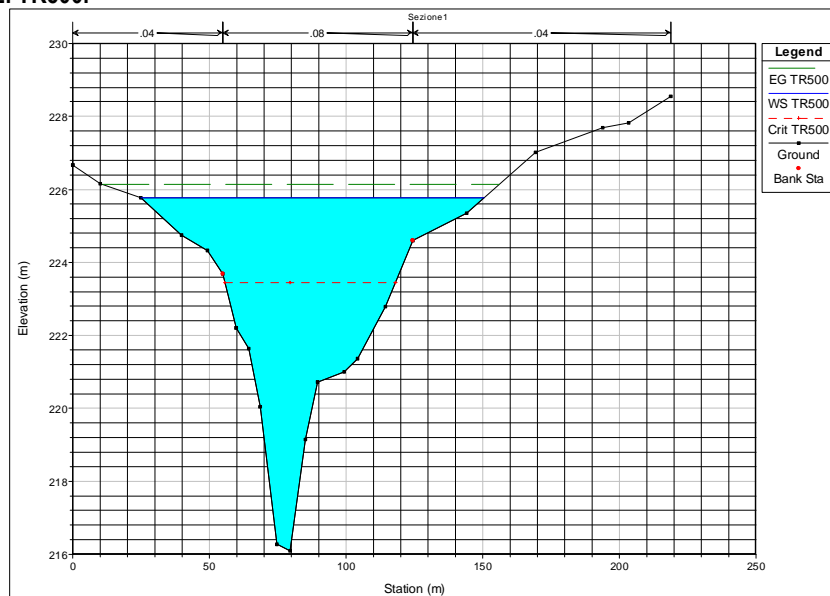


Figura 48 – Sezione 1. TR500.

**ALLEGATO
RISULTATI DELLE SIMULAZIONI
FOSSO MASS.^A DRAGONE**

TR30

Tabella 1 - Risultati delle simulazioni. TR30.

Reach	River Sta	Profile	Q Total (m ³ /s)	Min Ch El (m)	W.S. El (m)	Crit W.S. (m)	E.G. Elev (m)	E.G. Slope (m/m)	Vel Chnl (m/s)	Flow Area (m ²)	Top Width (m)	Froude # Ch
Mass a Dragone	5	TR30	21	232.67	234.1	233.7	234.14	0.002491	0.93	24.36	67.37	0.37
Mass a Dragone	4	TR30	21	231.56	234.08	232.57	234.09	0.000247	0.48	57.73	106.5	0.13
		Culvert										
Mass a Dragone	3	TR30	21	231.56	232.57	232.57	232.94	0.018398	2.7	7.79	10.65	1.01
Mass a Dragone	2	TR30	21	227.33	228.09	228.22	228.51	0.047817	3.08	8.41	40.11	1.51
Mass a Dragone	1	TR30	21	221.1	226	222.3	226	0.000024	0.28	89.05	37.88	0.05

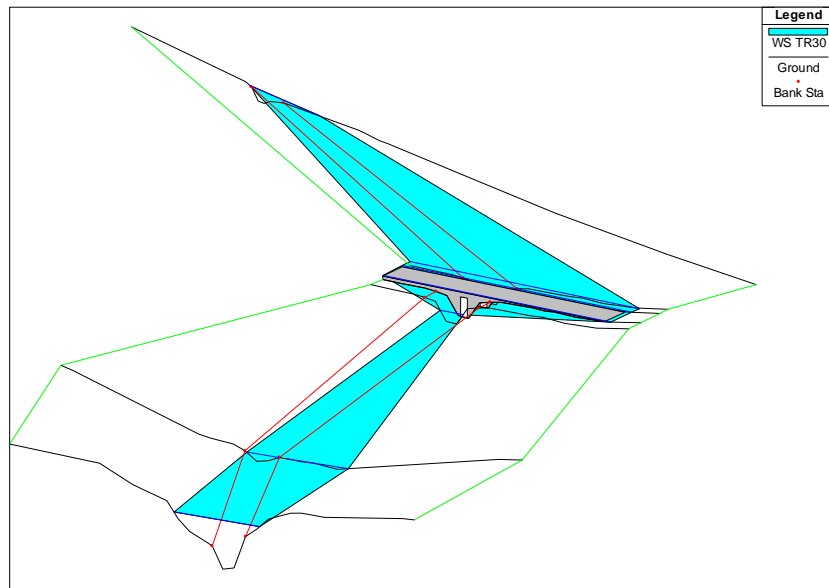


Figura 1 - Vista tridimensionale delle aree inondate con portata trentennale.

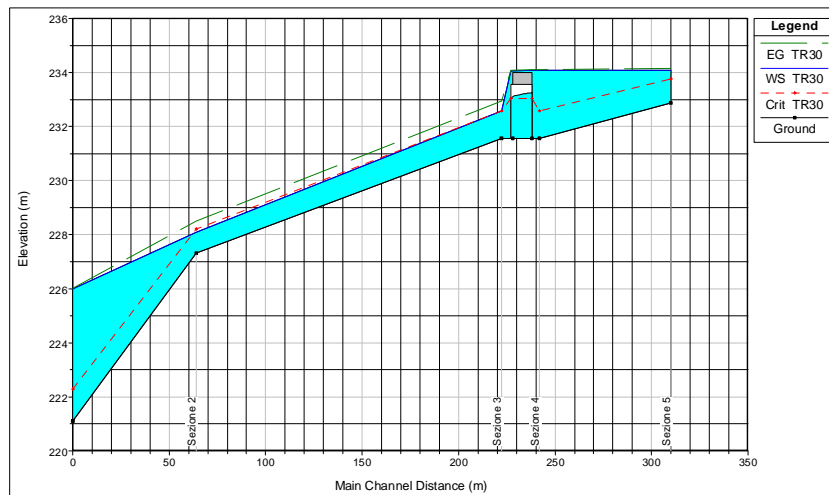


Figura 2 - Profilo longitudinale del tirante di moto permanente associato alla portata trentennale.

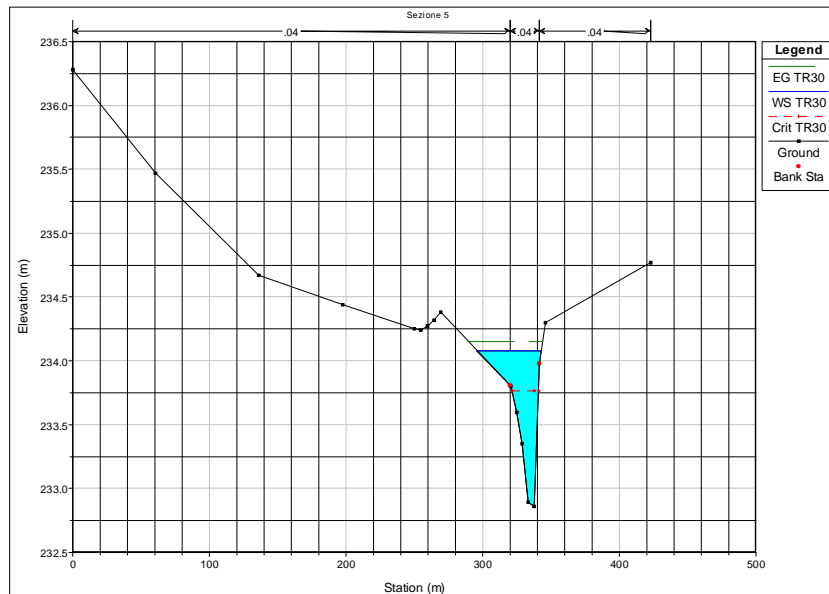


Figura 3 – Sezione 5. TR30.

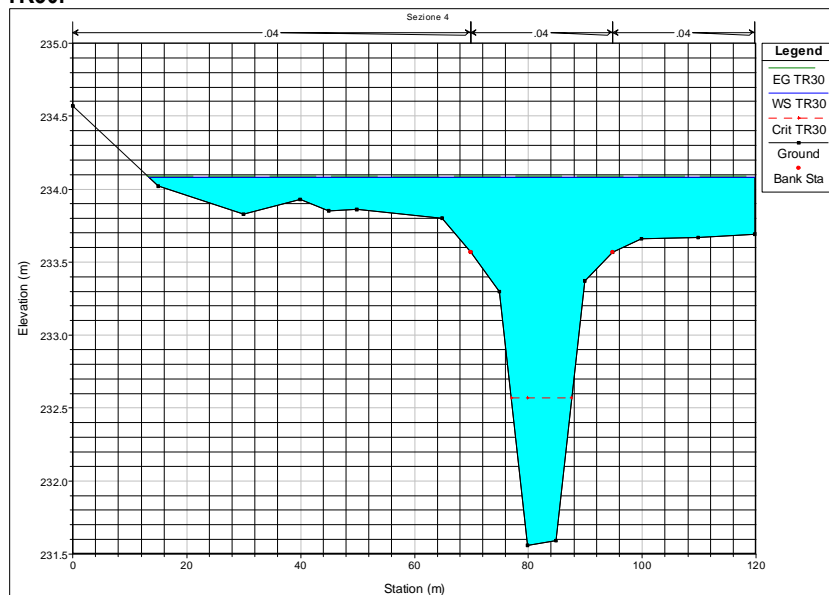


Figura 4 – Sezione 4. TR30.

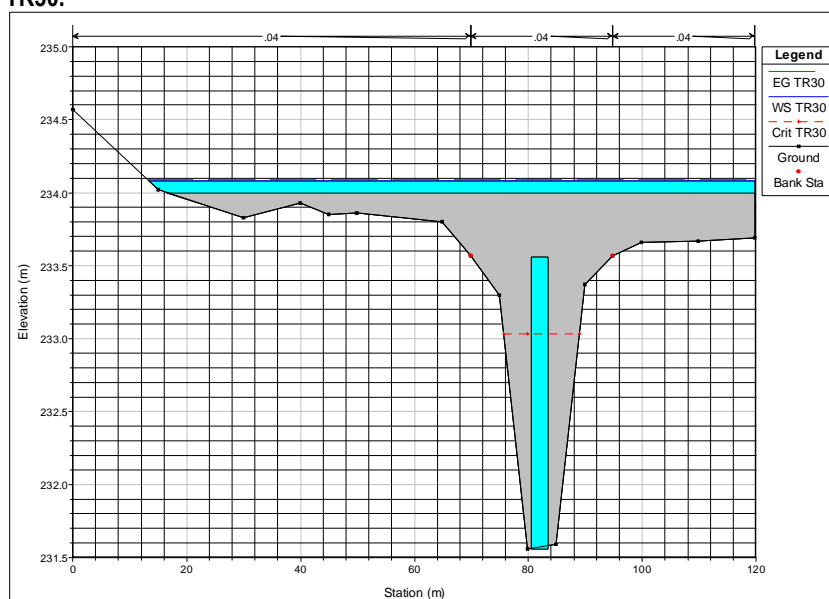


Figura 5– Sezione tombino monte. TR30.

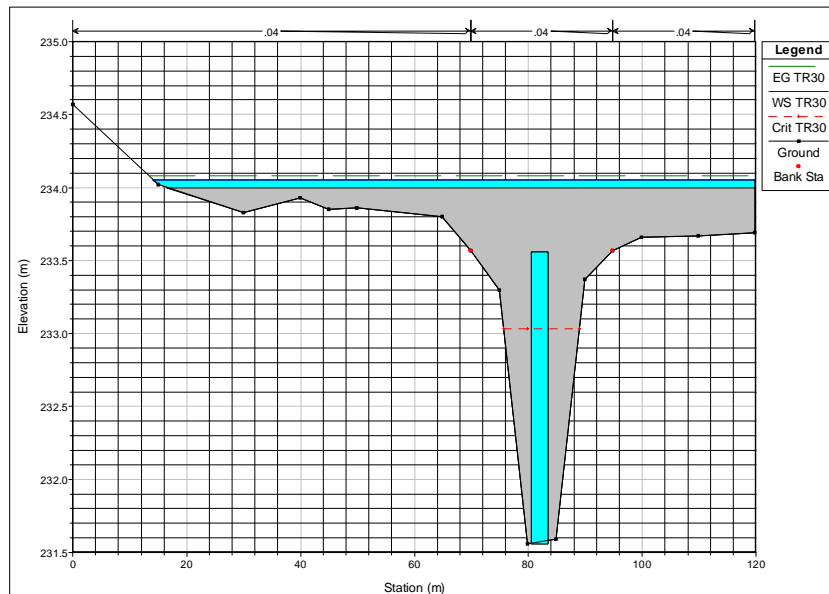


Figura 6 – Sezione tombino valle. TR30.

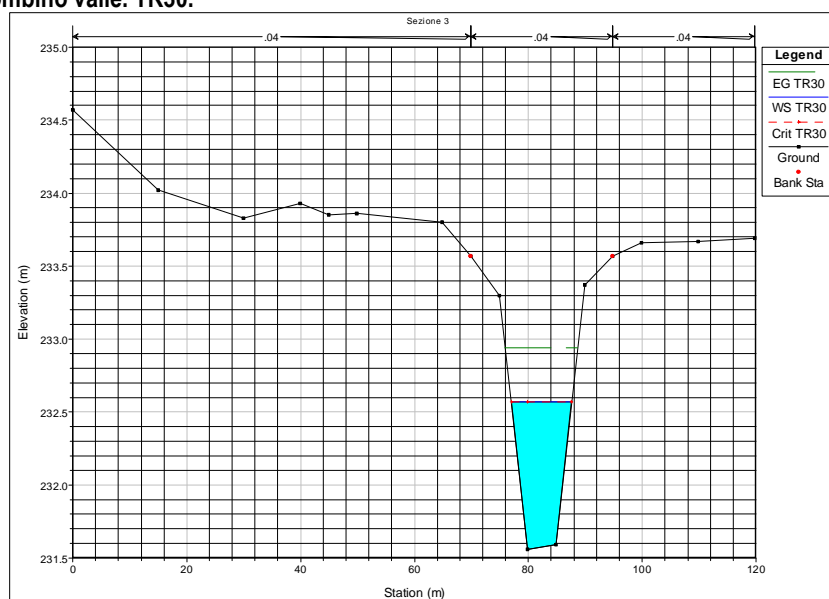


Figura 7 – Sezione 3. TR30.

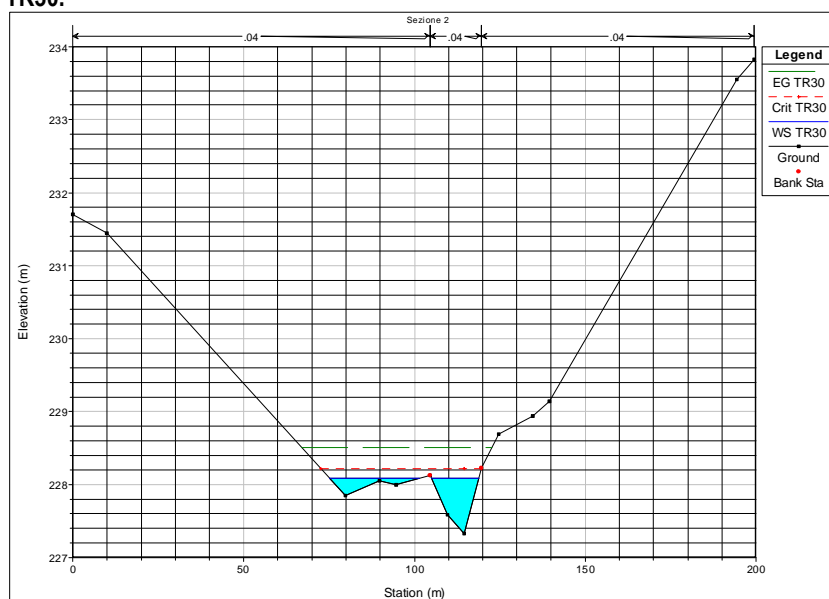


Figura 8 – Sezione 2. TR30.

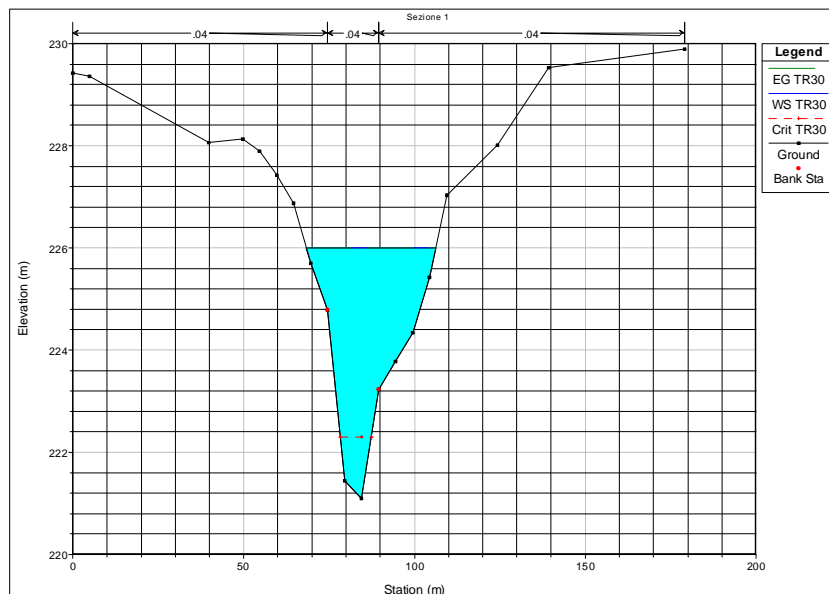


Figura 9 – Sezione 1. TR30.

TR200

Tabella 2 - Risultati delle simulazioni. TR200.

Reach	River Sta	Profile	Q Total (m ³ /s)	Min Ch El (m)	W.S. El (m)	Crit W.S. (m)	E.G. Elev (m)	E.G. Slope (m/m)	Vel Chnl (m/s)	Flow Area (m ²)	Top Width (m)	Froude # Chl
Mass a Dragone	5	TR200	38	232.67	234.27	233.93	234.33	0.002917	1.18	39.55	95.56	0.42
Mass a Dragone	4	TR200	38	231.56	234.24	232.96	234.26	0.000442	0.7	74.93	110.81	0.18
		Culvert										
Mass a Dragone	3	TR200	38	231.56	232.96	232.96	233.44	0.016894	3.09	12.31	12.83	1.01
Mass a Dragone	2	TR200	38	227.33	228.18	228.36	228.8	0.06343	3.89	12.44	45.98	1.78
Mass a Dragone	1	TR200	38	221.1	227.85	222.73	227.85	0.000015	0.29	178.11	66.67	0.04

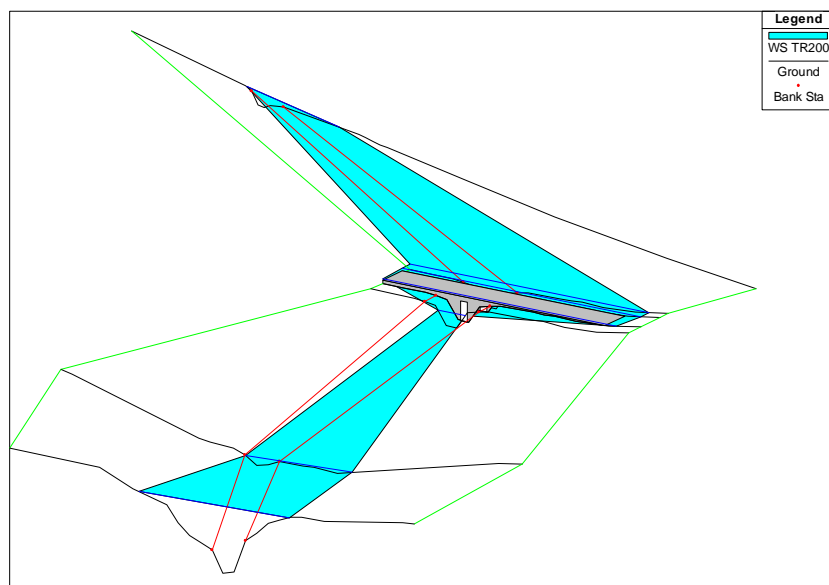


Figura 10 - Vista tridimensionale delle aree inondate con portata duecentennale.

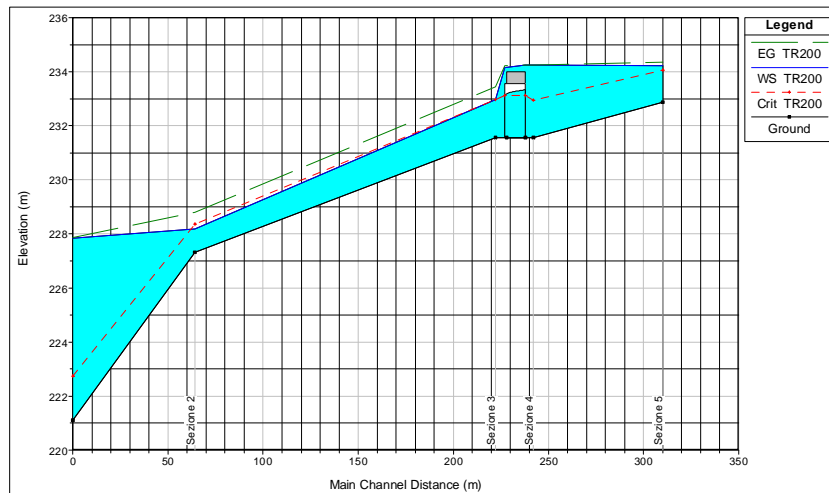


Figura 11 - Profilo longitudinale del tirante di moto permanente associato alla portata duecentennale.

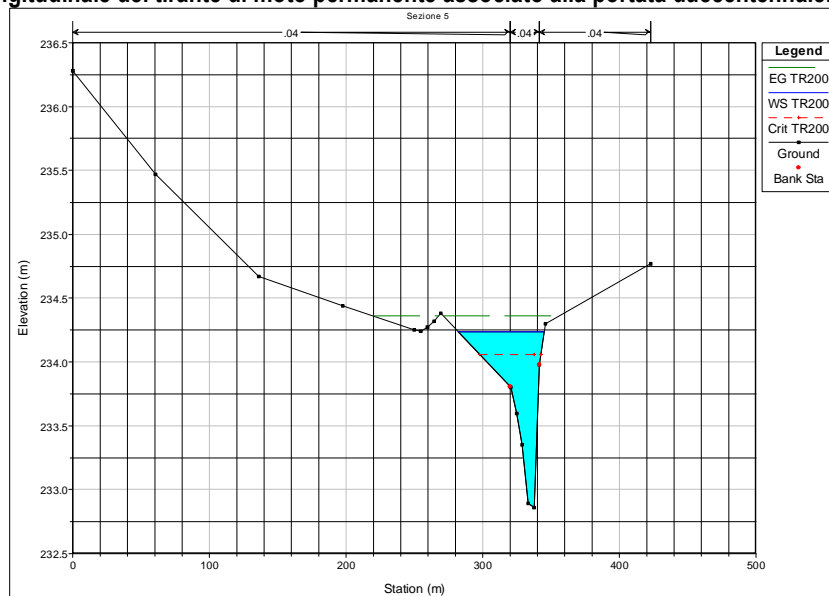


Figura 12 – Sezione 5. TR200.

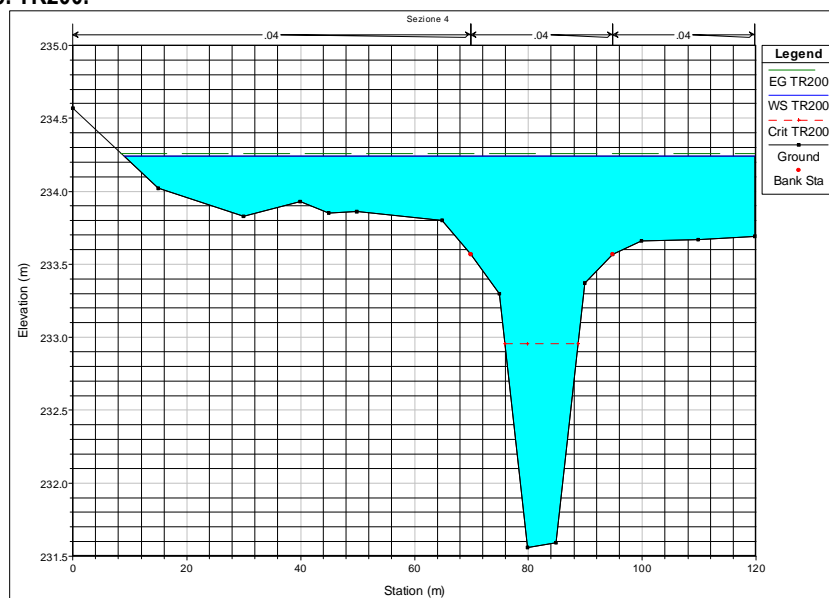


Figura 13 – Sezione 4. TR200.

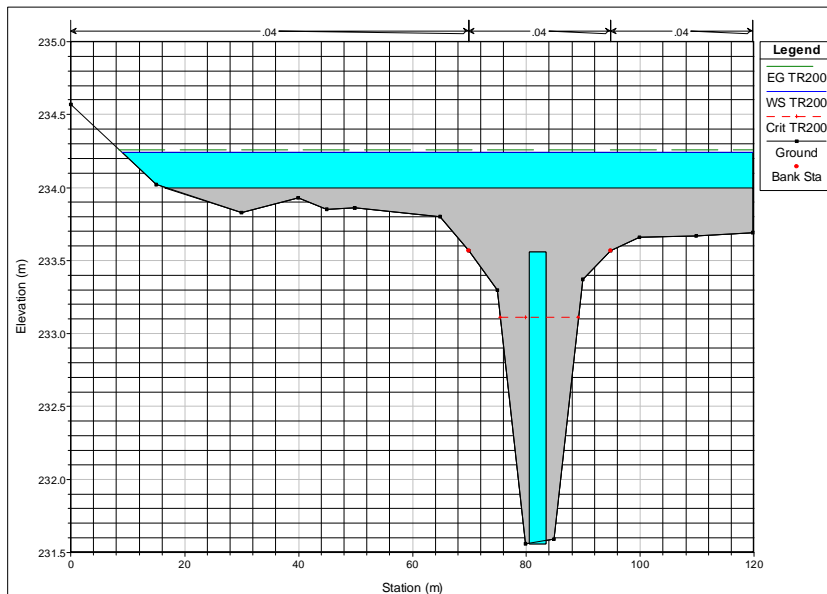


Figura 14 – Sezione tombino monte. TR200.

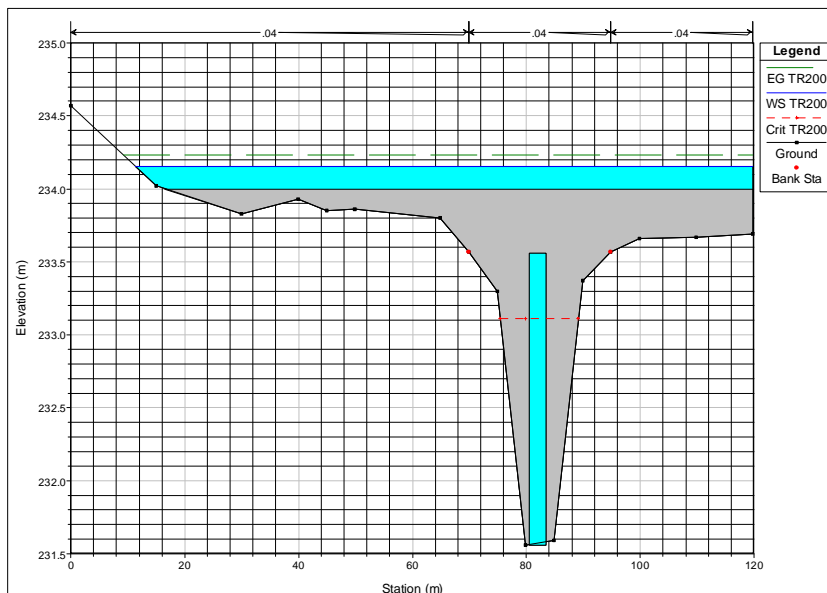


Figura 15 – Sezione tombino valle. TR200.

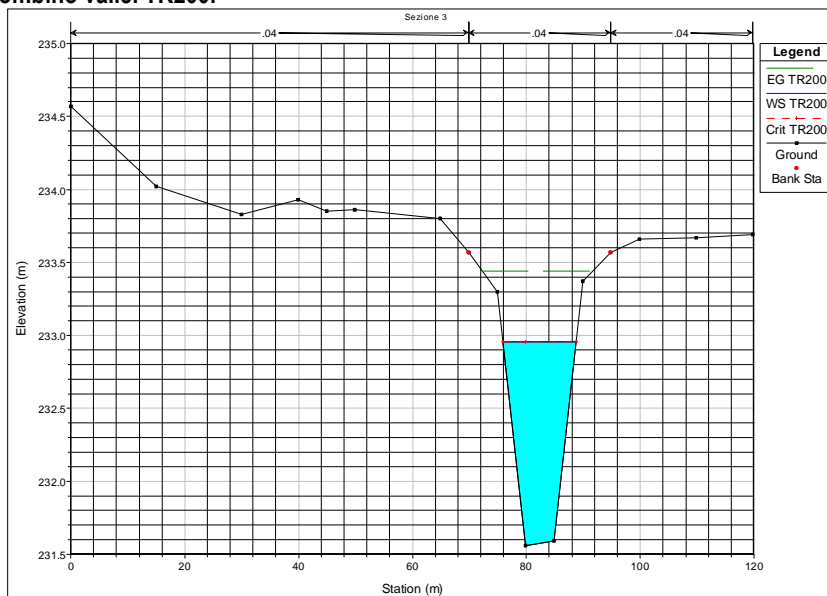


Figura 16– Sezione 3. TR200.

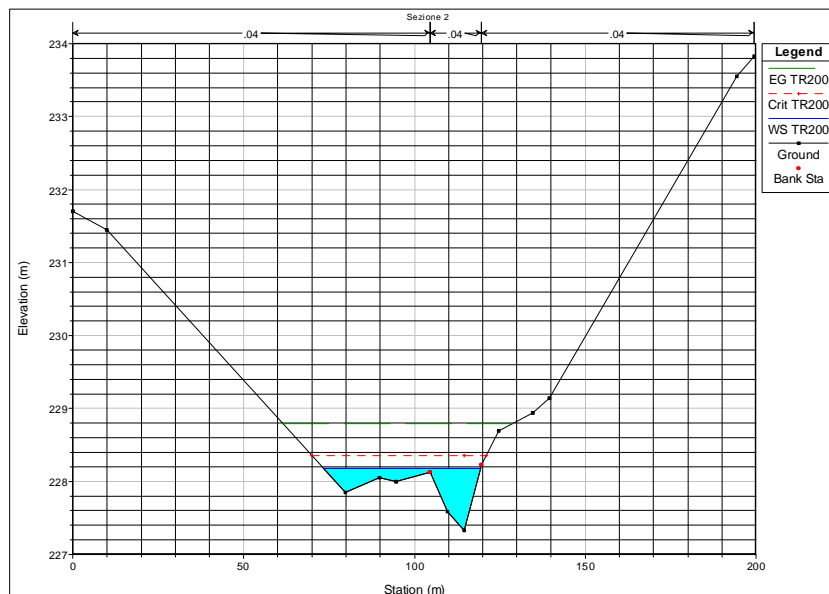


Figura 17 – Sezione 2. TR200.

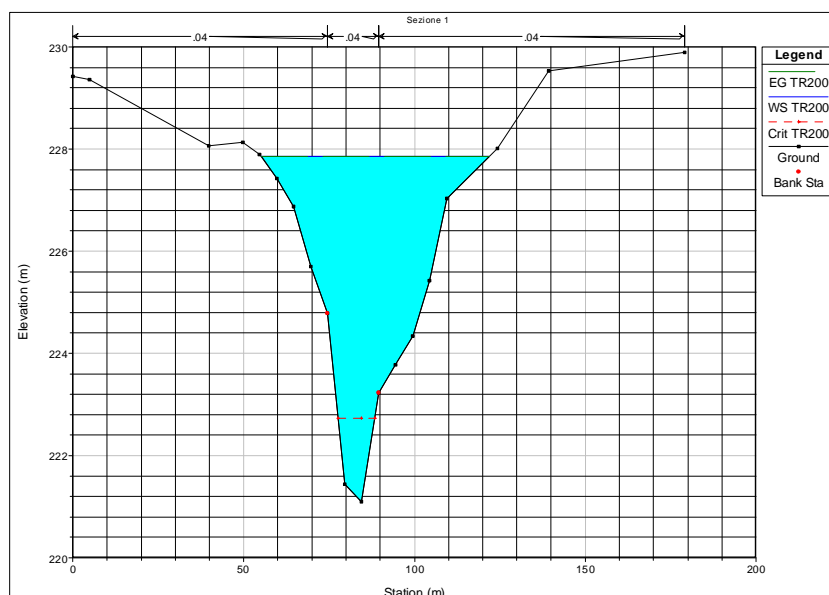


Figura 18 – Sezione 1. TR200.

TR500

Tabella 3 - Risultati delle simulazioni. TR500.

Reach	River Sta	Profile	Q Total (m ³ /s)	Min Ch El (m)	W.S. El (m)	Crit W.S. (m)	E.G. Elev (m)	E.G. Slope (m/m)	Vel Chnl (m/s)	Flow Area (m ²)	Top Width (m)	Froude # Chl
Mass a Dragone	5	TR500	50	232.67	234.37	234.12	234.44	0.002981	1.28	49.09	101.97	0.43
Mass a Dragone	4	TR500	50	231.56	234.33	233.18	234.35	0.000566	0.82	84.58	113.16	0.2
			Culvert									
Mass a Dragone	3	TR500	50	231.56	233.18	233.18	233.72	0.016188	3.27	15.27	14.08	1
Mass a Dragone	2	TR500	50	227.33	228.22	228.44	228.98	0.07333	4.38	14.47	47.07	1.93
Mass a Dragone	1	TR500	50	221.1	228.45	222.97	228.45	0.000016	0.32	228.24	99.14	0.04

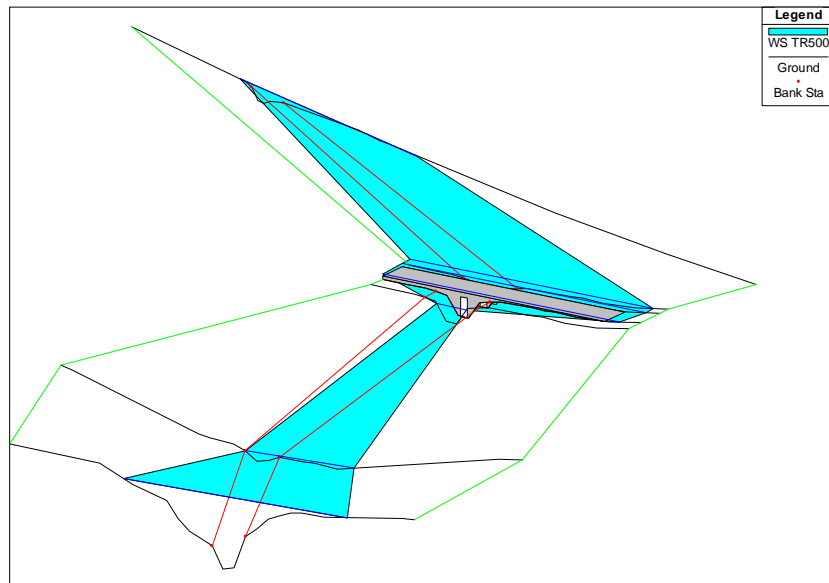


Figura 19 - Vista tridimensionale delle aree inondate con portata cinquecentennale.



Figura 20 - Profilo longitudinale del tirante di moto permanente associato alla portata cinquecentennale.

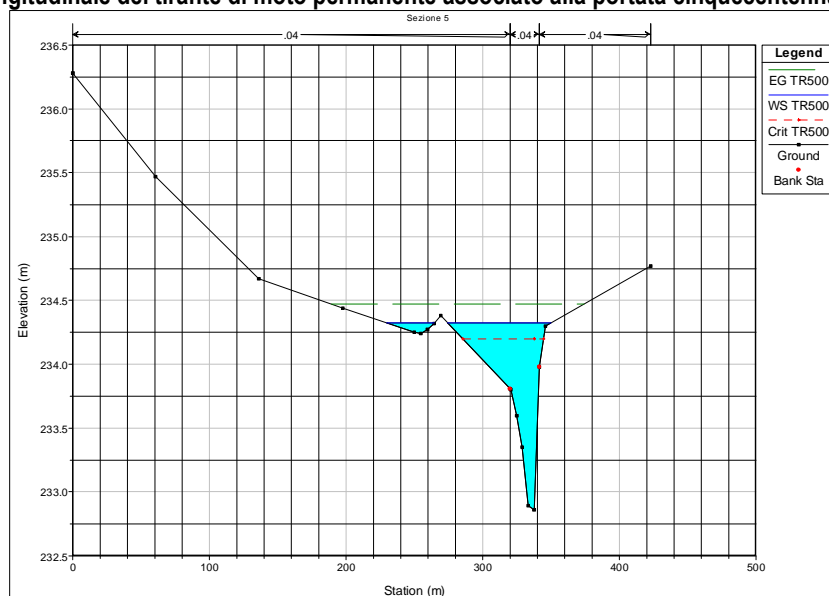


Figura 21 – Sezione 5. TR500.

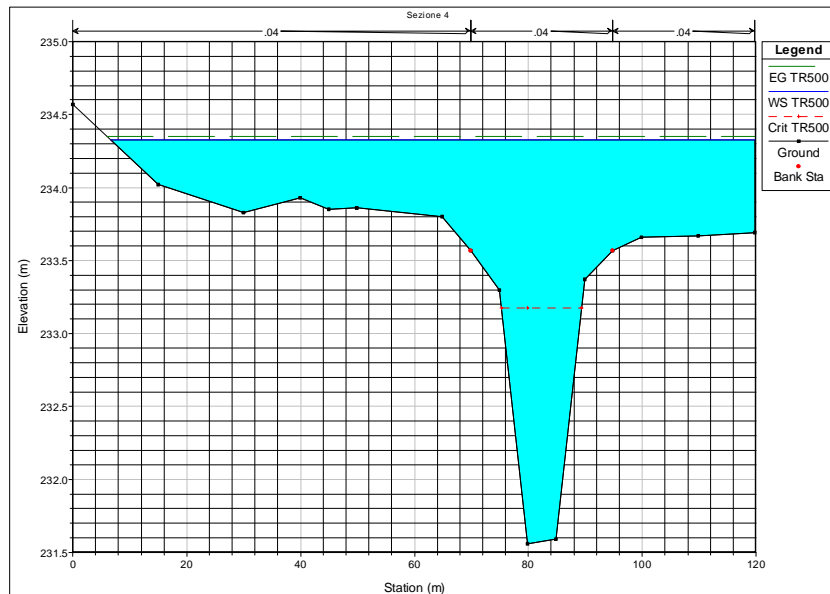


Figura 22 – Sezione 4. TR500.

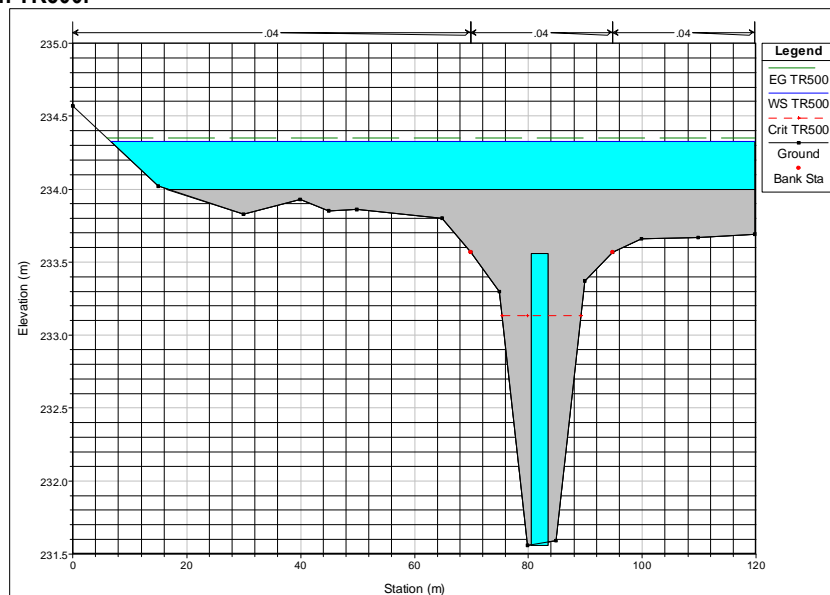


Figura 23 – Sezione tombino monte. TR500.

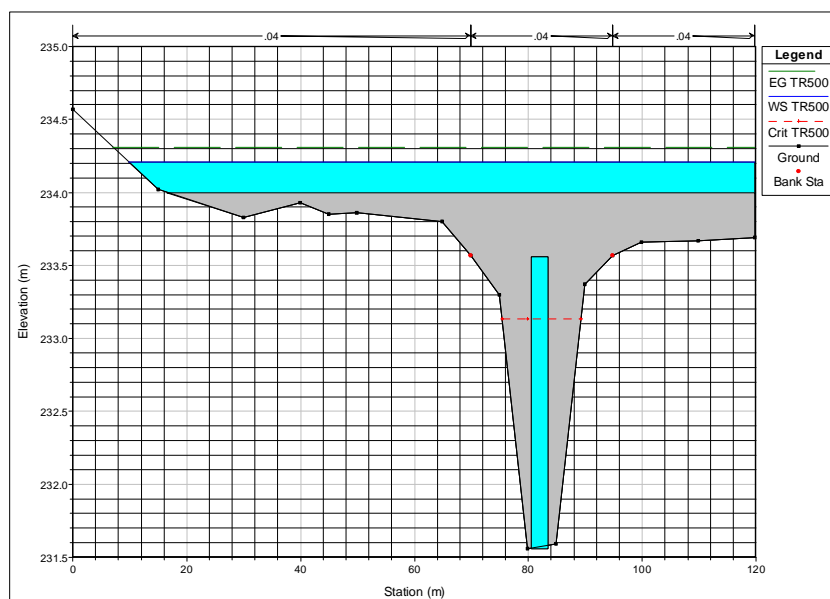


Figura 24 – Sezione tombino valle. TR500.

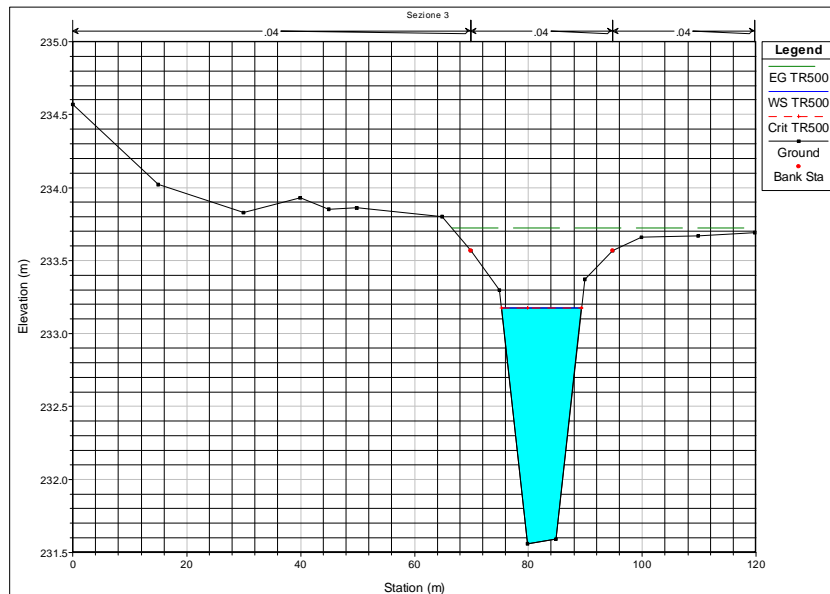


Figura 25 – Sezione 3. TR500.

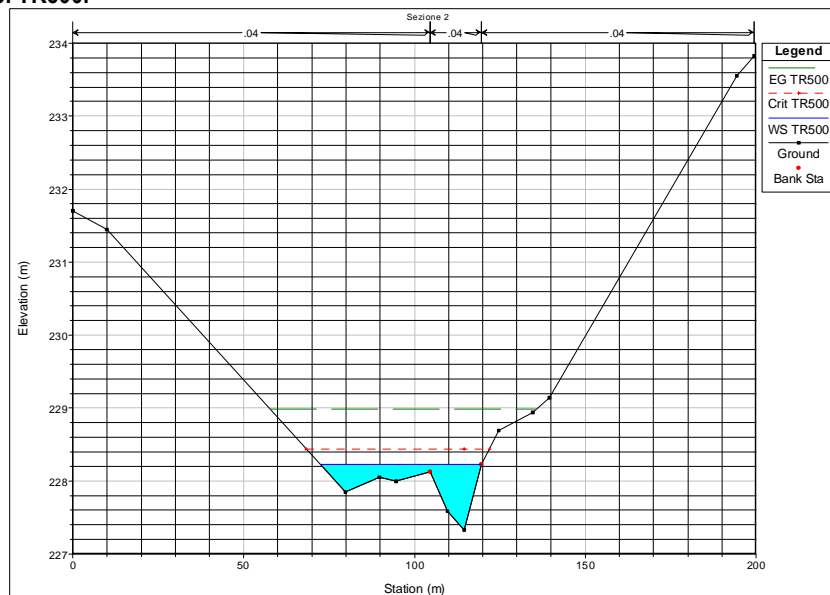


Figura 26 – Sezione 2. TR500.

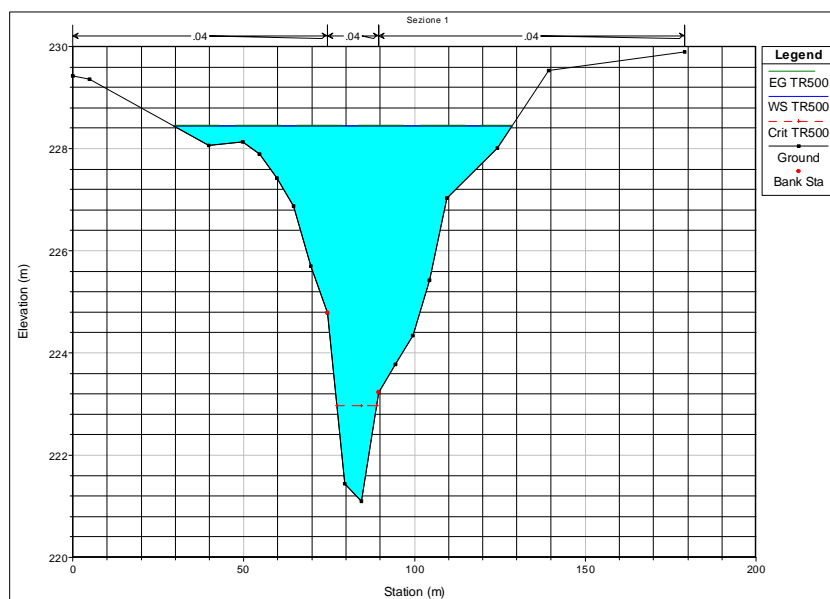


Figura 27– Sezione 1. TR500.